

МИНИСТЕРСТВО ГЕОЛОГИИ СССР
ОБЪЕДИНЕНИЕ "АЭРОГЕОЛОГИЯ"

Уч. № 025

ГЕОЛОГИЧЕСКАЯ
КАРТА СССР

МАСШТАБА 1:200 000

СЕРИЯ ВОДАЙБИНСКАЯ

Лист О-50-ХХIX

Объяснительная записка

Составители: В.С.Шульгина, Г.П.Шахов,
К.А.Черняевская

Редактор А.М.Лейтес

Утверждено Научно-редакционным советом ВСГЕИ
23 апреля 1970 г., протокол № 10



СОДЕРЖАНИЕ

Стр.

Введение	5
Стратиграфия	10
Интузивные образования	45
Тектоника	58
Геоморфология	70
Полезные ископаемые	77
Подземные воды	95
Литература	100
Приложения	105

ВВЕДЕНИЕ

Площадь листа 0-50-ХХХ расположена в пределах Каларского района Читинской области между $56^{\circ}40'$ – $57^{\circ}20'$ с.ш. и $118^{\circ}00'$ – $119^{\circ}00'$ в.д. Территория относится к центральной части Олекмо-Билимской горной страны. Основными ее элементами являются хребты Кодар, Удокан и разделяющая их Верхне-Чарская впадина.

Хр.Кодар резким уступом возвышается с севера над поверхностью впадины на 1200–1600 м, достигая высоты 2602 м. Характерен расчлененный рельеф альпийского типа. Хр.Удокан – горная цепь северо-восточного направления. Средние высоты его – 2000–2300 м, максимальная – 2358 м. Водораздельная часть хребта характеризуется альпийским рельефом. В сторону Верхне-Чарской впадины хр.Удокан снижается ступенчато, и к впадине примыкает широкая полоса предгорий.

Верхне-Чарская впадина протягивается в северо-восточном направлении на 70 км. Абс. высоты в ее пределах – 630–850 м. Значительные площади занимают заболоченные участки. Местами развит холмисто-грядовый рельеф. На юго-западе впадины имеется круглое (40 км²) поле незакрепленных песков (урочище Пески) с пустынным рельефом.

Основная водная артерия – р.Чара (приток Олекмы) протекает в северо-восточном направлении, главным образом по Верхне-Чарской впадине. Наиболее крупные ее притоки: Большой Икабяй, Кемен, Нирунгнакан, Нижний Сакукан, Средний Сакукан, Верхний Сакукан и Апсат. В пределах впадины р.Чара сильно меандрирует и имеет спокойное течение. Ширина русла от 40 до 180 м, глубина более 2 м, броды отсутствуют. Характер реки меняется на крайнем северо-востоке, где она вступает в пределы хр.Кодар. Здесь течение становится бурным, и передвижение по реке затруднено. Зимой большинство рек промерзает до дна: нередки крутоые наледи. У подножья

хр.Кодар имеется Верхне-Чарский термальный источник.

Климат района резко континентальный. По данным метеостанций в пос.Чара и Наминга (на хр.Удокан, к югу от района), среднегодовые температуры в Верхне-Чарской впадине $-(-8^{\circ})$, в горах $-(-12^{\circ})$. Весна начинается в апреле. Снег стаивает к середине июня, а на северных склонах хребтов - к концу июля. Среднемесячные температуры лета во впадине $-(+12) - (+17)^{\circ}$, а в пределах хребтов $-(+9) - (+13)^{\circ}$. Максимальная температура - в июне $(+35^{\circ})$.

Осень короткая, теплая и сухая. Первый снег выпадает в начале сентября. Снежный покров устанавливается к октябрю. Самый холодный месяц - январь; средняя его температура $-(-36)^{\circ}$, минимальная $-(-52)^{\circ}$. Среднегодовое количество осадков колеблется от 300 до 800 мм. С апреля по октябрь выпадает 95% осадков. Отрицательный тепловой баланс способствует сохранению многолетней мерзлоты.

Распределение растительности обусловлено вертикальной зональностью. В долинах рек и на склонах гор (до 1200-1300 м) преобладает лиственничная тайга; по долинам крупных рек встречаются участки смешанного леса. Выше 1300 м склоны гор покрыты стланником и полярной бересковой. На 1800 м кустарники сменяются ежами и лидияйниками; здесь расположается зона гольцов. Животный мир небогат.

Население района составляют эвенки и русские, занимающиеся оленеводством, рыбной ловлей, охотой. Имеется три населенных пункта: пос.Чара (районный центр), совхоз "Таежник" и колхоз "Заря" (пос.Чапо-Олого). Пос.Чара связан с Читой регулярными рейсами самолетов Ли-2. Круглый год существует автомобильное сообщение между поселками Чара и Наминга, а зимой - с х.-д. станцией Могоча. Широко используется олений транспорт. Хорошие тропы пересекают Верхне-Чарскую впадину и хр.Удокан. На хр.Кодар в южные тропы имерется по всем крутым рекам, но перевали непроходимы, исключая перевал из р.Ниж.Сакуулан в р.Сакуулан.

Геологические исследования до 1948 г. ограничивались марк-рутными пересечениями. Так, Д.В.Никитин (1918) в горном обрамлении Верхне-Чарской впадины отметил присутствие гнейсов, метаморфических сланцев и угленосных отложений и дал первые сведения о различных породах и геоморфологии впадины. В 1930 г. Е.В.Павловский (1933) кристаллические сланцы и гнейсы хр.Кодар отнес к архею, а толщу метаморфических сланцев на хр.Удокан и в долине р.Алсат (на хр.Кодар) назвал удоканской свитой и датировал ее зооценом. Он описал угленосные юрские отложения в бассейне р.Алсат, дал геоморфологическую характеристику района, обосновал

тектоническое происхождение Верхне-Чарской впадины и указал перспективный на золото участок в верховьях р.Бол.Тюри. В 1934-1935 гг. И.А.Доремов и А.А.Арсеньев (1935ф) составили схематический геологический карту Верхне-Чарской впадины и примыкающих горных массивов в масштабе 1:500 000, отнесли карбонатные отложения Каларской впадины к кембрию, расчленили раковые отложения и описали пески Верхне-Чарской впадины как золовые.

В 1948 г. экспедиции 1-го Главного управления начали в районе площадные геологотоповые работы, сопровождавшиеся радиометрической съемкой. В 1949-1951 гг. они охватили всю горную часть района. Были составлены схематические геологические карты масштаба 1:10 000 и 1:200 000. На хр.Кодар выделены комплексы кристаллических сланцев с железистыми кварцитами и гранито-гнейсами предположительно архейского возраста (Шантшик, 1950ф, 1951г.; Метцгер, 1951ф, 1952ф; Гладких, 1951ф и др.); к протерозое условно отнесены метаморфические сланцы, кварциты и граниты бассейна р.Алсат; изучены угленосные отложения р.Алсат, а находками флюры обоснован их верхнеиерский возраст; закартирован Укоканский (Кодарский) массив гранитоидов; на южном склоне хребта выявлена золотоносная зона разлома (Гладких, 1951ф).

В пределах хр.Удокан, к югу от плаяды листа 0-50-ХХIX, было выявлено Удоканское медное месторождение (Денисов, 1950ф). Восточнее В.Г.Дитмар (1951ф) расчищими Удоканскую свиту, передел ее в ранг серии и выделив в ее составе восемь свит. С некоторыми изменениями эту схему в дальнейшем использовал И.Ф.Гладких (1952ф), проводивший съемку масштаба 1:10 000 вдоль восточной границы района листа 0-50-ХХIX и обнаруживший медное оруденение в породах Удоканской серии в верховьях р.Бол.Икабы. На этом участке в дальнейшем Г.К.Давидович (1953ф) провел поиски масштаба 1:10 000, а М.М.Тамбовцев (1953ф) - поисково-съемочные работы масштаба 1:25 000. Партия И.И.Щербанина (1952ф) выявила убитое медное проявление в верховых левого притока р.Нирундан, кан, впоследствии признанное бесперспективным (Гикимов, 1955ф).

К 1953 г. Л.И.Салоп разработал схему стратиграфии,магматизма и тектоники Олекмо-Бийской горной страны (Салоп, 1953ф), а затем (Салоп, 1958, 1964, 1967) - всей Байкальской горной области, составил различные варианты (в масштабах 1:200 000, 1:500 000 и 1:1 500 000) геологической карты этих территорий.

Л.И.Салоп выделил Чарскую глыбу архея, сложенную кристаллическими сланцами и гнейсами чарской и торской толщ и архейскими гранито-гнейсами. Нижнепротерозойскую Удоканскую серию он рас-

чили на II свит, а раннепротерозойские гранитоиды – на куандинский и чуйско-кодарский комплексы.

М.М. Мануиллов (1960) детально описала городы Кодарского массива гранитоидов, восточная часть которого входит в пределы района работ.

С 1956 по 1963 г. тектонику и геологическую историю района изучал А.М. Лейтес (1965), обосновавший принадлежность толщ Удоканской серии к протогипратформенным отложениям.

В 60-е годы на территории листа 0-50-ХХIX Читинским геологическим управлением (ЧГУ) были проведены геологические исследования, связанные с разведкой Удоканского месторождения и изучением экономических возможностей прилегающих районов.

В 1960 г. на окраине пос. Чаре была пробурена скважина глубиной 205 м, которая прошла лишь по ракым отложениям. Керн ее изучен Г.Ф.Лунггерстгаузеном, который выделил в разрезе скважины отложения средне- и верхнечетвертичного оледенений, разделенные осадками ранневерхнечетвертичного межледниковых. Несколько иного трактовку возраста этих же отложений (как ранне- и позднеарх- нечетвертичного) дает А.И.Музис (1967ф).

З. Верхне-Чарской владине В.И. Золотухин (1964ф, 1965ф, 1966ф) выявил Чарское и Чапловское месторождения строительных песков и Икабьеканско месторождение кирпичных суглинков.

Поисково-разведочные работы на уголь, проведенные в юрской толще на левобережье р.Алсат (Болосок и др., 1962ф), позволили оценить качество углей и выявить крупные масштабы их проявления.

В 1963 г. на хр.Удокан в Верхне-Чарской владине проведена гидрогеологическая съемка масштаба 1:50 000 (Штак, Скляровский, 1964ф). Выполненные тогда же в пределах Верхне-Чарской владины геофизические исследования позволили установить мощность ракых отложений и характер распределения многолетней мерзлоты (Соловенко и др., 1966; Зорин, Хилько, 1969).

С 1961 г. в Кодаро-Удоканском районе геологосъемочные работы масштаба 1:200 000 начали экспедиции № 8 Всесоюзного аэрогеологического треста (ВАГТ)^х. На площади листа 0-50-ХХIX они проводились партией № 7 (Шульгина и др., 1963ф, 1964ф, 1965ф, 1966ф). В результате этих работ, съемок смежных площадей и тематических исследований внесены дополнения и изменения в характеристику геологического строения района: 1) чарская толща переведена в ранг серии, расчленена на свиты; выявлена внутренняя

структуря архейского комплекса; 2) некоторые свиты удоканской серии расчленены на подсвиты; 3) из состава толщи, считавшейся ранней кембрийской, по аналогии с сенской свитой, выделены верхнепротерозойские отложения; 4) разработана схема расчленения угленосных отложений и доказан их средне-верхнекембрийский и нижнемеловой возраст; 5) большинство гранито-gneisов, считавшихся архейскими, отнесено к куандинскому раннепротерозойскому комплексу; в куандинском и чуйско-кодарском комплексах выделен ряд новых фаз. Установлены граниты, сопоставимые с палеозойским сакунским комплексом, выделенным в смежном с Востока районе;

6) дробное генетическое и возрастное расчленение получили раковые четвертичные отложения; 7) обнаружен ряд рудных точек, в частности Ункурское медное проявление. Выявлена связь золотоносных кварцитовых жил на хр.Кодар с палеозойским комплексом гранитоидов; 8) дана гидрогеологическая характеристика района и изучен режим Верхне-Чарского термального источника.

В 1962-1963 гг. на юге территории (0-50-И17 Г, 0-50-И18 В, Г – частично) ЧГУ были проведены поисково-съемочные работы масштаба 1:50 000 (Туричнов, 1963ф, 1964ф).

Севернее района и частично в его пределах Е.П.Миронюк (1966ф) исследовал архейские образования и выделил среди них толщи курульгинской и борсалинской серий верхнего архея и комплекс архейских гранитоидов.

Аэромагнитная съемка на территории листа 0-50-ХХIX производилась в масштабах от 1:200 000 до 1:50 000 (Херувимова, 1956ф; Суслеников, 1959ф; Липатов, 1961ф). По материалам этих съемок четко выявляются в виде положительных аномалий горизонты магнетитовых кварцитов.

Настоящая геологическая карта листа 0-50-ХХIX в контурах и по содержанию связана с подготовленными к изданию геологическими картами смежных районов. В основу карту положены материалы партии № 7 с учетом всех данных экспедиции № 8 ВАГТ, ЧГУ, других организаций, а также результатов дешифрирования аэрофотоснимков масштаба 1:63 000. Дешифрирование позволило уточнить границы четвертичных и мезозайских отложений, детально отрисовать их контуры на карте, расшифровать некоторые разрывные и складчатые структуры в докембрийском поколе.

^х/ С 1980 г. – объединение "Аэрогеология".

СТРАТИГРАФИЯ

А Р Х Е Й С К А Я Г Р У П П А

Ч а р с к а я с е р и я

Чарская серия обнажена на хр.Кодар, в пределах крупного антиклинария, в ядре которого вскрыты наиболее глубокие горизонты архея данного района. Небольшие выходы чарской серии имеются также в предгорьях хр.Улокан. Чарская серия представлена на площади листа Несмуринской толщет, давачанской, имантской и каменской свитами. На северо-востоке последние две свиты не поддаются расчленению и картируются совместно. В основу выделения свит положен их состав, однако из-за интенсивной площадной мигматизации и гранитизации выявление первичного состава толщ и проведение стратиграфических границ на некоторых участках затруднительно.

Несмуринская толща (A n.)

Наиболее древняя несмуринская толща обнажается в бассейнах рек Девак, Ниж.Сакукан и левых притоков р.Чары на южном склоне хр.Кодар. Толща сложена двутироксен-амфиболовым, амфиболовыми и биотит-амфиболовыми кристаллическими сланцами, гнейсами, плагигнейсами и амфиболитами с редкими малоидиоми прослоями, иногда пачками гранат-биотитовых, гранат-амфиболовых кристаллических сланцев и гнейсов, а также гиперстеновых, силиманиновых, силиманит-кордиеритовых и гранат-пироксеновых кристаллических сланцев. Эти прослои встречаются в различных частях свиты спорадически. Мощность их от 5 см до 5 м. Группируясь в пачки мощностью от 10 до 160 м, они чередуются с разнообразными амфиболовыми кристаллическими сланцами (гранат-роговообманковыми, куммингитовыми, кордиерит-диритовыми, антофилитовыми) и гранатовыми амфиболитами. Так, в междууречье Девак - Чара наиболее мощная (160 м) пачка сложена преимущественно гранат-пироксеновыми (эктогипотибийными) кристаллическими сланцами с подчиненными прослоями гранат-куммингтонитовых сланцев.

Строение основной части толщи характеризуется частным разрезом на правобережье р.Девак (здесь и далее – снизу вверх):

I. Двутироксен-амфиболовые кристаллические слан-

2. Чередующиеся (1-1,5 м) амфиболовые (роговообманковые) кристаллические сланцы и плагигнейсы	5 м
3. Мигматизированные двутироксен-амфиболовые гнейсы	25 "
Гранито-гнейсы	20 "
4. Амфиболиты	5 "
5. Биотит-амфиболовые мигматиты	28 "
Гранито-гнейсы	15 "
6. Биотит-амфиболовые гнейсы и плагигнейсы	20 "
Гранито-гнейсы	5 "
7. Мигматизированные двутироксен-амфиболовые кристаллические сланцы	55 "
8. Амфиболиты	45 "
Гранито-гнейсы со сквиалитами амфиболитов	45 "
9. Амфиболиты	45 "
Общая мощность 228 м.	
Одна из пачек гранатсодержащих и глиноземистых пород на южном склоне хр.Кодар имеет следующее строение:	
1. Гранат-амфиболовые кристаллические сланцы	4 м
2. Биотит-амфиболовые плагигнейсы	3 "
3. Гранатовые амфиболиты	3 "
4. Тонкочленящиеся (0,5-2 см) гранат-биотитовые и силиманиновые кристаллические сланцы	1 "
5. Силиманиновые кристаллические сланцы с гранатом	0,1 м
6. Гранат-биотитовые кристаллические сланцы	2,5 "
Мощность пачки 13,6 м.	
Видимая мощность несмуринской толщи в связи с интенсивной складчатостью и значительной гранитизацией пород оценена лишь ориентировочно и, по-видимому, превышает 4000 м.	
Давачанская свита (A dv.)	
Давачанская свита выходит в широкой полосе северо-восточного простирания, охватывающей бассейны р.Сакуканър и левых притоков рек Девак, Ниж.Сакукан и Агат. Два изолированных участка выходов свиты расположены в низовье р.Сулутмат и на правобережье р.Икабекан. Нижняя граница свиты проведена по подошве горизонта гранатсодержащих пород с магнетитовыми кристаллическими сланцами и кварцитами, верхняя – по последним их прослоям. На участках, где эти горизонты выклиниваются или уничтожены в	

Цы

20 м

результате гранитизации, границы проведены условно, по смене основных кристаллических сланцев подстилающей и перекрывающей толщ биотит-амфиболовыми плагиогнейсами давачанской свиты.

Давачанская свита имеет пестрый состав. Наиболее широко распространены биотит-амфиболовые плагиогнейсы и гнейсы. Среди них по всей толще присутствуют крупные (50–100 м) пачки амфиболовых, двутироксен-амфиболовых, гранат-амфиболовых и биотитовых кристаллических сланцев и амфиболитов (иногда с гранатом). Мощные горизонты в низах свиты образуют магнетитовые кварциты и кристаллические сланцы в ассоциации с мономинеральными кварцитами (часто с гранатом и биотитом), различными амфиболовыми, гранат-биотитовыми, биотит-силиманитовыми, силиманит-кордимеритовыми, кианит-кордимеритовыми, гранат-гиперстен-кордимеритовыми и гиперстеновыми кристаллическими сланцами, гранат-биотитовыми и биотит-кордимеритовыми гнейсами.

В бассейнах рек Девак и Ниж. Сакукан в нижней части свиты имеется 3–4 таких горизонта мощностью до 280 м, разделенные крупными (до 500 м) пачками одиообразных биотит-амфиболовых плагиогнейсов, гнейсов и амфиболов. Эти горизонты протягиваются с некоторыми перерывами от северной границы на юг на 20 км, до Верхне-Чарской впадины, где они, по данным аэромагнитной съемки, прослеживаются и далее под рыхлым покровом.

Западнее, в низовьях р. Сакуканър, также имеется три крупных горизонта с магнетитовыми кварцитами, однако, в южном направлении они резко выклиниваются, и в верховьях р. Сакуканър замещаются серией маломощных невыдержаных линз железистых кварцитов, залегающих среди биотит-амфиболовых плагиогнейсов и дупироксен-амфиболовых кристаллических сланцев.

На северо-востоке района в основании свиты располагается единственный крупный горизонт магнетит-, гранатодержащих и высокоглиноzemистых пород, прослеженный на 12 км с севера на юг по коренным выходам и далее – под раками образований Верхне-Чарской впадины по линии аэромагнитной съемки. Мощность его колеблется от 80 м на севере до 275 м на юге. Входящие в состав горизонта пластины магнетитовых кристаллических сланцев и кварцитов также увеличиваются в мощности в южном направлении от 4 до 80 м. Особенностью горизонта является присутствие в нем 30-метрового пласта кварцитов с кварц-силиманитовыми модулями, биотит-жедритовых кристаллических сланцев и метасоматических образований – жедрититов и флогопит-кордимеритовых пород с турмалином.

В верхней части свиты гранат- и магнетитсодержащие породы образуют лишь маломощные (до 1–3 м) невыдержаные прослои.

Строение нижней части давачанской свиты характеризуется разрезом на левобережье р. Девак, в его верховьях, где на амфиболитах неслучинской толщи залегают:

1. Гранатовые кварциты	• • • • •	20 м
2. Гранат-биотитовые кристаллические сланцы	• • • • •	20 "
3. Амфиболиты	• • • • •	5 "
4. Биотитовые кристаллические сланцы	• • • • •	5 "
5. Биотит-амфиболовые плагиогнейсы	• • • • •	200–250 "
6. Амфиболиты	• • • • •	20 "
7. Биотит-амфиболовые плагиогнейсы	• • • • •	180 "
8. Амфиболиты	• • • • •	100 "
9. Биотит-амфиболовые гнейсы	• • • • •	50 "
10. Гранатовые кварциты	• • • • •	5 "
11. Биотит-амфиболовые плагиогнейсы	• • • • •	300 "
12. Гранат-биотитовые кристаллические сланцы	• • • • •	3 "
13. Амфиболиты	• • • • •	50 "
14. Куммингтонит-гранатовые кристаллические сланцы	• • • • •	5 "
15. Биотит-амфиболовые плагиогнейсы	• • • • •	45 "
16. Гранат-биотитовые гнейсы	• • • • •	10 "
17. Гранат-гиперстеновые кристаллические сланцы	• • • • •	10 "
18. Куммингтонит-гранатовые кристаллические сланцы	• • • • •	6 "
19. Гранат-рогошевоманковые кристаллические сланцы	• • • • •	3 "
20. Амфиболовые кристаллические сланцы	• • • • •	5 "
21. Чередующиеся (0,5–1,5 м) гранатсодержащие силиманит-кордимеритовые и куммингтонитовые кристаллические сланцы	• • • • •	35 "
Общая мощность нижней части свиты в этом разрезе 1130 м.		
На южном склоне хр. Кодар (левобережье р. Ниж. Сакукан) нижняя часть давачанской свиты имеет следующий разрез:		
1. Гранат-биотитовые гнейсы	• • • • •	10 м
2. Двутироксен-амфиболовые кристаллические сланцы, чередующиеся (0,1–1 м) с гранат-пироксеновыми амфиболитами	• • • • •	40 "
3. Чередующиеся (0,1–1 м) двутироксен-амфиболовые и гранат-биотитовые кристаллические сланцы	• • • • •	5 "
4. Чередующиеся гранат-биотитовые и биотит-кордимеритовые кристаллические сланцы и гнейсы с силиманитом	• • • • •	17 "

5. Гранатовые кварциты	2 м
6. Магнетитовые кварциты	0,3 м
7. Кварциты гранатовые с прослоями (5-10 см мономинеральных)	6 м
8. Гранат-биотитовые кристаллические сланцы	10 "
9. Амфиболиты	65 "
10. Двупироксен-амфиболовые кристаллические сланцы	5 "
11. Гранат-биотитовые кристаллические сланцы	5 "
12. Двупироксен-амфиболовые кристаллические сланцы	3 "
13. Гранат-биотитовые кристаллические сланцы	6 "
14. Амфиболиты	13 "
15. Гранат-биотитовые кристаллические сланцы	18 "
16. Магнетит-гранатовые и магнетит-гранат- гиперстеновые кварциты	45 "
17. Гранат-биотитовые кристаллические сланцы с прослоями амфиболитов мощностью 1 м	15 "
18. Гранат-биотитовые кристаллические сланцы и биотит-гранатовые кварциты с прослоями магнетитовых кварцитов и амфиболитов	10 "
19. Чередование (1-2 см) гранатовых и магнети- товых кварцитов	20 "
Суммарная мощность 295 м.	
Мощность давачанской свиты составляет 3000-4500 м.	

Имангрская свита (Aig)

Имангрская свита развита на небольших участках на северо-востоке и востоке района. С подстилающей давачанской свитой она связана постепенными переходами. Граница проводится по последним пластам и линзам гранатодержавных кварцитов амфиболовых плагиогнейсов и магнетитовых кварцитов амфиболитами имантской.

Суммарная мощность 295 м.

Имангрская свита имеет чрезвычайно однородный состав. Это монотонная толща амфиболовых, двупироксен-амфиболовых кристаллических сланцев, гнейсов и амфиболитов. На левобережье р.Чары слошная толща меланократовых кристаллических сланцев и амфиболов прослеживается вкрест простирации свиты до 2 км. Магнитомагнитные пачки сложены биотит-амфиболовыми и биотитовыми гнейсами. Количество их возрастает лишь на водоразделе рек Икабек и Большой Икабек в верхах свиты, где они образуют пачки до 200 м,

5. Гранатовые кварциты	2 м
6. Магнетитовые кварциты	0,3 м
7. Кварциты гранатовые с прослоями (5-10 см мономинеральных)	6 м
8. Гранат-биотитовые кристаллические сланцы	10 "
9. Амфиболиты	65 "
10. Двупироксен-амфиболовые кристаллические сланцы	5 "
11. Гранат-биотитовые кристаллические сланцы	5 "
12. Двупироксен-амфиболовые кристаллические сланцы	3 "
13. Гранат-биотитовые кристаллические сланцы	6 "
14. Амфиболиты	13 "
15. Гранат-биотитовые кристаллические сланцы	18 "
16. Магнетит-гранатовые и магнетит-гранат- гиперстеновые кварциты	45 "
17. Гранат-биотитовые кристаллические сланцы с прослоями амфиболитов мощностью 1 м	15 "
18. Гранат-биотитовые кристаллические сланцы и биотит-гранатовые кварциты с прослоями магнетитовых кварцитов и амфиболитов	10 "
19. Чередование (1-2 см) гранатовых и магнети- товых кварцитов	20 "
Суммарная мощность 295 м.	
Мощность давачанской свиты составляет 3000-4500 м.	

Имангрская – калаканская свиты (Aig-fll)

Имангрская свита развита лишь на хр.Удокан в междуречье Большой Икабека – Икабекан на площади не более 50 км², где с постепенными переходами перекрывает имантскую свиту. Она представлена однообразными биотитовыми гнейсами с резко подчиненными пачками амфибол-биотитовых гнейсов мощностью до 50 м. Граница с подстилающей свитой проводится условно по подошве первой круточной пачки биотитовых гнейсов. Породы свиты на всей площади интенсивно мигматизированы и сравнительно плохо обнажены. Мощность свиты, по-видимому, превышает 1500 м.

Имангрская – калаканская свиты (Aig-fll)

Эта толща слагает обширные площади на хр.Кодар в северо-западной части района и согласно залегает на давачанской свите. Граница проводится по последним пластам и линзам гранатодержавных и магнетитовых кристаллических сланцев и кварцитов и смене биотит-амфиболовых плагиогнейсов давачанской свиты амфиболитами кристаллическими сланцами и амфиболитами описываемой толщи. В отличие от разрезов хр.Удокан, на хр.Кодар отсутствуют четкие литологические критерии для расчленения этого мощного однообразного комплекса. В составе его преобладают биотит-амфиболовые, амфиболовые и биотитовые плагиогнейсы и гнейсы. Отдельные мощные пачки (до 300-400 м), особенно в низах толщи, сложены преимущественно амфиболовыми кристаллическими сланцами и амфиболитами. Изредка встречаются маломощные (до 5 м) пласти проксен (диопсид) – амфиболовых кристаллических сланцев. Наблюдается некоторое повышение роли биотитовых разновидностей к верхам разреза. Породы толщи повсеместно интенсивно мигматизированы. Частный разрез средней части толщи вскрыт в нижнем течении р.Ильбман:

1. Амфиболовые кристаллические сланцы и амфиболиты 50 м
2. Амфиболовые кристаллические сланцы с многочисленными согласными телами гранито-гнейсов (до 10-30 м) 300 "

3. Чередующиеся биотит-амфиболовые и биотитовые гнейсы и плагигнейсы	210 м
4. Чередующиеся биотитовые, амфиболовые плагигнейсы и гнейсы, амфиболиты и амфиболовые кристаллические сланцы, насыщенные телами гранито-гнейсов	200 "
5. Биотитовые гнейсы	65 "
6. Диопсид-амфиболовые кристаллические сланцы	5 "
7. Биотитовые и амфиболовые гнейсы и плагигнейсы	60 "
8. Амфиболовые кристаллические сланцы и биотит-амфиболовые плагигнейсы, грубо чередующиеся (10-20 м)	300 "
Мощность по разрезу II90 м.	
Суммарная мощность чарской серии - 12000-13000 м.	
Петрографическое изучение пород чарской серии позволило установить характерные для них парагенетические ассоциации подобобразующих минералов, отвечающие парагенезисам гранулитовой и амфиболитовой фаций регионального метаморфизма. Для основных кристаллических сланцев, богатых кальцием, характерны парагенезисы: гиперстен + диопсид + плагиоклаз + роговая обманка, гиперстен + диопсид + плагиоклаз + магнетит (гранулитовая фация), роговая обманка + диопсид + плагиоклаз, роговая обманка + плагиоклаз + кварц (амфиболитовая фация). Среди пород, бедных кальцием, наблюдаются высокоглиноземистые и гранатодержащие разности, для которых характерны парагенетические ассоциации: гиперстен+гранат+биотит+плагиоклаз, гранат+силиманит+кордиерит+плагиоклаз, силиманит+гранат+биотит+кварц, гранат+гиперстен+кордиерит (гранулитовая фация), гранат+амфибол+плагиоклаз+кварц (амфиболитовая фация).	
Породы чарской серии, метаморфизованные в амфиболитовой фации, в большинстве своем, по видимому, соответствуют начальным этапам процесса гранитизации и регressiveны по отношению к ассоциациям гранулитовой фации. В пользу этого предположения говорит особенно широкое их развитие на участках гранитизации разрезе пород и гранулитовой, и амфиболитовой фаций. Какойлибо четкой зависимости степени метаморфизма от стратиграфического положения толщ установить не удается, хотя можно заметить некоторое уменьшение метаморфизма снизу вверх по разрезу и с юга на север по простианию толщ, что согласуется с подоб-	

ной закономерностью, установленной Е. Г. Миронюком (1966) для всей западной части Алданского щита.

Высокий региональный метаморфизм пород чарской серии и широкое развитие среди них основных кристаллических сланцев отличают рассмотренные образования от отложений улуканской серии нижнего протерозоя и позволяют сопоставить их с архейскими образованием других районов. Непосредственно севернее той же метаморфический комплекс Е. Г. Миронюк (1966) отнес к верхнеархейским курульгинской (курбалыкитская свита) и частично борсалинской (темулякитская свита) сериям. Радиологический возраст пегматитов, прорывавших чарскую серию на площади листа, - 2640 млн лет по орбиту свинцовом методом (Салоп, 1967) и к юго-востоку за пределами района - 2935±70 млн. лет по мусковиту калий-аргоновым методом (Глуховский, 1968), что отвечает архею.

ПРОТЕРОЗОИСКАЯ ГРУППА

Нижний протерозой

Улуканская серия

Улуканская серия слагает Кодаро-Улуканский протиб; она широко развита на хр. Улукан, а на хр. Кодар выходит лишь на небольшом участке в бассейне р. Апсат. Это мощный комплекс преимущественно терриентных метаморфизованных образований, в составе которого выделяется три подсерии, обединяющие восемь свит. Отложения улуканской серии прорваны гранитоидами чуйско-кодарского комплекса и на значительных участках ороговикованы.

Нижняя подсерия представлена икабийской и аянской свитами.

Нижняя подсерия

Икабийская свита

Икабийская свита развита на правобережье р. Большой Икабия (хр. Улукан) и по берегам долины р. Апсат (хр. Кодар), имея с архейскими образованиями только тектонические контакты, при четко различном структурном плане этих толщ. Восточнее, по данным М. З. Глуховского (1968), между икабийской свитой и толщами архея установлены несогласные соотношения.

Нижняя подсвита ($Pt_1 i_1$) сложена в основном темно-серыми и серыми кварц-биотитовыми сланцами, иногда с гранатом, двуслюдистыми сланцами со ставролитом и гранатом, изредка с кор-

диеритом. Редкие маломощные прослои образуют светло-серые кварциты. В нижней части встречаются линзы мраморов (до 10 м), в верхней — прослои темно-серых биотитизированных алевролитов и песчаников. Характер чередования пород различный. Наряду с крутыми пластами однообразных по составу сланцев присутствуют пачки тонкополосатых разностей.

Полный видимый разрез нижней подсвиты прослежен на левобережье р.Алсат (нижний контакт тектонический):

1. Двуслюдильные сланцы серого цвета с гранатом и ставролитом. Видимая мощность	60 м	
2. Двуслюдильные сланцы со ставролитом, серые, с редкими прослоями (0,2-0,6 м) кварц-биотитовых сланцев темно-серых	10 "	40 "
3. Чередующиеся (0,01-0,1 м) двуслюдильные (составролитом) и кварц-биотитовые сланцы серые и темно-серые, в верхней части с прослоями (0,2-0,3 м) светло-серых биотитовых кварцитов	105 "	
4. Кварц-биотитовые сланцы гранатодержащие, темно-серые, с подчиненными прослоями (2-5 см) серых двуслюдильных сланцев ставролитодержащих	65 "	
5. Кварц-биотитовые сланцы серого цвета, с прослоями (3-5 см) двуслюдильных ставролитодержащих сланцев и более темных кварц-биотитовых сланцев	80 "	
6. Чередующиеся биотитизированные алевролиты (3-20 см) и двуслюдильные сланцы (2-3 см), в верхней части — биотитизированные мелкозернистые песчаники. Цвет пород темно-серый	70 "	
Мощность нижней подсвиты в приведенном разрезе 390 м. Выше залегают кварц-биотитизированные алевролиты с редкими прослоями квадритов (до 5 м).		
Полная мощность верхней подсвиты на хр.Удокан 800 м. На хр.Кодар в нижней части верхней подсвиты присутствует выдержаный горизонт кварцитов и мраморов мощностью 100 м, подошве которого проводится граница между подсвитами. В верхней части подсвиты имеются линзовидные прослои разнозернистых песчаников, гравелитов и мелкогалечных конгломератов. Полный разрез верхней подсвиты изучен на левобережье р.Алсат:		
<i>Верхняя подсвита</i> (Рт. ₁ / Рт. ₂) сложена несколько более грубозернистыми породами, среди которых преобладают биотитизированные алевролиты и мелкозернистые полевошпат-кварцевые темно-серые песчаники с частыми тонкими прослоями филлитов. Линзовидные прослои сложены разнозернистыми биотитизированными песчаниками, гравелитами и мелкогалечными конгломератами (до 10 м). Встречаются пласти кварц-полевошпатовых пород светлого зелено-вато-серого цвета (по известковистым песчаникам) с гранатом и амфиболом, мраморизованные известняки и кварциты. Слоистость в породах обычно параллельная, иногда нечеткая ритмичная.		
На хр.Удокан (правобережье р.Бол.Икабья) непосредственно выше кварц-биотитовых сланцев нижней подсвиты залегают:		

1. Биотитизированные алевролиты и мелкозернистые песчаники темно-серого цвета (0,2-1 м). Частые прослои (0,1-1,5 м) кварц-полевошпатовых пород с амфиболовом и гранатом

30 м

2. Биотитизированные алевролиты и мелкозернистые песчаники (1-3 см), филлиты (0,3-5 см) темно-серые. Местами — ритмичное чередование пород (от песчаников до филлитов)

40 "

3. Биотитизированные алевролиты и мелкозернистые песчаники (0,5-2 м) с прослоями филлитов (1-3 мм), реже — кварц-полевошпатовых пород с гранатом и амфиболовом (до 10 см)

120 "

4. Биотитизированные песчаники мелкозернистые, неслоистые, с пачками тонкочередующихся биотитизированных алевролитов и песчаников. Цвет пород темно-серый

190 "

Мощность верхней подсвиты икабийской свиты в этом разрезе 380 м. Выше залегают такие же биотитизированные песчаники и алевролиты с редкими прослоями кварцитов (до 5 м).

Полная мощность верхней подсвиты на хр.Удокан 800 м.

На хр.Кодар в нижней части верхней подсвиты присутствует выдержаный горизонт кварцитов и мраморов мощностью 100 м, подошве которого проводится граница между подсвитами. В верхней части подсвиты имеются линзовидные прослои разнозернистых песчаников, гравелитов и мелкогалечных конгломератов. Полный разрез верхней подсвиты изучен на левобережье р.Алсат:

1. Кварциты светло-серые, сливные, с прослоями и линзами (от 0,1 до 2 м) мраморов белых, зеленовато-серых (тремолитизированных) или темно-серых. В нижней части среди кварцитов — пласти биотитизированных песчаников и алевролитов до 1-2 м

100 м

2. Биотитизированные алевролиты темно-серые, неслоистые, тонкоплитчатые

40-50 "

3. Биотитизированные алевролиты и мелкозернистые песчаники с прослоями филлитов. В средней части — линзовидные прослои разнозернистых песчаников и гравелитов, олигомиктовых, иногда кварцитовидных (до 3 м) и мелкогалечных конгломератов (до 10 м) с галькой кварца и кварцитов. Преобладающий цвет пород темно-серый

180-200 "

Выше залегают тонкослоистые породы аянской свиты. Мощность верхней подсвиты икабийской свиты на хр.Кодар значительно меньше, чем на хр.Удокан – 350 м. В целом икабийская свита имеет на хр.Удокан видимую мощность 1200 м, на хр.Кодар – 750 м.

Аянская свита (Рт₁, ап)

Аянская свита на хр.Удокан развита в бассейнах рек Бол. Икабья, Йектокан, Ункур; на хр.Кодар – по левым притокам р.Алсат.

С подстилающей икабийской свитой она связана постепенными переходами; граница между свитами проводится по появлению тонкостенных пород. На хр.Удокан свиты разделены малоамплитудным разломом. Аянская свита сложена тонко переслаивающимися биотитизированными алевролитами, филлитами, реже – мелкозернистыми метаморфизованными полевошпат-каварцевыми песчаниками темно-серого или черного цвета с частями прослоями граffiti-биотитовых сланцев. Изредка встречаются кварц-биотитовые сланцы с гранатом. Породы свиты часто пиритизированы. Очень характерна тонкая (от 0,1 до 2–5 см) параллельная слоистость и тонкое ритмичное строение слоев (от песчаников или алевролитов до филлитов и граffiti-биотитовых сланцев). Мощность ритмов – 1–5 см. Иногда отмечается мелкая косая слоистость (мощность серии 2–3 см). Присутствуют и отдельные крупные пласти неслойистых мелкозернистых биотитизированных песчаников или алевролитов (от 0,3–0,5 до 2 м). Мощность свиты на хр.Удокан – 1000 м, на хр.Кодар – 450 м.

Отложения перекочененные (Рт₁ и д₁)

К нерасщепленной нижней подсерии отнесены кварц-биотитовые и двуслоянные сланцы, образующие небольшие изолированные выходы в пределах Верхне-Черской впадины или ксенолиты в гранитоидах Кеменского массива. Отнесение их к нижней подсерии основывается на составе пород и положении в общей структуре района.

Средняя подсерия включает ильинскую, читкандинскую, александровскую и бутунскую свиты.

Средняя подсерия

Ингерская свита (Рт₁, ин)

На хр.Удокан свита слагает небольшие участки в верховьях рек Ункур и Йектокан, а на хр.Кодар залегает на водоразделах между

ду левыми притоками р.Алсат. Она согласно перекрывает аянскую свиту и отличается от нее существенно палеомитовым составом. Породы свиты представлены однообразными метаморфизованными (биотитизированными) песчаниками полевошпат-каварцевыми мелкозернистыми темно-серого цвета; пласти песчаников мощностью 1–2 м разделены прослоями биотитизированных алевролитов, метаморфизованных известковистых песчаников и светло-серых мелкозернистых кварцитовидных песчаников. Мощность ингерской свиты на хр.Удокан 600–800 м, на хр.Кодар ее видимая мощность – 460 м.

Читкандинская свита (Рт₁, ёт)

Читкандинская свита прослеживается вдоль левобережья р.Бол. Икабьи, а также слагает небольшой участок в приуставевой части р.Бурунта. С нижележащей ингерской свитой связана постепенными переходами через пачку чередующихся темно- и светло-серых песчаников. В строении читкандинской свиты участвуют метаморфизованные песчаники мелко- и среднезернистые светло-серого или розово-серого цвета, переслаивающиеся с биотитизированными алевролитами и мелкозернистыми темно-серыми песчаниками. Маломощные прослои образуют светло-серые известковистые песчаники и песчанистые известняки. Все разновидности песчаников и алевролитов имеют кварц-полевошпатовый состав. Песчаники часто пиритизированы. Пласти песчаников и алевролитов имеют мощность от 0,5 до 3 м и четкие границы. Вверх по разрезу мощность алевролитов сокращается до 0,1–0,3 м; к верхней части свиты приурочена основная масса прослоев известковистых песчаников мощностью до 2–3 м и песчанистых известняков. Для пород свиты характерно присутствие волноприбойных знаков и трещин усыхания; отдельные пласти песчаников имеют крупную (20–50 см), обычно одностороннюю косую слоистость диагонального типа. Вдоль трещин отдельности иногда развиваются цеолиты. Мощность читкандинской свиты – 800–1100 м.

Александровская свита (Рт₁, алф)

Александровская свита развита, главным образом, на левобережье р.Бол.Икабья и на водоразделе ее с р.Амудиса. Небольшие участки сложены ёю в приуставевой части р.Бурунта и по р.Ункур. Условно александровская свита выделена на юго-западе района. С читкандинской свитой она имеет четкие согласные контакты; граница проводится по смене песчаников известковистыми алевролитами.

Одними из отличительных чертами свиты являются преимущественно алевролитовый состав, значительная известковистость и частое чередование пород. Это позволяет легко выделять александровскую свиту, хотя она полностью попадает в зону контактового метаморфизма кеменского массива.

Метаморфизованные известковистые алевролиты обычно превращаются в зеленые кварц-полевошпат-амфибол-эпилитовые роговики.

Темно-серую окраску имеют интенсивно биотитизированные неизвестковистые разности алевролитов и филиты, часто превращенные в кварц-полевошпат-биотитовые роговики. Перечисленные породы об разуют прослои мощностью 0,1-10 см (иногда до нескольких метров).

и обладают тонкой (1-3 мм) параллельной слоистостью. Метаморфизованные известковистые алевролиты местами имеют неяснолитистистую

текстуру. В отдельных пачках присутствуют прослои (0,1-0,4 м) скарнированных известняков, в верхней части разреза — пласти известников мощностью 2-3 и 10-15 м. Резко подчиненные прослои

(до 1-2 м) образуют метаморфизованные песчаники, мелкозернистые, полевошпат-кварцевые, темно-серые или светло-серые, иногда слан-

бо известковистые. С ними (иногда с алевролитами) связана медная минерализация. На левобережье р.Бол. Икабья в разрезе свиты

присутствуют два пластиа медистых пещаницков и злеволитов мощностью 0,3-3,5 м и 0,3 м и несколько маломощных линз. Для отложений симы установлены **волнотипионные знаки**: косая слоистость

Местами породы интенсивно албитизированы, по трещинам отмечаются редко, и мощность косых серий невелика (1-2 см).

ется цеолитизация. Разрез нижней и средней частей александровской свиты изучен

**Г Метаморфотектонические антиклины: биотитизиро-
на левобережье р. Бол. Икавья, отм. Восточной границы района, где
на песчаниках чигандинской свиты залегают:**

2. Тонко чередующиеся (1-20 см) биотитизированные алевролиты темно-серые и эпидотизированные известковистые алевролиты зеленовато-серые с прослойками скарнированных известников мощностью от 1 до 5 см 5,3 м

3. Биотитизированные алевролиты темно-серые с бедной малахитовой и пиритовой минерализацией . . 4 "

Бутунская свита (Pt₁ ft.)

Бутунская свита слагает небольшие участки вдоль восточной границы района, на водоразделе рек Бол.Икабыя и Амудиса, а также в бассейне р.Бурунта.

4. Метаморфизованные алевролиты тонкоголосые, темно-серые и зеленовато-серые, с прослоями (0,1 м) скарнированных известняков	II, I м
5. Биотитизированные алевролиты темно-серые и эпидотизированные известковистые алевролиты зеленовато-серые, местами тонкоголосчатые или негипнотистые. Мощность пластов 0,2-4 м. В средней части — прослой биотитизированных песчаников темно-серых (0,6 м)	31,8 "
6. Тонкоголосчатые алевролиты темно- и зеленовато-серые, с прослойями (до 0,4 м) скарнированных известняков	32,3 "
7. Метаморфизованные песчаники зеленовато-серые, с халькопиритом и малахитом (нижний рудный пласт проявления № 53)	2,0 "
8. Биотитизированные алевролиты, неясно-слоистые, через 2-4 м чередующиеся с пластами тонкослоистых алевролитов, известковистых алевролитов (до 1,5 м) и скарнированных известняков (0,2-0,5 м)	20,0 "
9. Метаморфизованные песчаники светло-серые с малахитом и халькопиритом	0,2 "
10. Скарнированные известняки светло-серые ..	10,5 "
11. Биотитизированные алевролиты и эпидотизированные алевролиты, тонкослоистые или массивные ...	50,9 "
12. Скарнированные известняки зеленовато-серые эпидотизированные известковистые алевролиты, в верхней части с малахитом и халькопиритом	2,2 "
13. Тонко переслаивающиеся биотитизированные и алевролиты	II, 8 "
14. Биотитизированные и эпидотизированные алевролиты	15,4 "
Мощность по разрезу 251,5 м. Стратиграфически выше состав пород и характер их чередования такой же. Полная мощность александровской свиты в этом районе 300-350 м. В западном направлении она сокращается до 200 м. Одновременно уменьшается известковистость пород, начинает преобладать темно-серые биотитизированные разности, а прослои известковистых пород сосредоточены лишь в отдельных пачках.	

Нижний контакт бутунской свиты нормальный, резкий. Состав свиты и ее строение очень просты. Это — однородные метаморфизованные (биотитизированные) алевролиты и тонкозернистые песчаники, кварцевые или полевошпат-кварцевые, массивные, темно-серые или лиловато-серые. Они заключают пласт мраморизованных известняков и доломитов светло-серого, розовато-серого и кремового цвета мощностью 80 м и несколько менее мощных (до 15 м) прослоев и линз карбонатных пород. В известняках содержатся строматолиты плохой сохранности. В верхней части свиты присутствуют линзы седиментационных брекций алевролитов мощностью в несколько десятков метров. Породы бутунской свиты местами сильно альбитизированы, а по трещинам наблюдаются цеолиты.

Наиболее полно разрез бутунской свиты представлен на левобережье р.Бол.Икабяя, в 6-7 км выше устья р.Сакуан. Здесь на

тонкополосчатых алевролитах александровской свиты залегают:

1. Биотитизированные алевролиты темно-серые, массивные, в отдельных прослоях с карбонатными стяжениями. В них присутствуют две линзы доломитов мощностью до 15 м	200-220 м
2. Известники мраморизованные, светло-серые, отдельные прослои содержат тетриллитную примесь...	5-7 "
3. Метаморфизованные алевролиты темно-серые, неяснослоистые, тонкополосчатые	8 "
4. Кремевые доломиты и светло-серые мраморизованные известняки; в 30-35 м от основания пласта	60-80 "
5. Метаморфизованные алевролиты темно-серые, массивные или неяснослоистые, с двумя прослоями изв- вестняков мощностью по 10 см	

6. Метаморфизованные алевролиты лиловато-серые массивные, иногда неяснопятнистые	150 "
Мощность свиты по разрезу — 450-500 м; к западу мощность сокращается, и в 8 км западнее описанного разреза отложения свиты полностью выклиниваются.	

Верхняя подсвита

Сакуанская свита

К верхней подсвите на площади листа относится сакуанская свита, которая слагает крупные поля на юге района. Стратиграфические соотношения сакуанской и бутунской свит наблюдались

лишь на небольшом участке по левому притоку р.Бурунга, где между ними установлен постепенный переход. К северу, на водоразделе рек Бурунга и Бол.Икабяя, сакуанская свита транспессивно, но без грубобломочных пород в основании, залегает на отложений александровской свиты. Такие же соотношения установлены и в смежных районах. Восточнее площади листа сакуанская свита с разливом, местами с угловым несогласием ложится на различные толщи удоканской свиты, вплоть до читкандинской свиты (Глуховский, 1968). Щине она залегает согласно, без признаков размытия на бутунской свите (Буфеев, 1967).

Сакуанская свита на территории листа может быть рассеченена на две части, отвечающие первой и второй, третьей и четвертой подсвитам этапонного разреза.

Первая и вторая подсвиты ($R_{\text{t}1}, R_{\text{t}1+2}$) представляют собой мощную толщу метаморфизованных песчаников светло-серых или розово-серых, среднеэзернистых, реже — мелкозернистых, полево-шпат-кварцевых или полимиктовых, с прослоями известковистых разностей и черных железистых песчаников. В подчиненном количестве присутствуют биотитизированные алевролиты и мелкозернистые песчаники темно-серого цвета. Изредка встречаются филлиты. На двух участках обнаружены прослои мелких песчаников и алевролитов. Для основной части толщи характерна грубая параллельная или косая слоистость. Мощность пластов — от 0,2 до 3-4 м. Для отдельных пачек мелкозернистых песчаников и алевролитов типичны параллельная или мелкая косая слоистость и знаки волновой раби. К западу в составе толщи постепенно возрастает роль тонкозернистого терригенного материала.

На востоке (водораздел р.Бол.Икабяя и Бурунга) толща представлена преимущественно среднеэзернистыми метаморфизованными песчаниками. Видимая мощность ее в этом районе 600 м. К юг-юго-западу, в верховых левого притока р.Бурунга, в низах толщи появляется большое количество прослоев биотитизированных алевролитов. Непосредственно выше бутунской свиты здесь залегают:

1. Метаморфизованные песчаники серые, розовато-серые, мелко- и среднеэзернистые, иногда известковистые, параллельносложистые, реже — кососложистые, с пластами биотитизированных алевролитов темно-серых мощностью от 0,5 до 15 м	240 м
2. Метаморфизованные песчаники мелко- и среднеэзернистые, светло-серые, массивные или неяснослоистые, с редкими пластами (до 1 м) биотитизированных темно-серых алевролитов	200 "

3. Метаморфизованные песчаники среднезернистые, вато-серые и серые, с прослойками известковистых

разностей 200 М

розово-серые, грубокослойные, с двумя прослойками алевролитов темно-серых мощностью 5-10 см и редкими пластами (0,5-0,7 м) известковистых песчаников . .

5. Метаморфизованные песчаники серые.. розово-серые, массивные или грубокосостольстые, с пропластками черных железистых песчаников;

ностью около 1000 м однообразных метаморфизованных кососложистых песчаников с прослоями железистых разностей (аналогичных слою 5). К этому же типу разреза, по-видимому, относятся низы сакуанской свиты, вскрытые во врезе р. Ункур, где среди переслаивающихся метаморфизованных полевшпат-кварцевых песчаников, железистых песчаников и метаморфизованных алевролитов присутствуют две пачки мощностью 24 и 16 м., насыщенные прослойми медистых песчаников и алевролитов.

На западе района, в бассейне р.Нирунгнакан, описаны асфальтогипса-
толща также представлена, главным образом, метаморфизованными
среднеэзернистыми розовато-серыми и серыми косослоистыми песча-
никами с прослойями железистых разностей. В отлике от восточных
районов, в ее верхах картируется выдержаный мощный (1000-1100 м)
горизонт биотитизированных темно-серых или зеленовато-серых
алевролитов и мелкозернистых песчаников, иногда известковистых.
В верховых р.Нирунгнакан в них заключен прослой мелдистых алев-
ролитов (0,2 м). Для пород горизонта типичная тонкая слоистость
обычно параллельная, изредка — мелкая косая (мощность серий не
более 10 см); отмечаются знаки ряби. Основание сакуканской сви-
ты здесь не наблюдается, а максимальная видимая мощность двух
ее нижних подсвит составляет 1600-2000 м.

На крайнем юго-западе района первая и вторая подсвиты сакуканской свиты представлены толщей биотитизированных полво-шпат-кварцевых песчаников, главным образом, мелкозернистых, также алевролитов. Переходы по простиранию с востока на запад среднезернистых метаморфизованных песчаников в мелкозернистые, наконец, в алевролиты происходят постепенно.

Третья и четвертая подсвиты (Pt_1, Pt_2) представлены однобразной толщей метаморфизованных песчаников, преимущественно среднезернистых, полевошпат-кварцевых и полимиктовых, серых и розовато-серых. По всей толще отмечается прослой черных жеистых песчаников, которых больше, чем в первых двух подсвитах.

В низах толщи присутствуют метаморфизованные известковистые песчаники, песчанистые известняки, редкогалечные конгломераты, меллистые песчаники и алевролиты. Переход от подстилающих отложений постепенный; граница проводится по массивовому появлению известковистых разностей песчаников и линз конгломератов.

Нижняя часть толщи наиболее пестра по составу. На западе района резко повышена известковистость песчаников, на востоке выражена менее четко. Однако на востоке присутствует маркирующий горизонт песчанистых известняков мощностью от 10 до 25 м. На этом преимущественно подстилающими породами сакуянской свиты, реже квартем и лейкократовыми гранитами. В 150-200 м от основания берегье р.Амудиеса находятся линзообразные пласты редкогалечных конгломератов мощностью от 0,3-1 м до 5 м. Галька представлена преимущественно подстилающими породами сакуянской свиты, реже толди, непосредственно под линзой конгломератов, в верховье левого притока р.Ниурннакан, залегает пласт метаморфизованных медистых песчаников и алевролитов мощностью 0,5 м и протяженностю 1250 м. Слоистость в низах толщи обычно нечеткая; часто отмечается пятнистая текстура пород. Мощность нижней части – 200-250 м.

Вышележащая часть третьей и четвертой подсвит сложена среднезернистыми полимиктовыми и полевошпат-кварцевыми песчаниками с четко выраженной грубой косой слоистостью диагонального или перекрестного типа, которая подчеркивается частями пропластками и прослоями (от 1 мм до 15-20 см) железистых песчаников. Мощность косых серий – 0,5-2-3 м. Косослоистые песчаники разделены прослойами параллельнослойистых или массивных разностей мощностью от 0,2 до 3-5 м. Видимая мощность этой части толщи – около 1000 м. Максимальная видимая мощность третьей и четвертой подсвит 1200 м. В целом сакуянская свита в районе работ достигает мощности 3200 м.

Суммарная мощность удоканской серии в пределах хр.Удокан составляет около 8000 м. На хр.Кодар три нижние свиты имеют мощность не более 1650 м, что едва превышает мощность одной икарской свиты на хр.Удокан.

Региональный метаморфизм пород удоканской серии почти полностью замаскирован контактовым воздействием гранитоидов

чуйско-кодарского комплекса. На участках, не претерпевших значительных kontaktовых изменений, устанавливается закономерное понижение регионального метаморфизма вверх по разрезу. Наивысший метаморфизм, соответствующий низам амфиболитовой фации, претерпели породы низов удоканской серии (кварц-биотитовые и двуслюдянные сланцы со ставролитом и гранатом), для которых характерны минеральные ассоциации: биотит+кварц+ (альбит-олигоклаз), биотит+мусковит+ставролит+альмандин-кварц+ (альбит-олигоклаз). Большая часть пород удоканской серии метаморфизована в условиях высокотемпературной субфации фации зеленых сланцев. Породы полностью сохраняют реликтовые обломочные структуры, а цемент преобразован полностью и замещен кварц-альбит-мусковит-биотитовым агрегатом. В верхах удоканской серии породы метаморфизованы лишь до низкотемпературных ступеней фации зеленых сланцев, что выражается обычно в хлоритизации цемента пород.

О нижнепротерозойском возрасте удоканской серии на площади листа свидетельствуют следующие данные: она относительно моложе метаморфических образований чарской серии архея, перекрыта позднепротерозойскими отложениями сенской свиты, прорвана гранитоидами чуйско-кодарского комплекса, имеющими возраст 1900 ± 100 млн. лет и, следовательно, не моложе верхов нижнего протерозоя. К северо-западу, в районе оз. Ничатка, гранитоиды чуйско-кодарского комплекса перекрыты среднепротерозойскими отложениями тепторгинской серии (Салоп, 1964).

ВЕРХНИЙ ПРОТЕРОЗОЙ

П а т о м с к а я с е р и я

Средняя подсерия

Сенская свита (Pt_3, n)

Сенская свита залегает несогласно на сакуканской свите нижнего протерозоя или на размытой поверхности гранитов Кеменского массива на юго-востоке района. В ее строении принимают участие доломиты, песчанистые доломиты, песчаники, гравелиты, алевролиты и конгломераты.

Базальный горизонт мощностью 20–25 м образуют пестроокрашенные разнозернистые песчаники и гравелиты полевошпат-кварцевые, реже аркозовые с подчиненными прослоями (до 0,1 м) алевролитов. Местами в основании свиты залегают песчанистые доломиты,

пород сакуканской свиты, реже – кварца; окатанность и сортировка галек плохая. Выделяющая часть свиты сложена однообразными плитчатыми (0,1–2 м) светло- или темно-серыми доломитами с маломощными прослоями и стяжениями кремней.

Типичный разрез свиты вскрыт по правому притоку р. Амудиса, у восточной границы района, где на гранитах залегают:

1. Гравелиты и разнозернистые песчаники с редкой галькой кварца, бурые, лиловые и зеленовато-серые, иногда косослоистые, с прослоями (1–10 см) лиловых и зеленых алевролитов и мелкосернистых песчаников	15 м
2. Песчаники мелко- и разнозернистые, зеленовато-серые, с прослоями серых алевролитов (до 10 см), со знаками ряби	10 "
3. Доломиты светло-серые, с кремнистыми стяжениями	2 "
4. Алевролиты с карбонатным цементом, светло-серые	3 "
5. Доломиты светло-серые, с прослоями (от 0,1 до 1,5 м) серых карбонатных песчаников. В доломитах серии <i>Vesicularites flexuosus Reitl.</i> , V. <i>formae nov.</i> (определения И.К. Королюк)	8 "
6. Доломиты светло-серые с кремнистыми прослоями (до 5 см) и стяжениями; в верхней части (0,6 м) – с прослоями карбонатных песчаников	12 "

7. Доломиты темно-серые и серые с кремнистыми стяжениями	22 "
Мощность по разрезу 72 м. Максимальная видимая мощность сенской свиты наблюдается на р. Кемен, где достигает 85 м.	
В доломитах в ряде слоев были обнаружены катаграфии, ука- занные в разрезе. Помимо них непосредственно к югу (Федоровский, 1967) были обнаружены онколиты <i>Globosites glaberolites Reitl.</i> (определения И.К. Королюк). Эти катаграфии и онколиты, по данным З.А. Журавлевой (1964), характерны для среднего риfеля и, следовательно, вмещающая их толща может быть датирована верхним протерозоем. Сами отложения по составу и общему стратиграфическому положению являются аналогом сенской свиты других районов Алданского щита.	

М Е З О З О Й С К А Я Т Р У П П А

Средне-верхнеюрские и нижнемеловые угленосные отложения развиты в бассейне р. Амдас. Они делятся на две свиты, расщепленные на три подсвиты каждая.

ЮРСКАЯ СИСТЕМА

СРЕДНИЙ – ВЕРХНИЙ ОТДЕЛЫ

Чепинская свита несогласно залегает на породах чарской и удоканской серий и раннепротерозойских гранито-дах. Она расчленена на три подсвиты. Переходы между ними местами проведены условно.

Нижняя подсвита ($\text{J}_2\text{-}\text{3 } \delta_1$) сложена контгломератами, гравелитами и песчаниками аркозовыми, иногда известковистыми, с подчиненными прослоями углистых алевролитов. Нижнюю часть подсвиты на левобережье р. Атсат образует мощный горизонт зеленовато-серых или темно-лиловых контгломератов, обычно грубоалунных.

Обломки птико окатаны, несортированы и представлены городами подстилающих докембрийских толщ. Заполнителем служат тонкозернистые песчаники и алевролиты со значительной примесью глинистого материала или гематита. В верхней части горизонта контгломератов обломки окатаны несколько лучше; появляется галька кварца, эпидозитов, гранитов. Мощность контгломератов – 60–90 м; лишь на краине юго-западе она сокращается до 15 м. Контгломераты выклиниваются на правобережье р. Атсат, где застывший на гравитатах базальтный горизонт представлен аркозовыми гравелитами мощностью 10–15 м, иногда с редкой галькой гранитов (рис. I).

Вверх по разрезу контгломераты и гравелиты сменяются серыми песчаниками. На западе (см. рис. I–П) песчаники мелковзернистые, часто известковистые, параллельно- икососложные, с подчиненными прослоями углистых алевролитов. Восточнее среди них появляются прослой средне- и крутоизогнутых песчаников с редкой мелкой галькой (см. рис. I–Ш, У). Мощность песчаников – 30–45 м. Мощность всей нижней подсвиты колеблется от 55 до 120 м.

Средняя подсвита ($\text{J}_2\text{-}\text{3 } \delta_2$) имеет более тонкообломочный состав, преобладают темно-серые углистые алевролиты и углистые сланцы; в отдельных частях подсвиты много серых аркозовых песчаников, к ней приурочены наиболее крупные пласти каменного угля.

Средняя подсвита начинается выдержаным горизонтом углистых глинистых сланцев и углистых алевролитов, на западе содержащих пропластки каменных углей и редкие прослой мелковзернистых песчаников (см. рис. I–П, Ш). На востоке (см. рис. I–У) на этом стратиграфическом уровне находится пачка, состоящая из двух угольных пластов (10,4 и 20 м), разделенных алевролитами мощностью 2,5 м. Общая мощность горизонта 30–40 м. Вьше залегает пач-

ка, пестрая по составу и строению, невыдержанная по простиранию. Она представлена чередующимися песчаниками (от круто- до мелкозернистых), углистыми алевролитами и углисто-глинистыми сланцами. На разных уровнях в ней залегают кулисообразно расположенные линзовидные прослои каменных углей. Слоистость параллельная или мелкая косая. Фациальные изменения в этой пачке с юго-запада на северо-восток следующие: крупнозернистые песчаники сменяются песчано-сланцевыми тонкозернистыми отложениями с пластами каменных углей мощностью до 3 м. На севере, в верховьях р. Быйики, в верхней части подсвиты среди песчаников и алевролитов появляются три пласта углей мощностью 11,5, 1 и 5 м.

В породах средней подсвиты содержатся много остатков флоры хорошей сохранности: *Raphaelia dissimilis* Sew., *Cladophlebis serpulata* Sawyl., *C. sp.*, *Podozamites angustifolius* (Eichw.) Heer, *Ginkgo cf. sibirica* Heer, *Pityonyxum ex gr. nordenskoldii* Heer, *Coniopterus* sp. (определения В.А. Вахрамеева). Мощность средней подсвиты в южной части поля ее развития равна 180–220 м, а на севере возрастает до 250 м.

Верхняя подсвита ($\text{J}_2\text{-}\text{3 } \delta_3$) представлена в основном светло-серыми аркозовыми песчаниками (преимущественно средне- и крупнозернистыми), гравелитами и темно-серыми углистыми алевролитами. В отличие от подстилающих отложений, в верхней подсвите появляются зеленовато-серые разновидности алевролитов без примеси углистого вещества. В резко подчиненном количестве присутствуют темно-серые углисто-глинистые сланцы и маломощные (до 10 см) пропластки углей. Для подсвиты характерна грубая беспорядочная, иногда ритмичная слоистость. Мощность ритмов 10–20 м, в отдельных случаях – до 40 м; строение – от гравелитов в основании до алевролитов или углисто-глинистых сланцев в верхах ритмов. Так же, как в средней подсвите, роль тонкообломочного материала закономерно возрастает на северо-восток.

В породах верхней подсвиты содержится тот же комплекс флоры, что и в средней подсвите: *Raphaelis cf. dissimilis* Sew., *Cladophlebis argutula* (Heer) Font., *Podozamites angustifolius* Heer, *Nilsonia schmidtii* Heer, *Czekanowskia rigida* Heer, *Coniopteris* sp., *Elatocladus* sp., *Equisetites* sp. (определения В.А. Вахрамеева). Мощность подсвиты на юго-западе – 500–630 м, на севере – 340 м. Общая мощность чепинской свиты – 825–915 м.

По составу и строению описанная толща обнаруживает полное сходство с чепинской свитой Каларской Владины (Федоровский, 1967), где в нижней подсвите обнаружены остатки пресноводных

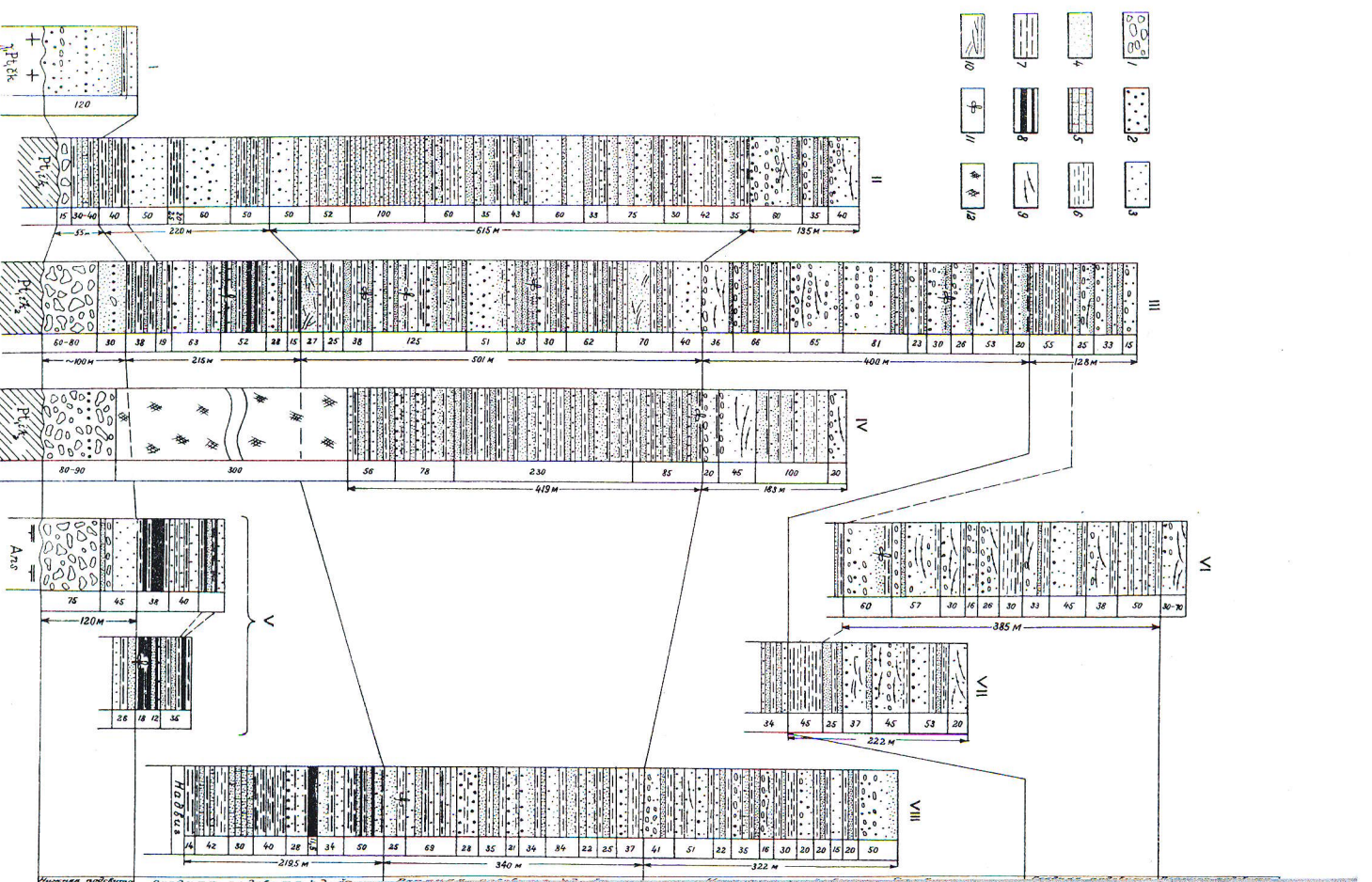


Рис. I. Схема сопоставления средне-верхнечерских
и нижнемеловых отложений хр. Колар

I – правобережье р. Альсат; II – левобережье р. Альсат; III – верховье
первого снизу правого притока р. Бильни; IV – колина р. Бильни;
У – верховье первого снизу левого притока р. Бильни; УЛ – левый
борт второго снизу правого притока р. Бильни; УП – верховье то-
го же притока; УП – верховье правого составляющего р. Бильни.

1 – кокколиты; 2 – гравелиты; 3 – песчаники крупно- и
среднезернистые; 4 – песчаники мелкозернистые; 5 – известкови-
стые песчаники мелкозернистые; 6 – алевролиты; 7 – углистые
алевролиты и углсто-глинистые сланцы; 8 – прослои и пласти
каменного угля; 9 – прослои магнетитовых песчаников; 10 – гори-
зонтальная и косая слоистость; II – остатки ископаемой форы;
12 – задернованные участки разрезов

пеленитол среднегорского возраста: *Fergalopodiscia sibirica* Tesh., *F. egyptica* Sh. Kol. (определения Ч.М. Колесникова). Из комплекса фиоры, обнаруженной в средней и верхней подсвитах в пределах листа 0-50-XXIX, по заключению В.А. Вахрамеева, форма *Garnella diamensis* характерна для средней и верхней юры и не поднимается в нижний мел. Форма же *Cladophlebia serrulata* ограничена верхней юрой и низами нижнего мела. Присутствие этих форм совместно свидетельствует о позднегорском возрасте средней и верхней подсвит. Наличие в нижней подсвите в Каларской впадине остатков среднегорских пеленитов позволяет расширить возрастную датировку чепинской свиты и считать ее средне-верхнегорской.

МЕЛОВАЯ СИСТЕМА

Нижний отдел

Рыбачья свита в бассейне р. Аксат залегает на чепинской совершенно согласно. В Каларской впадине, где описан стратотипический разрез свиты, она трансгрессивно перекрывает средне-верхнегорские и орловикские отложения (Федоровский, 1967). Свита сильно отличается от подстилающей чепинской свиты. В ее строении четко выражено грубое ритмичное чередование пород. Конгломераты рыбачьей свиты отличаются от базальных конгломератов чепинской свиты разнообразием гальки, ее хорошей сортировкой и окатанностью, а песчаники — полимиттовым составом и присутствием прослоев (до 1 см) магнетитовых разностей. В составе свиты отсутствуют каменные угли; значительно реже встречаются породы, обогащенные углистым веществом. Рыбачья свита расчленена на три подсвиты.

Нижняя подсвита (*Gr₁, f₁*) сложена ритмично чередующимися песчаниками, гравелитами, конгломератами, алевролитами, ультрапесчаниками, алевролитами и утилисто-глинистыми сланцами серого, зеленовато-серого цвета. Насчитывается 7-8 ритмов мощностью от 20 до 65 м (см. рис. I). Ритмы начинаются гравелитами с линзообразными прослоями (0,2-2 м) мелкогальечных конгломератов, состоящими из гальки преобладают гранит-порфирь, липаритовые порфирь, липарито-дакиты, их туфы и лавобрекчи, отсутствующие в районе в коренном залегании. Встречается галька биотитовых и лейкократовых гранитов, кварцитов, метаморфизованных песчаников, сланцев. Важе гравелиты и конгломераты постепенно сменяются среднезернистыми полимиттами грубоско-

слойстыми песчаниками с прослоями магнетитовых разностей. В последних обломочные зерна представлены в основном магнетитом, меньше — кварцем, полевыми шпатами, эфузивами кислого состава; прочих рудных минералов не обнаружено. Песчаники слагают основную часть ритмов. Завершают ритмы чередующиеся мелкозернистые зеленовато-серые песчаники и алевролиты, иногда с прослоями темно-серых утилистых алевролитов и утилисто-глинистых сланцев. Мощность этой части ритмов колеблется от 1 до 6 м. В северо-восточном направлении в составе толщи увеличивается роль тонкобломочных отложений. Количество конгломератов сохраняется примерно прежним, но в основной части ритмов большее значение приобретают мелкозернистые разности песчаников. Крупные ритмы здесь несколько затушеваны наложением мелких (от 1 до 10 м) ритмов (см. рис. I-УШ).

В породах нижней подсвиты заключены растительные остатки:

Cladophlebia ketovae Vacir., *Podozamites angustifolius* Heer, *Pityophyllum polycladioides* Heer, *Ginkgo huttonii* (Sternb.) Heer (определения В.А. Вахрамеева). Мощность подсвиты составляет 350-400 м.

Средняя подсвита (*Gr₁, f₂*) образована серыми полимиктовыми песчаниками от мелко- до крупнозернистых, зеленовато-серыми алевролитами, темно-серыми утилистыми алевролитами и утилисто-глинистыми сланцами, гравелитами и конгломератами. Среди песчаников чаще встречаются прослои магнетитовых разностей мощностью до 1-3 см. Как и в нижней подсвите, отмечается грубая ритмичность. Выделяется 10-11 ритмов мощностью от 15 до 60 м. В отличие от нижней подсвите, в верхах ритмов залегают мощные горизонты алевролитов, мелкозернистых песчаников с прослоями углистых алевролитов и утилисто-глинистых сланцев. Общее содержание крупнобломочных пород снижается, хотя конгломератов, слагающих основания ритмов, становится несколько больше (3-5%). Наиболее крупный песчанико-алевролитовый пласт залегает в нижней части подсвиты. Он имеет мощность 45-55 м и хорошо картируется по всей площади. Выше аналогичные горизонты имеют мощность 20-30 м, но по простирию расщепляются на несколько маломощных пластов, разделенных песчаниками.

В ряде пунктов в средней подсвите собраны остатки фиоры: *Cladophlebia* sp., *Solipteroites* cf. *tumicis* Rup., C. ex gr. *bugejensis* (Zal) Sew., *Nilssonia schmidtii* Heer, N. ex gr. *media*-pa (Leck.) Fox. Strang. (определения В.А. Вахрамеева). Мощность средней подсвity 350-390 м.

Верхняя подсвита ($\text{Ст}_1 \text{ б}_3$) сложена серыми крупнозернистыми песчаниками, гравелитами и контломератами с четкой грубой косой слоистостью и магнетитовыми прослоями (до 1 см). Максимальная мощность верхней подсвиты 50–70 м. Общая мощность рыбачьей свиты 730–800 м.

Возраст рыбачьей свиты определяется остатками флоры в нижней и средней подсвитах. В отливе от чепинской свиты, здесь отсутствуют *Karpasella diamensis*, но появляется *Cladoporellus kentovicus*. По заключению В.А.Бахрамеева, последняя форма распространена в низах нижнего мела и в одном случае (Бирю-Лякский бассейн) встречена в отложениях верхней юры. Учитывая, что в Каларской владике чепинская и рыбачья свиты разделены перерывом, времем формирования последней следует считать раннемеловым.

ЧЕТВЕРТИЧНАЯ СИСТЕМА

Отложения различного генезиса от среднечетвертичного до современного возраста развиты в основном в Верхне-Чарской впадине.

Среднечетвертичные отложения включают ледниковые, зондоперниковые и озерно-аллювиальные (частично золевые) образования. Ледниковые озера в юго-западной части района распространены, главным образом, по периферии Верхне-Чарской впадины и в предгорьях хр.Улокан, где залегают на коренном цоколе. Они представлены мореной в составе валунных ступенек, реже – валунных супесей буровато- или зеленовато-серой окраски. Валунный материал отвечает коренным породам окружающих хребтов. Максимальная мощность морены 80 м (р.Икбелькан).

Водоемы – ледники озера расположены на северо-востоке района, на правобережье р.Чары. Они залегают на докембрийских образованиях и по латерали переходят в среднечетвертичную морену. Это – песчано-галечные и валунно-галечные отложения, плохо отсортированные, но хорошо промытые. Подчиненные прослои образованы хорошо сортированными аргиллитами и песками и гравием. Мощность водно-ледниковых отложений достигает 80–85 м.

Озера – озера в юго-западной части района сохранились на многих участках.

Состав Верхне-Чарской впадины, исключая самые центральные ее части, на юго-западе впадины они налегают на докембрийские образования. Это – мощный комплекс преимущественно песчаных осадков. Подчиненную роль играют песчано-гравийные образования и супеси. Состав песков и супесей кварц-полевошпатовый, песчано-гравийных отложений – полимиктовый. Значительно варьирует содержание слюды (от 0 до 25%). Некоторые прослои песков обогащены магнетитом. Примесь глинистой фракции не превышает 3–7%. Сортировка и окатаанность обломочных зерен хорошие.

В описываемых отложениях выделяются три фацальные группы. В первой, наиболее распространенной, преобладают мелко- и среднезернистые пески с прослоями песчано-гравийных отложений. Разрез имеет двухслойное строение. Верхняя часть сложена горизонтальнослоистыми песками, среди которых присутствуют отдельные пласти (5–20 см) с мелкой косой слоистостью. Мощность этой пачки – 25 м. Подстилающие пески характеризуются грубой косой слоистостью, обычно односторонней. Насчитываются до шести косых серий мощностью от 5 до 20 м и более. Внутри каждой из них наблюдается тонкая параллельная слоистость, и лишь близ основания серий слоики вогнуты и веерообразно расходятся. Углы наклона в косых сериях изменяются от 2–5° у основания до 25–33° в верхах. Максимальная мощность пачки косослоистых песков 55 м. Наиболее полные разрезы песков этой группы наблюдаются по р.Чаре ниже устья р.Ниж.Сакулан, где их мощность равна 80 м, а также в пределах урочища Пески.

Вопрос о генезисе песков первой группы, особенно грубокосослоистых разностей, сложен и пока еще не решен. По мнению Г.Ф.Лунгергаузена, это – золевые отложения, возникшие за счет перевалки зандровых песков. А.И.Музик (1966, 1967ф) считает преимущественно озерными образованиями (фация донных течений).

По второй группе относится толща, развитая на двух периферических участках Верхне-Чарской впадины: в долине р.Ниж.Сакулан и в районе оз.Арбакалыр. Она сложена тонкозернистыми песками и супесями с подчиненными маломощными прослоями среднезернистых песков. Слоистость в породах тонкая, нелясная, параллельная или слабоволнистая. Иногда отмечается наклон слоев (до 15–25°), но четко выраженные косые серии отсутствуют. Максимальная видимая мощность отложений этого типа – 80 м (оз.Арбакалыр). Эти пески относятся к озерным или пойменным аллювиальным накоплениям.

Третья группа отложений приурочена к участкам, примыкающим к области развития древних морен (р.Чара ниже устья р.Намингнанкан и р.Ункур). Преобладают сравнительно слабо сортированные разнозернистые пески; в низах толщи присутствуют песчано-гравийные разности. Слоистость горизонтальная параллельная или слабо волнистая, часто неясная. Наблюдаются отдельные линзы и карманы тонкокосостольных песков. Максимальная видимая мощность отложения 15 м. Отложения этого типа относятся к прибрежным озерным и аллювиальным (дельтовым) осадкам.

Для всех озерно-аллювиальных отложений характерны мелко-слоистые криогенные деформации, морозобойные клинья и трещины. Палинологический анализ этих отложений не обнаружил растительных остатков.

Возраст ледниковых, водно-ледниковых и озерно-аллювиальных отложений определяется тем, что они залегают на коренном дюнокле и перекрыты верхнечетвертичными ледниковыми образованиями. На смежных территориях на них залегают ранневерхнечетвертичные отложения межледниковых (Музис и др., 1967б; Глуховский, 1968). Будучи образоваными холодной климатической эпохи, эти толщи могут быть отнесены ко времени древнего среднечетвертичного оледенения.

В е р х н е ч е т в е р т и ч н ы е о т л о ж е н и я

Нижняя часть (III) включает аллювиальные, озерные и про-

лювиально-аллювиальные отложения эпохи межледниковых.

А л л ю в и а л ь н ы е о т л о ж е н и я выражены ус-
ловно в бассейнах рек Нирунгнакан и Наминга, где они залегают на среднечетвертичной морене в виде обрывков террас высотой до 25 м. Сюда же относится основная часть толщи, вскрытой Чарской скважиной. В бассейнах рек Нирунгнакан и Наминга аллювиальные отложения представлены песками и галечниками с прослоями мелких валунников. Слоистость грубая, неясная. В разрезе Чарской скважины это — песчано-гравийная толща с примесью гальки и валунов; в верхах толщи присутствуют горизонты ленточных супесей, вероятно, озерного происхождения.

Обобщенная характеристика рассматриваемой толщи в скважине следующая (сверху вниз, глубина от поверхности в м): 22, I-71, I. Песчано-гравийные отложения с прослоями валунников и тонкослоистых ленто-

ных супесей мощностью от 0,3 до 2,5 м с растительными остатками 49, 0 м

Пески от мелко- до среднезернистых и супеси тонкослоистые с растительными остатками 12, 5 "

Грубые пески и мелкий гравий, в нижней части с галькой и мелкими валунами. В интервале 91,4-98,8 м — прослой неслой- 102,9 "

стых супесей с валунами 18,5 "

Мощность толщи, вскрытой в разрезе скважины, 183 м.

В породах интервала 22, I-106,8 м присутствует пыльца сосны (6-54%), березы (10-40%), ольхи (14-50%), лещины (до 20%); меньше ивы, ели, лиственницы. Пыльца трав представлена осоковыми, полынью, вересковыми, злаковыми, эфедрой. Имеются споры сфагновых мхов и папоротников. Нижележащая часть толщи (106,8-205 м) не подвергалась палинологическому опробованию и отнесена к отложениям межледниковых условно.

О з е р н ы е о т л о ж е н и я известны в верхнем течении р.Иктоан. Отдельные прослои их присутствуют также среди аллювиальных образований в разрезе Чарской скважины.

В правом борту р.Иктоан обнажается монотонная толща супесей пильевидных неслоистых серых или буровато-серых с прослоями торфников. Супеси сложены алевритовыми и мелкими псамитовыми частицами кварца, реже — полевых шпатов и листочками слюды (до 10%). Содержание глинистой примеси не более 10%. Видимая мощность супесей достигает 25 м. В супесях и торфниках содержатся пыльца березы и ольхи (30-70%), меньше — сосновы, единичные зерна пыльцы ели и лещины. Имеются споры зеленых и сапроповых мхов, папоротников и плаунов.

П р о л ь в и а л ь н ы е о т л о ж е н и я слагают пологий конус выноса на правобережье р.Чары в районе устья р.Курут-Ирях, перекрывающий среднечетвертичные водно-ледниковые образования. Это — однородная толща грубообластных разнозернистых песков с примесью гравия. Предполагаемая мощность 10-15 м.

Комплекс пыльцы из аллювиальных и озерных отложений указывает, что накопление их происходило в условиях умеренно теплого и влажного климата. Аналогичный спектр присутствует в отложениях ранневерхнечетвертичного (казанцевского) межледниковых Прибайкалья (Равский и др., 1964). Сопоставлено рассматриваются толщи с отложениями казанцевского межледниковых не противо-

речит их положению между образованиями двух ледниковых эпох, что наиболее четко фиксируется южнее, по р. Ингамакит (Музис и др., 1967ф). Промежуточно-аллювиальные отложения отнесены к раннебергнечетвертичным условно, так как восточнее аналогичные образования фациально замещаются озерными отложениями, ботыльской, характерной для казанцевского межледникового (Глуховский, 1968).

Верхняя часть (ЧПГ). К эпохе вергнечетвертичного оледенения отнесены ледниковые, водно-ледниковые, озерные и аллювиальные образования.

Ледниковые образования выстилают днища тровых долин и образуют валы конечных морен, иногда многостадийных. Они залегают на коренных породах, среднебергнечетвертичных и раннебергнечетвертичных (р. Итокан) отложений. Морена представлена валунными супесями, редко — суглинками буровато-серыми, серыми, зеленовато-серыми. Валуны сложены местными коренными породами. Конечные морены имеют мощность до 100–120 м; мощность донных морен не превышает 10–20 м.

Водно-ледниковые отложения расположены внутри конечно-моренных валов в долинах рек Икабель-кан, Кемен и др. Основание этих отложений не вскрыто, с окружавшими моренами они связаны фациальными переходами. Водно-ледниковая толща сложена галечниками, песками, гравием; менее развиты валунники. Наиболее грубые отложения тяготеют к участкам, примыкающим к морене. Во внутренних полях преобладают галечники и песчано-галечные отложения с пластами чистых разнозернистых, иногда мелкозернистых песков. Сортировка материала средняя или плохая, однако примесь глинистых частичек обычно не превышает 2–3%. Состав обломков тот же, что в окружающей морене. Слоистость в отложениях обычно нечеткая и грубая. Лишь мелкозернистые пески обладают параллельной слоистостью. Максимальная видимая мощность отложений 30 м. (р. Кемен).

Озерные отложения развиты в долине р. Икабекан среди поля водно-ледниковых образований, которыми они подстилаются и замещаются по простирации. Эта толща обнаружена и детально исследована Чарской партией ЧГУ (Золотухин, 1964б). На площади 1,5 км² развиты параллельно-слоистые зеленовато-серые суглинки. Их механический состав: глинистых частиц – 3–24%, алевритов – 46–83%, песка – 8,5–22,5%. Повышенное содержание песчаной фракции, принос гальки и гравия наблюдается в краевой части озерной толщи. Максимальная вскрытая мощность суглинков – 14,1 м.

Аллювиальные отложения перигляциальной области развиты в осевой части Верхне-Чарской впадины. Они слагают крупные участки вдоль берегов р. Чары, образуя террасу высотой от 4 до 10 м. К ним относится верхний горизонт отложений, вскрытых Чарской скважиной, который залегает на раннебергнечетвертичных отложениях.

В составе аллювия принимают участие пески и гравий, изредка — мелкие галечники. Верхняя часть толщи сложена преимущественно мелкозернистыми олигомиктовыми песками с подчиненными продельными прослойками гумусированными слюдой. Слоистость в отложениях тонкая, иногда слабо волнистая. Мощность этой части толщи – 2–3 м. Ниже залегают более грубые полимиктовые пески с примесью гравия, иногда с мелкой галькой, косослоистые (русская форма аллювия). Отдельные пласти пород разбиты исколпаемыми кристаллическими трещинами. В Чарской скважине (0–22 м) аллювиальная толща представлена нечеткослоистыми гравийно-песчаными образованиями.

Спорами и пыльцой аллювиальные отложения очень бедны. Гумусированные прослойки содержат лишь споры сфагновых и зеленых мхов и папоротников. Исключение составляют гумусированные прослойки в обрывах р. Чары у пос. Чара и ниже устья р. Бол. Икабель, где выпадена пыльца бересняка (31–58%), ольхи (12–50%), сосны (9–44%) и лиственницы (1–20%). Возраст отмеченных отложений определяется тем, что они залегают на палинологически охарактеризованных раннебергнечетвертичных образованиях и перекрыты современными осадками. Их формирование отвечает второй половине вергнечетвертичного времени — эпохе последнего оледенения. Во время вергнечетвертичной ледниковой эпохи, по мнению А.И. Музиса (1967ф), наступает кратковременный этап постепления, отвечающий каргинскому межледниковью. На это указывает присутствие в аллювии прослоев гумусированных песков с пыльцой древесных пород.

Верхнечетвертичные и современные отложения (ЧПГ+IV)

Отложения этого возраста объединяют промежуточно-делювиальные образования и полигенетические супеси.

Продольные — делювиальные отложения слагают крупные шлейфы вдоль подножья хр. Кодар, прислоненные к уступу коренных пород, и меньше развиты на хр. Улокан; они состоят обычно из глыб и щебня с небольшим количеством супесчаного заполнителя. Обломочный материал не сортирован, слоистость отсутствует. Мощность этих образований

В предгорьях хр.Кодар, по-видимому, достигает 50 м; во врезах рек они вскрыты лишь на 10–15 м. Отложения рассматриваемых шлейфов являются результатом разрушения эрозионно-тектонического времени, и уступа хр.Кодар, формирующегося в верхнечетвертичное время, и накапливаются до настоящего времени. Для них принят верхнечетвертичный и современный возраст.

Полигенетические супеси выделяются в основном в предгорьях хр.Удокан и в долине южной периферии Верхне-Чарской впадины, где они почти сплошным покровом перекрывают коренные породы и среднечетвертичные отложения. Маломощный их чехол залегает на верхнечетвертичной морене. На геологической карте они показаны лишь на участках наибольших мощностей (до 10–15 м).

Супеси – тонкие, пылевидные, желтовато-бурового и желтовато-серого цвета, как правило, нестойкие. Иногда в них встречаются линзы и гнездообразные участки, обогащенные гумусом. Состав супесей: алевритовых частичек – 40–70%, глинистого материала – до 10–12%, мелкой пылеватой фракции – 20–30%. Окатаанность обломков средних; состав – полевошпат-карицевый, иногда со значительной примесью слюды. Генезис супесей различный, в основном аллювиальный или озерный, хотя среди них не исключены водно-ледниковые. Делювиальные или золовые образования. Супеси лишь местами поддержат остатки спор и пыльцы. В низах толщи в бассейне рек Икабекан и Курунг-Урях обнаружены комплекс пыльцы, характерный для ранневерхнечетвертичного межледникового: береза (21 и 97%), ольха (40%), ива (16%) при незначительном содержании голосемянных; в небольшом количестве присутствует пыльца лещины. В верхах толщи на р.Икабекан выявлен современный спорово-пыльцевой спектр: сосна (40%), береза (20%), ольха (10%); присутствует пыльца лещины, по-видимому, переотложенная. В супесях, залегающих на среднечетвертичной морене в обраме р.Чары ниже устьи р.Сангия, В.Д.Лопатиным (ИГУ) были собраны остатки *Mammillaria primigenius* (Blum.) – поздняя форма, *Vivipara primigenius* (W. Grom.), которые датируются верхним плеистоценом (заключение Э.А.Вантейнегерм.).

Формирование супесчаных толщ началось в ранневерхнечетвертичное время и продолжается сейчас. Поскольку супеси разного возраста и генезиса литологически неотличимы, в большинстве случаев они не могут быть откартированы и поэтому объединены в единый комплекс верхнечетвертичного и современного возраста.

С о в р е м е н н ы е о т л о ж е н и я

Нижняя часть (β_1^1): пропилевиально-аллювиальные, аллювиально-эфузивные отложения и эфузивы (трахибазальты и трахиандезиты).

Пролювия – алювио-аллювиальные, аллювиально-эфузивные отложения и эфузивы (трахибазальты и трахиандезиты). Появляют цепь конусов выноса и континентальных дельт в долине хр.Кодар и Удокан. Они залегают на среднечетвертичных и верхнечетвертичных отложениях или прислонены к ним. С современными горизонтами делювиально-пропилевиальных шлейфов они связаны фациальными переходами. В составе этих отложений присутствуют грубо сортированные валунники, галечники и пески, иногда – супеси. В верхней части конусов выноса размеры валунов достигают 0,5–1 м, на их периферии преобладают песчаные и галечные отложения, иногда в верхней части толщи появляются супеси с редкой галькой. Несмотря на широкие площади развития супеси с редкой галькой. Несмотря на широкие площади развития рассмотриваемых отложений, мощность их не превышает 20–30 м. Спорово-пыльцевой анализ показывает высокое содержание пыльцы сосны, что характерно для современного спектра. К нижней части современных отложений толща отнесена потому, что она перекрывает верхнечетвертичные ледниковые образования, а в нее вложены наиболее молодые отложения поймы.

Аллювиальные отложения слагают в горной части района ряд небольших по площади разновысотных террас. Наиболее крупные из них расположены по р.Бол.Икабия (15 м) и на р.Алсат (10 м). Они сложены галечниками и валунниками, в верхней части – песчаниками отложениями. Остатки аналогичных террас высотой 5–6 м (цокольных) имеются в долинах рек Сакуаныр и Бол.Тора, но по условиям масштаба они не нанесены на геологическую карту. Мощность аллювиальных отложений колеблется от 1 до 15 м. Возраст их определяется тем, что они вложены в верхнечетвертичную морену, а к нам прислонены отложения поймы.

Трахибазальты и трахиандезиты (β_1^1) занимают площадь всего 100–200 м² на правобережье р.Байики и показаны на геологической карте вне масштаба. Они залегают на угленосных отложениях средней – верхней приблизительно зоны одного из молодых разломов, слагая пачку, состоящую из нескольких потоков пузыристых темно-серых и черных трахибазальтов и трахиандезитов, на выпущенной поверхности ожелезненных. Лавы включают обломки средне-верхнекарских песчаников. Мощность вулканогенных пород 10–15 м. Возраст их определяется путем сопоставления с вулканогенными образованиями смежных территорий, где породы аналогичного соста-

ва залегают на верхнечетвертичной морене и перекрыты современным аллювием поймы (Музис и др., 1967).

Верхняя часть (σ_2): аллювиальные отложения поймы и русла рек. Наибольшую площадь занимает высокая пойма р. Чары, шириной которой колеблется от 2 до 5 км. Отложения поймы вложены во все более древние рыхлые отложения.

Состав аллювия на разных отрезках долины р. Чары различен. В верхнем течении внизу залегают средне- и крупнозернистые пески и галечники русловой фации, косослоистые или неяснослоистые. Их перекрывает пойменный аллювий, представленный тонкими супесями с прослойками песков, часто гумусированных и содержащих растворительные остатки; слоистость тонкая, горизонтальная. Вниз по реке, ниже устья р. Кемен, высокая пойма р. Чары сложена преимущественно тонкозернистыми песками и супесями с остатками растений и большим количеством слюды. В нижней части их — подчиненные прослои среднесернистых песков. Слоистость обычно горизонтальная, иногда слабоволнистая. На самом нижнем участке долины, где река прорезает отроги хр. Колар, в составе поймы преобладают гальчики и валуночки. Валунно-галечный состав характерен и для пойменных отложений горных рек района. Аллювий низкой поймы и русла обычно имеет тот же состав, что и прилегающие части высокой поймы. Выделяем мощность аллювиальных отложений — 3-5 м.

В спорово-пыльцевом спектре пойменных отложений много пыльцы сосны (до 80%), меньше — бересы (11-26%), ольхи (16-27%). В виде единичных зерен присутствует иногда пыльца лещины, тсуги, древних хвойных, по-видимому, переотложенная. Пойменные отложения являются наиболее молодыми осадками района. Активное формирование их продолжается в настоящее время.

С о в р е м е н н ы е о т л о ж е н и я н е р а с ч л е н е н н ы е (σ_3)

Золовые пески занимают около 40 km^2 в районе урочища "Пески". Они перекрывают среднечетвертичные озерно-аллювиальные пески и образовались в результате их перевозания. Граница проводится по погребенному горизонту лесных подзолистых почв, частично залягашему в основании современных дюн. Золовые пески по составу не отличаются от подстилающих песчаных отложений, но лучше сортированы и окатаны. Среди них также преобладают средне- и мелкозернистые разности. Подчиненные прослой сложены крупнозернистыми и гравийными песками. Характерно наличие в толще

крупных косых серий песков мощностью 0,5-2 м, внутри которых отмечается тонкая параллельная слоистость. Мощность золовых песков около 30 м.

Залегающий в основании золовой толщи горизонт подзолистых почв имеет мощность 25 см. Палинологический анализ почв выявил пыльцу сосны (30-70%), бересы (20-27%) и ольхи (12-27%), единично зерна пыльцы лещины, дуба, ильма, граба (вероятно переотложенной). Комплекс пыльцы имеет много общего с межледниками и современным (нижняя часть) спектрами. Из вышележащих песков определен комплекс пыльцы и спор современного типа (резкое преобладание сосны, присутствие бересы, ольхи, лиственницы, ели). На почвенном горизонте в 1962 г. В.Л.Фишер и Г.Ф.Лунгерстаузен, а затем сотрудники ИГТУ нашли следы стоянок доисторического человека (скребки, нуклеусы, пластинки, фрагменты керамики). По заключению Ю.С.Гришина и Г.И.Андреева (Институт археологии АН СССР), эти предметы соответствуют культуре позднего неолита и ранней бронзы (конец III — первая половина II века до н.э.). Данные спорово-пыльцевого анализа и определение возраста стоянок древнего человека позволяют отнести золовые пески к современным образованиям, не уточняя время их формирования.

ИНТРУЗИВНЫЕ ОБРАЗОВАНИЯ

АРХЕЙСКИЕ ИНТРУЗИИ

К наиболее древним интрузивным образованиям принадлежат тела метаморфизованных пород ультраосновного и основного состава. Они насыщают тектонически ослабленные зоны в пределах полей развития чарской серии архея на хр. Колар.

М е т а г и п е р б а з и т ы (σ_3) слагают небольшие согласные линзовидные тела в метаморфических породах архея или блоки амматитов среди гранито-гнейсов куандинского комплекса. Протяженность тел метагипербазитов — от 50 м до 1-1,5 км при ширине от 10 до 50 м, изредка до 200-300 м; контакты четкие, местами неровные. В эндоконтактовой зоне часто наблюдаются кварцево-полевошпатовые прожилки и секущие пегматитовые жилы куандинского комплекса.

Метагипербазиты представлены серпентинизированными и амфиболизированными перидотитами, дунитами, реже — пироксенитами. В центральных частях крупных массивов перидотиты и дуниты — средне- и крупнозернистые массивные породы темно-зеленого цвета с неясными порфиробластами роговой обманки. Ближе к kontaktам зер-

нигость пород уменьшается, а цвет становится черным; появляются многочисленные прожилки хризотил-асбеста мощностью 1-6 см. В зоне самого контакта обычно развита полоса серпентинитов, иногда – тремолитовая или флогопит-биотитовая оторочка. Мелкие тела метагипербазитов полностью серпентинизированы. Тела пироксенилов, особенно в краевых частях, интенсивно амфиболизированы. Серпентинизация связана с автогидротермальным процессом. Появление более поздних тремолитовых и флогопит-биотитовых оторочек, а также амфиболизация пироксенитов обусловлены процессом гранитизации.

Минеральный состав перидотитов: оливин – 70-75%, моноклинный пироксен – 20-25%, ромбический пироксен – 5%, рудные минералы (магнетит, хромит). Состав дунитов: оливин – 90%, моноклинный и ромбический пироксены – 8%, рудные минералы – до 2%. Вторичные минералы: серпентин, тальк, актинолит, хлорит; в гранитизированных разностях: порфиробласти роговой обманки, тремолит, флогопит, биотит, циркон, турмалин; акцессорные – апатит и шинель. Пироксениты состоят из моноклинного (до 60%) и ромбического (до 10%) пироксенов, плагиоклаза (лабрадор № 59 – андезин № 42) – до 10%, рудного минерала (до 3%) и вторичной сине-зеленой роговой обманки (до 20%). В амфиболизированных разностях количество роговой обманки достигает 80%. Структура пород пани-дломорфнозернистая, а серпентинизированных разностей – петельчатая, в амфиболизированных – гранобластовая, пойкилобластовая.

По химическому составу метагипербазиты отвечают этalonному типу перидотитов и дунитов по Р.Цели (табл. I, ан.4,5). Спектральными анализами в метагипербазитах установлены элементы в количествах, превышающих кларковые для основных пород: кобальт – 0,01% и свинец – 0,003%,

цинк – 0,03%, медь – 0,3-0,6%.

М е т а г и� е р б а з и т (М А) образует серию протяженных (до 15-20 км), но маломощных (10-120 м) тел, согласных или слабосекущих, редко – четко секущих метаморфические породы архей. Контакты метагабброидов резкие, кроме случаев, когда они граничат с амфиболитами чарской серии. На участках интенсивной мигматизации в эндоконтактах обычно отмечаются гранитные прожилки и порфиробласти плагиоклаза. Иногда метагаббро и амфиболиты образуют крупные складки в гранитоидах Куандинского комплекса. Центральные части наиболее крупных тел сложены массивными метагаббро средне- или крупнозернистыми черными или темно-зелеными. Ближе к периферии породы становятся более мелкозернистыми и постепенно переходят в полосчатые или

плитистые мелкозернистые темно-зеленые амфиболиты. Маломощные (до 20 м) тела полностью превращены в амфиболиты.

Состав наименее измененных метагаббро: зональный плагиоклас (от лабрадора № 54 в центре до андезина № 30-32 по периферии) – 50-55%, оливин – до 15%, моноклинный пироксен (авгит) – 10-12%. Вторичные минералы: роговая обманка – 10-15%, биотит – до 4%; акцессорные: сферен, апатит, магнетит, титаномагнетит. Структура бластогаббротовая, иногда реликтовая обитовая. В составе амфиболитов главную роль играет плагиоклаз (состав неустойчив) – 70-80% и роговая обманка – 20-30%; изредка присутствуют реликты авгита. Структура гранобластовая, немагногранобластовая.

По химическому составу (см.табл. I, ан.1-3) метагабброиды более всего соответствуют среднему составу габбро по Р.Цели, отличаясь большим содержанием глиноэзма и меньшим – полевошпатовой известки и цветного компонента. Спектральными анализами установлены элементы в количествах, превышающих на порядок кларковые для основных пород: кобальт – 0,01% и свинец – 0,003%. Соотношения между метагабброидами и метагипербазитами не установлены. Однако они имеют тесную пространственную связь и близкий состав, что позволяет сделать предположение о принадлежности пород обеих групп к единому математическому циклу. Архейский возраст основных и ультраосновных пород установлен и определяется лишь тем, что они древнее раннепротерозойских гранитоидов куандинского комплекса, приурочены к метаморфическим образованиям чарской серии и никогда в пределах рассматриваемой территории не проходили в расположенные в непосредственной близости отложения удоканской серии.

РАННПРОТЕРОЗОЙСКИЕ ИНТРУЗИИ

К У А Н Д И Н С К И Й К О М П Л Е К С

Куандинский комплекс состоит из гранитоидов двух фаз и жильных образований.

I фаза. Гранито-gneйсы и плагиогранито-gneйсы блокитовые и роговообманково-биотитовые; лейкократовые плагиограниты ($T_1Ft_1Kf_n$)

Гранитоиды I фазы широко развиты в пределах хр.Кодар, где слагают среди архейских образований ряд крупных массивов удлиненной формы, согласных с общим проспиранием вмещающих пород, в редких случаях – пологие изометричные купола до 2-3 км в диа-

Таблица I

Магматических и метасоматических пород

Химический состав

№/П	Интузивные комплексы	Порода	Местоположение	SiO ₂	TiO ₂	Al ₂ O ₃	Fe ₂ O ₃	Рео	MnO	MgO	CaO	Na ₂ O	K ₂ O	Р ₂ O ₅	Sоди.	П.п.п.	H ₂ O	Σ
1	Архейские интузии	Метабазобро	Верховья левого притока р.Июбдан	53,54	0,85	15,11	5,77	4,98	0,12	3,87	8,36	4,69	0,54	0,56	-	0,70	-	98,99
2	То же	"	Левобережье р.Девак	48,68	1,23	16,66	2,17	8,09	0,15	5,92	10,00	2,15	4,50	0,06	0,01	I,00	0,12	100,54
3	"	Перигнат	Среднее течение р.Оргор-Девак	48,06	2,75	12,15	2,20	11,80	0,07	8,63	7,28	4,32	0,85	0,41	0,01	I,25	I,00	99,08
4	"	Дунит	Истоки правого притока р.Девак	43,04	0,37	8,44	2,41	8,54	0,15	30,37	3,59	0,72	0,71	0,07	0,04	I,61	0,34	100,38
5	"	Гранит	Водораздел рек Девак и Окуланыр	42,14	0,20	3,33	1,28	10,00	0,17	39,58	1,51	0,62	0,18	-	-	0,20	-	99,21
6	Раннепротерозой-склон Кумандинский комплекс, I фаза	Платигранит-гнейс	Верховья р.Июбман	63,90	0,30	15,40	1,67	3,37	0,08	2,02	5,18	0,78	0,09	-	0,37	-	99,18	
7	То же	"	Правобережье р.Девак	70,38	0,23	16,77	0,73	1,81	0,03	0,74	2,68	3,21	2,76	0,03	0,01	0,53	0,06	99,97
8	"	Платигранит-гнейс	Левоберегье р.Икбескан	69,90	0,37	15,61	0,25	2,46	0,03	0,94	3,28	2,95	3,24	0,07	0,01	0,68	0,13	99,93
9	"	Гнейсогранит	Верховья левого притока р.Июбман	72,06	0,28	14,21	1,30	2,55	0,03	0,84	2,72	4,40	1,08	0,15	-	0,10	0,07	99,82
10	Кумандинский комплекс, II фаза	Альбитогранит	Правый борт р.Чара, ниже с.Абакадир	67,24	0,30	15,97	1,39	2,44	0,09	1,02	2,15	3,73	4,84	0,07	0,01	-	..	99,35
11	То же	"	Верховья р.Нижнитанакан	68,60	0,40	15,08	0,91	2,33	0,02	0,96	2,63	2,76	5,50	0,10	0,03	0,38	0,04	99,74
12	Раннепротерозой-склон Кумандинский комплекс, I фаза	Альбитогранит	Верховья р.Нижнитанакан	73,29	0,28	12,49	1,49	1,36	0,02	0,36	0,79	3,26	5,28	0,12	Н.Н.	0,26	0,21	99,21
13	То же	Роговосчанко-ю-сититовый гранит	Левый приток р.Анрага	72,16	0,40	12,45	0,28	3,87	0,04	0,32	1,36	2,82	4,75	0,09	0,02	0,51	0,50	99,57
14	"	Биомитовый гранит	Правый сорт р.Наминга	71,78	0,46	13,71	0,72	2,73	0,05	0,60	1,13	3,20	4,40	0,14	-	I,08	0,48	100,49
15	"	То же	р.Келен выше устья р.Бурзина	72,84	0,54	12,45	0,24	3,08	0,05	0,95	0,82	2,76	4,60	0,30	-	0,64	0,11	99,48
16	"	Масокрасный оливиновый гранит	Верховье р.Кемен	73,26	0,42	12,81	0,27	2,46	0,02	0,67	0,69	2,90	4,88	0,30	-	0,71	0,14	99,52
17	"	Лаугольдитовый гранит	Там же	74,70	0,20	12,79	0,33	2,30	0,02	0,51	1,20	2,90	4,70	0,05	-	0,73	0,32	100,50
18	"	Истоки р.Амудиса	Верховье р.Ю.Сакыкан (по Мануиловой, 1960)	74,14	0,17	12,61	0,31	3,35	0,07	0,16	2,61	2,35	4,84	0,12	0,10	0,49	0,08	99,20
19	"	Роговосчанко-биомитовый гранит	р.Кемен выше устья р.Наминга	72,52	0,30	12,49	1,39	2,39	0,05	0,61	2,48	3,05	4,16	0,24	-	0,63	0,12	100,64
20	"	Порфиророговистый гранит	Среднее течение р.Наминга	71,64	0,56	13,37	0,74	3,59	0,05	0,61	2,61	2,79	3,84	0,23	0,02	0,33	0,19	98,86
21	"	Гранодиорит	р.Бол. Июбдан, выше устья р.Сакыкан (по Мануиловой, 1960)	69,66	0,575	13,64	2,19	3,45	0,02	0,92	2,42	3,20	3,40	0,28	-	0,59	0,05	99,38
22	"	Биомитовый гранит	Водораздел рек С.Сакыкан - Аюат (по Мануиловой, 1960)	69,34	0,80	12,91	1,07	2,36	0,09	1,48	4,62	2,76	2,68	0,26	0,14	0,67	0,09	100,22
23	Чукчено-корякский комплекс, II фаза	Гранит	Правый борт р.Кебекан	71,52	0,29	13,32	0,43	2,82	0,03	0,78	0,96	2,80	6,00	0,23	0,02	0,32	0,07	99,67
24	Позднепротерозойский комплекс, I фаза	Габбро-диабаз	Водораздел рек Ю.Сакыкан и Г.Кургана	50,20	1,05	14,34	3,70	10,40	0,22	5,74	9,22	2,50	1,16	0,19	0,04	0,82	0,34	99,92
25	Позднепротерозойский комплекс, II фаза	Гранит	Верховья р.Пон.Тора	65,36	0,30	17,35	1,49	1,78	0,06	0,79	4,47	5,44	1,99	0,05	-	-	-	99,08

Продолжение табл. I

Числовые характеристики по А.Н.Заварзину

№ п/п	а	б	с	в	г	а:с	и ¹	т ¹	а ¹	с ¹	п
1	II, 05	21, 98	4, 69	62, 28	2, 13	2, 33	30, 19	44, 34	-	25, 47	93, 75
2	II, 40	26, 60	5, 10	55, 90	14, 10	2, 20	37, 70	37, 20	-	25, 10	42, 10
3	5, 98	29, 20	2, 52	52, 30	12, 12	2, 30	29, 49	45, 90	-	24, 61	85, 00
4	2, 10	52, 50	3, 60	41, 80	24, 00	0, 60	83, 32	16, 67	-	0, 01	60, 60
5	1, 16	60, 47	1, 11	37, 26	28, 90	1, 05	85, 75	13, 72	-	0, 52	90, 90
6	12, 48	9, 46	4, 81	73, 25	15, 65	2, 59	36, 95	49, 26	-	13, 76	91, 55
7	10, 91	7, 50	3, 18	78, 41	31, 82	3, 40	15, 85	30, 01	54, 14	-	63, 70
8	11, 20	5, 80	4, 00	79, 00	31, 50	2, 80	25, 70	46, 10	28, 20	-	58, 20
9	12, 00	5, 00	3, 00	79, 00	32, 00	4, 00	23, 00	58, 00	19, 00	-	85, 00
10	15, 02	6, 36	2, 57	76, 05	19, 49	5, 84	26, 59	56, 38	-	17, 02	54, 05
11	14, 04	4, 06	3, 03	78, 87	25, 63	4, 60	33, 60	64, 00	-	2, 40	43, 30
12	14, 42	3, 20	0, 91	81, 47	32, 89	15, 80	18, 00	79, 30	2, 70	-	48, 50
13	12, 10	10, 70	1, 50	75, 70	25, 60	8, 00	4, 50	34, 10	61, 40	-	47, 30
14	13, 10	5, 00	1, 30	79, 60	31, 60	10, 00	16, 40	51, 00	32, 60	-	52, 50
15	12, 30	6, 70	0, 30	80, 70	35, 80	41, 00	23, 50	47, 10	29, 40	-	47, 60
16	13, 80	5, 20	0, 30	80, 70	34, 60	43, 60	20, 20	46, 90	32, 90	-	47, 50
17	12, 50	4, 90	1, 40	81, 10	32, 60	5, 40	15, 80	64, 40	19, 80	-	46, 40
18	14, 30	3, 50	0, 30	81, 30	32, 50	49, 30	19, 80	51, 70	28, 50	-	51, 30
19	11, 80	4, 60	2, 30	81, 30	32, 70	5, 10	7, 40	75, 00	-	17, 60	42, 00
20	12, 60	5, 00	2, 30	80, 10	32, 60	5, 40	19, 80	57, 00	-	13, 20	52, 80
21	12, 10	5, 35	3, 14	79, 41	32, 65	3, 90	18, 50	77, 33	4, 52	-	52, 60
22	11, 90	7, 00	2, 60	78, 50	32, 80	4, 65	21, 30	73, 80	-	4, 90	58, 00
23	10, 20	6, 00	5, 50	78, 30	31, 20	1, 85	42, 50	55, 20	-	2, 30	60, 90
24	14, 50	4, 80	1, 00	79, 70	29, 40	14, 50	25, 40	62, 50	11, 10	-	41, 20
25	7, 20	28, 30	6, 00	58, 50	3, 50	1, 20	34, 50	47, 10	-	18, 40	76, 10
26	15, 03	5, 51	4, 20	75, 26	16, 26	3, 57	23, 75	52, 50	-	23, 75	80, 74

метре. Они образуют также многочисленные мелкие согласные и субсогласные тела и поля мигматитов на всей площади развития пород архея. Для описываемых гранитоидов характерна невыдержанность состава и структур, их зависимость от характера вмещающих толщ. Резко выражена гнейсовидность пород, лишь в центральных частях крупных массивов появляются участки пород массивного сложения. Массивы насыщены складками вмещающих образований; внутри них часто сохраняются фрагменты пластов кварцитов или тел архейских метагаброидов. Контакты массивов с вмещающими породами расщеличевые; граници их часто проведены условно.

Наиболее широко распространены биотитовые и роговообманково-биотитовые гранито-гнейсы и плагиогранито-гнейсы. Они имеют светло-серую окраску, средне- и крупнозернистое строение, гнейсовидную, иногда очковую текстуру и непостоянный состав. Плагиоклас (от андезина № 36 до олигоклаза № II) составляет 40–60%, кварц – 25–45%, темноцветные – 5–10%, микроклин – от 30% в гранито-гнейсах до 0–6% в плагиогранито-гнейсах. Структура пород гранобластовая или гетерогранобластовая.

Лейкогранитовые плагиограниты редки и слагают лишь массив, расположенный у северной границы района в междууречье Бол. Торы и Сакуаныра. Это белые или розовато-серые пятнистые мелко-средне-зернистые породы с характерными линзовидными выделениями кварца. Их состав: кварц и плагиоклаз, присутствующие примерно в равных количествах, темноцветные (роговая обманка) – не более 2–3% и лишь на участках с пятнистой текстурой – до 10%; иногда присутствуют гиперстен или диопсид, а близ горизонтов гранатовых и высокоглинизистых пород содержится до 5% граната или сильиманита. Структура пород гранулитовая. Аксессорные минералы для всех гранитоидов: орбит, сфен, циркон, монацит, апатит, магнетит.

Данные химического анализа подтверждают разнородность состава гранитоидов первой фазы. Плагиогранито-гнейсы наиболее крупных массивов относятся к породам нормального ряда, пересыщенным кремнеземом и бедным щелочами; отмечается почти полное отсутствие калия; резко повышенное содержание глиноэма (см. табл. I, ан. 6, 9). В мелких телах увеличивается роль калия, наблюдается устойчивое преобладание железа над магнием (ан. 7, 8).

Перечисленные особенности гранитоидов I фазы позволяют говорить об их метасоматическом и палингненном происхождении.

II фаза. Очковые гнейсовые граниты и грано-сиениты ($\text{I}_2\text{Pt}_1\text{f}_n$)

Гранитоиды II фазы образуют два массива. Один расположен в приструйевой части р. Сулумат и ограничен разломами, второй — на левобережье р. Ильбман и ориентирован почти параллельно структуре вмещающей архейской толщи. Контакты нечеткие и сопровождаются зонами развития очковых гнейсов шириной до 3–5 км.

Очковые гнейсовые граниты — светло-серые или розоватые породы. На фоне их среднезернистой основной ткани выделяются порфироблочьи микроклина (до 1–2 см), вытянутые вдоль плоскостей гнейсивности. Состав: кварц — 25–30%, иногда до 60%, микроклин — 25–50%, плагиоклаз (олигоклаз, олигоклаз-андезин) — 20–30%, биотит и роговая обманка — 5–10%. Граносиениты (встречается редко) отличаются повышенным содержанием микроклина (до 70%) и пониженным — кварца (до 10%). Аксессорные минералы те же, что в гранитоидах первой фазы. Структура пород бластогранитовая, гранобластовая, гетеробластовая, порфиробластовая. Химический состав гнейсивидных гранитов II фазы близок составу щелочноzemельного гранита по Р. Дэли. В отличие от гранитоидов I фазы, в них наблюдается примерно равное содержание калия и натрия (см. табл. I, ан. I–IO, II).

Геохимическая характеристика гранитоидов I и II фаз куандинского комплекса однакова. В количествах, на порядок превышающих клярковые для кислых пород, присутствуют никель — 0,01%, кобальт — 0,006%, титан — 1%, свинец — 0,03% — элементы, обычно содержащиеся во вмещающих толщах. Иногда повышенное содержание лантана — до 0,01% и ниобия — 0,003%.

Жильная фаза. Пегматиты ($\rho\text{Pt}_1\text{f}_n$)

Пегматиты встречаются повсеместно среди архейских образований и гранитоидов куандинского комплекса, в которых слагают согласные или секущие жилы мощностью от 0,1 до 5 м и протяженность до нескольких десятков метров с четкими, иногда расщепленными контактами, а местами образуют пегматитовые поля. Пегматиты имеют крутое и гигантозернистое строение, состоят из микроклина и кварца, часто содержат биотит и магнетит, иногда — ортит, монацит или турмалин. С пегматитами связано редкометальное оруденение, иногда они содержат до 0,007% ниобия и до 0,30–0,67% редких земель (данные химических анализов).

Гранитоиды куандинского комплекса в пределах площади листа 0–50–ХХIX воздействуют на архейские образования, а данные радиологических анализов указывают на их раннепротерозойский возраст. Анализ биотитов из гранито-гнейсов и пегматитов района дал цифры в 1254, 1600, 1791, 1853, 1900 и 2280 млн. лет (калий-аргоновый метод, лаборатория ВАГА). По ортиту из пегматита на правобережье р. Бол. Горы определен возраст 1900 млн. лет (свинцовый метод, определение А.И. Тугаринова). В пределах региона возраст аналогичных гранитоидов определяется в основном в интервале 1800–2000 млн. лет, в среднем — 1950 млн. лет (Горелов, 1967).

Что отвечает граните нижнего и среднего протерозоя. На смежных территориях куандинские гранитоиды проникают в основание Удоканской серии нижнего протерозоя и прорваны раннепротерозойскими гранитоидами чуйско-Кодарского комплекса (Глуховский, 1968 и др.). В связи с указанными данными возраст гранитоидов принимается раннепротерозойским. Тем не менее, в пределах Чарского поля не исключено присутствие и более древних, архейских гранитоидов, на что указывает радиогеологический анализ ортита свинцовом методом из пегматитовой жилы на хр. Кодар — 2640 млн. лет (Салоп, 1967). Однако архейские гранитоиды подверглись интенсивной переработке куандинскими гранитоидами, сохранились лишь в редких случаях в виде реликтовых образований и откартированы быть не могут.

Учитывая скомплексный характер этих гранитоидов, основываясь на собственных наблюдениях о соотношении гранитов, принимая во внимание факт региональной утечки аргона из решетки биотита, а также спорность концепции о генетической связи ортитовых пегматитов с гранитоидами, Е.П. Миронюк (1966) относит их вслед за Л.И. Салопом (1958) к архейским образованиям.

Чуйско-Кодарский комплекс

Чуйско-Кодарский комплекс представлен интрузиями двух фаз.

I фаза. Граниты биотитовые и роговообманково-биотитовые, крупнозернистые, порфировидные; эндоконтактовая фация: граниты мелко- и среднезернистые ($\text{I}_1\text{Pt}_1\text{c}_n$), гранодориты ($\text{I}_1\text{Pt}_1\text{c}_n$)

Гранитоиды I фазы слагают Кеменский и Кодарский массивы — части крупного Кодаро-Удоканского лополита (Федоровский, 1967,

II фаза. Граниты биотитовые, двуслюдянные, лейкократовые мелко- и среднезернистые (T_2Pt_1Ch) имеет форму, несколько вытянутую в широтном направлении. Контакты с вмещающими породами резкие, неровные. Северный контакт круто падает в сторону от массива, но благодаря крупным послойным апофизам в отложения Удоканской серии, наклоненные на юг, создается ложное впечатление падения контакта под массив. Западный контакт погружаются полого. К югу и востоку массив продолжается за пределы района. Кодарский массив (восточная часть) расположен вдоль западной границы района.

Городы I фазы представлены крупнозернистыми, часто порфировидными гранитами; в Кеменском массиве преобладают биотитовые, в Кодарском - роговообманково-биотитовые разности. Окраска гранитов светло-серая, розовато-серая; в зонах повышенной трещиноватости граниты приобретают красный цвет. Переходы к эндоконтактным разностям постепенные, изредка - резкие. В пределах Кеменского массива в эндоконтактах развиты преимущественно мелко- и среднезернистые биотитовые и двуслюдянные граниты. В его северной части, а также в приконтактовых частях Кодарского массива, присутствуют гибридные крупнозернистые порфировидные гранодиориты. Ширина эндоконтактовой зоны от нескольких километров до 300-400 м, местами с вмещающими породами граничат непосредственно крупнозернистые граниты. В эндоконтактах породы Удоканской серии интенсивно ороговикованы и скарнированы.

Крупнозернистые порфировидные граниты содержат до 15% вкрапленников микроклина размером до 3 см. Главные минералы: микроклини - 40-45% (включая вкрашенники), плагиоклаэ (олигоклаз № 14-24) - 20-30%, биотит и роговая обманка - 5-8%; акцессорные: циркон, апатит, сфен, ортит, итюльчанит, рутил, рудные (магнетит, ильменит, пирит, итрититанит). Граниты эндоконтакта отличаются мелко-среднезернистым строением, присутствием вкрапленников кварца (до 1 см), а также наличием мусковита и флюорита, который иногда обособляется в прожилках. В гранодиоритах количество темноцветных минералов возрастает до 10-15%, количество микроклина сокращается до 20-25%; плагиоклаз здесь более основной (олигоклаз-андезин № 28-30). Среди акцессорных несколько больше апатита и сфена.

Граниты I фазы представляют собой породы, пересыщенные алманием и кремнеземом и богатые шелочами (см. табл. I, ан. 12-21). Калий в них обычно преобладает над натрием, реже эти элементы присутствуют в равных количествах. Это различает гранитоиды чуйско-кодарского и куандинского комплексов. В гранодиоритах увеличивается роль магния и натрия (ан. I-22, 23).

Граниты II фазы образуют небольшие штокообразные массивы в бассейне р. Икабекан и один более крупный - на водоразделе рек Сантияж и Ниурунгнакан. Они прорывают толщи чарской и Удоканской серий, а на смежных территориях - граниты I фазы. Контакты с вмещающими породами резкие, секущие. Граниты розовато-серые или серые, мелко- и среднезернистые. Минеральный состав: микроклин - 23-40%, плагиоклаз (от альбит-олигоклаза № 10-12 до олигоклаза № 22-23) - 20-30%, кварц - 30-35%, биотит и мусковит - 3-7%; акцессорные минералы: сфен (до 1%), монацит, циркон, ортит, апатит, турмалин, магнетит. Эти породы, как и граниты I фазы, пересыпаны алюминием и кремнеземом и богаты щелочами; калий в них преобладает над натрием (см. табл. I, ан. 24).

Дильные образования - граниты, аplitы и пегматиты (иногда с турмалином) - встречаются в основном в эндоконтактах гранитных массивов в виде жил мощностью до 1,5-2 м и протяженностью до десятков метров. На геологической карте жилы не нанесены. Местами гранитоиды рассечены тонкими сульфидно-кварцевыми и баритовыми прожилками с халькопиритом, молибденитом, галенитом.

Гранитоиды чуйско-кодарского комплекса содержат несколько повышенные содержания ниобия - 0,003-0,01% и иттрия - 0,003-0,1%. Во флюоритовых прожилках количество иттрия достигает 0,3%; встречаются цирконий, гаплит и иттерий в количестве до 0,003%. В гранитах I фазы изредка присутствуют гнездообразные скопления чистого графита размером до 1,5 м.

На площади листа гранитоиды чуйско-кодарского комплекса прорывают отложения Удоканской серии и перекрывают верхнепротерозойскими и средне-верхнепротерозойскими отложениями. В районе оз. Ни-Чатка аналогичные граниты перекрыты среднепротерозойскими отложениями тепторгинской серии (Салол, 1964). Раннепротерозойскому возрасту комплекса соответствуют и массивные определения возрастата гранитоидов (по биотиту, калий-аргентовый метод, лаборатория ВАТа). В районе работ для гранитов Кеменского массива получены цифры 1720, 1926 и 1958 млн. лет, на отдельных площадях - в среднем 1850 млн. лет при разбросе от 1683 млн. лет до 2070 млн. лет (Горелов, 1967). Эти цифры отвечают верхам нижнего, граните нижнего и среднего протерозоя.

ПОЗДНЕПРОТЕОЗОЙСКИЕ (?) ИНТРУЗИИ

Д о р о с с к и й к о м п л е к с

Габбро-диабазы, габбро и диабазовые порфириты
(vF_3^d)

Дайки основного состава прорывают все архейские и нижне-протерозойские образования, включая гранитоиды чуйско-кодарского комплекса. Они прямолинейны, прослеживаются на 3–4 км, имеют крутые резкие ровные контакты. Мощность даек – от 0,5–1 м до 100 м. Центральные части наиболее крутых даек представлены среднезернистыми габбро, перидилические – габбро-диабазами. Маломощные дайки сложены габбро-диабазами, изредка – диабазовыми порфиритами. Минеральный состав: плагиоклаз (лабрадор) – 45–50%, моноклинный пироксен – 45–50%, магнетит – до 5%. В базовых порфиритах вкрашены представлены плагиоклазом и пироксеном. Структура – габбровая, габбро-офитовая, офитовая, участками микролегматитовая, в диабазовых порфиритах – порфиророгая. По химическому составу габбророги доросского комплекса более всего соответствуют базальтам по Р.Дэли (см.табл. I, ан.25).

О возрасте габбророги доросского комплекса, для которого принят условно верхнепротерозойский возраст (Федоровский, 1967), на плоскости листа имеется лишь факт прорывания их палеозойскими гранит-порфиритами. Севернее аналогичные габбророги по данным Е.П.Миронюка (1966б) прорывают верхнепротерозойские отложения и перекрываются кембрийскими; здесь они выделены в верхнепротерозойский торский комплекс.

ПАЛЕОЗОЙСКИЕ ИНТРУЗИИ

С а к у н с к и й к о м п л е к с

Сакунский комплекс представлен многофазными интрузиями гранитоидов, развитыми в основном к югу и востоку от района работ. На плоскости листа отмечено лишь несколько небольших тел III фазы комплекса и серия жильных пород кислого состава.

III фаза. Роговообманковые граниты и гранодиориты
($\text{t}_{\text{d}}\text{F}_2$)

На хр.Кодар имеется шесть штокобразных тел гранитоидов III фазы сакунского комплекса, приуроченных к зонам северо-восточ-

ных и субмеридиональных разломов. Контакты их с породами архея и раннепротерозойскими гранитоидами крутие, резко секущие, иногда эрозивные. Тела сложены роговообманковыми круто- и среднезернистыми порфировидными гранитами и гранодиоритами. Вкрашенники микроклина достигают 3–5 см и составляют 7–15% объема породы. В породах преобладает плагиоклаз (олигоклаз № 27 – андезин № 39) – до 50%; кварца – 15–25%, микроклина – 20–25%, роговицанки – 5–15%. Аксессорные: сфеен, апатит, циркон, магнетит, флюорит. Структура гидроизоморфозернистая. В эндоконтактах зернистость пород несколько уменьшается; в зонах экзоконтакта шириной 20–50 м породы фельдспатизированы, окварциованы, местами пиритизированы и прорваны кварцевыми жилами. По химическому составу гранитоиды сакунского комплекса соответствуют нормальнym гранитам, в которых натрий преобладает над калием (см. табл. I, ан.26).

Жильная фаза представлена образованиями двух этапов. К первому относятся жилы гранитов и аplitов, развитые в основном близ массивов и внутри них. Они невелики и на геологической карте не показаны. Жильные проявления второго этапа представлены гранит-порфиритами, гранодиорит-порфиритами, кварцевыми порфиритами ($\text{t}_{\text{d}}\text{F}_2$). Преобладающая ориентировка даек второго этапа северо-восточная, контакты вертикальные или наклонные, прямомильнейные, резкие. Мощность даек – от 0,5 до 10 м, протяженность – до 100 м. Породы, слагающие эти дайки, состоят из вкрашенноков кварца, плагиоклаза, роговой обманки и микроклина и кварцевого патогенного основной массы. Структура пород порфировая с аллотриоморфозернистой основной массой.

С проявлениями палеозойского магматизма связаны кварцевые жилы (q), часто с микроклиновой оторочки, тяготеющие к телам палеозойских гранитоидов. На отдельных участках они имеют преимущественно северо-западное простирание и пологие падения, на юго-запад – ориентированы в различных направлениях. Мощность жил – 0,1–0,3 м, в единичных случаях – до 12 м. Иногда встречаются кварцевые и микроклин-кварцевые штоки. С жилами и штоками связаны рудная минерализация (золото, серебро, пирит, галенит, иногда молибденит).

Определение возраста гранитоидов одного из массивов III фазы (в верховых р.Бол.Торы) дало цифру в 252 млн. лет (камп-арговый метод, вал, лаборатория ВАГА). К юго-востоку от территории листа 0–50–ХХХ породы сакунского комплекса прорывают отложения верхнего протерозоя и нижнего кембрия и присутствуют в виде гальки в конгломератах средней-верхней юры (Федоровский,

Сулуматская антиклиналь прослеживается в субмеридиональном направлении на 20 км от низовья р. Сулумат на южный склон хр. Кодар, где она срезана разломом и погружена в днище Верхне-Чарского грабена. В ядре антиклинали выходят наиболее древние горизонты несмуринской толщи; вдоль оси ее протягиваются согласные тела раннепротерозойских гранито-гнейсов, а на юге развит пологий мигматитовый купол размером до 3 км в поперечнике. Крылья Сулуматской антиклинали, имеющие размах до 15 км, сложены породами давачанской и несмуринской свит. Восточное крыло крутое, местами открученное на восток, обычно не имеет дополнительных складок. Западное крыло круто падает на запад-северо-запад и осложнено мелкими линейными коробчатыми складками. Горизонты магнетитовых кварцитов давачанской свиты, выходящие на крыльях Сулуматской антиклинали, позволяют проследить контуры этой структуры в днище Верхне-Чарского грабена. Эти горизонты четко выражены на аэромагнитной карте в виде кругих и резких положительных аномалий (рис.3). Они обра-зуют две параллельные полосы, сливающиеся на юге, что указыва-ет на замыкание антиклинали в долине р. Чары.

Нижний структурный ярус представлен структурами складчатых глубоко метаморфизованных и гранитизированных образований чарской серии архея. Он слагает Чарский выступ, в пределах которого расположена северная половина территории листа. Структуры нижнего комплекса на значительной площади устанавливаются, исходя из ориентировки полосчатости пород. На северо-востоке района соответствия ориентировки полосчатых текстур залеганию толщ подтверждается прослеживанием горизонтов магнетитовых кварцитов, гранатодержащих и высокоглиноzemистых кристаллических сланцев. В местах интенсивной гранитизации структурный план архейских образований обычно сохраняется, но в единичных случаях осложнен мелкими пологими куполами мигматитов и гранито-гнейсов куандингского комплекса.

В пределах изученного района представлен фрагмент крупного, сложно построенного антиклиниория субмеридионального простирания. Протяженность его на площасти листа - 40 км; далее к северу он прослеживается больше чем на 50 км. Ширина антиклиниория 60-70 км. Ядро его расположено в бассейне рек Ниж-Сакукан и Сакукарь и, в отличие от довольно просто построенных крыльев, имеет сложное складчатое строение. В его пределах выделяется серия субмеридионально ориентированных складок второго порядка: Сулуматская и Нижне-Сакуканская антиклинали и Лево-Сакуканская и Сакуканьская синклинали.

ТЕКТОНИКА

Территория листа 0-50-ХХIХ принадлежит западной окраине Алданского щита. В ее пределах выделяются фундамент, платформенный чехол и структуры эпиплатформенного орогена (рис.2).

ФУНДАМЕНТ ЭПИРАННЕПРОТЕРОЗОЙСКОЙ ПЛАТФОРМЫ

Фундамент эпирауннепротерозойской платформы состоит из двух структурных комплексов.

Нижний структурный комплекс

С запада к Сулуматской антиклинали примыкают куполообразно расположенные Лево-Сакуканские Саку-Канырско-Синклинальные складки, вытянутые в меридиональном направлении, причем ось Лево-Сакуканской синклинали несколько смешана к востоку. Обе складки сложены породами давачанской свиты и маркируются горизонтами магнетитовых кварцитов. Это - крупные линейные синклинали, асимметричные, участками опрокинутые на восток. Парники складок плавно ундулируют. Равнам крыльев 4-5 км. Западные крылья более кругие, имеют наклон 75-85° на восток и на запад (в опрокинутых частях структур). Восточные крылья наклонены на запад под углами от 55° до 70°. Осложняющие линейные и брахиформные складки размером не более 1,5 км в поперечнике наблюдаются лишь в южной части Лево-Сакуканской синклинали в ее ядре. Вдоль крыльев прослеживаются суб-согласные тела метагаббройдов.

Нижне-Сакуанская антиклиналь, сопряженная с описанными складками на западе, ориентирована в северной части субмеридионально, а на юге постепенно приобретает юго-западное простирание. При этом отмечается виагация оси складки с появлением побочной ветви субширотного направления. Парнир постепенно погружается на север. Протяженность антиклинали - 35 км, размах крыльев - 10-15 км. На юге антиклиналь сре-

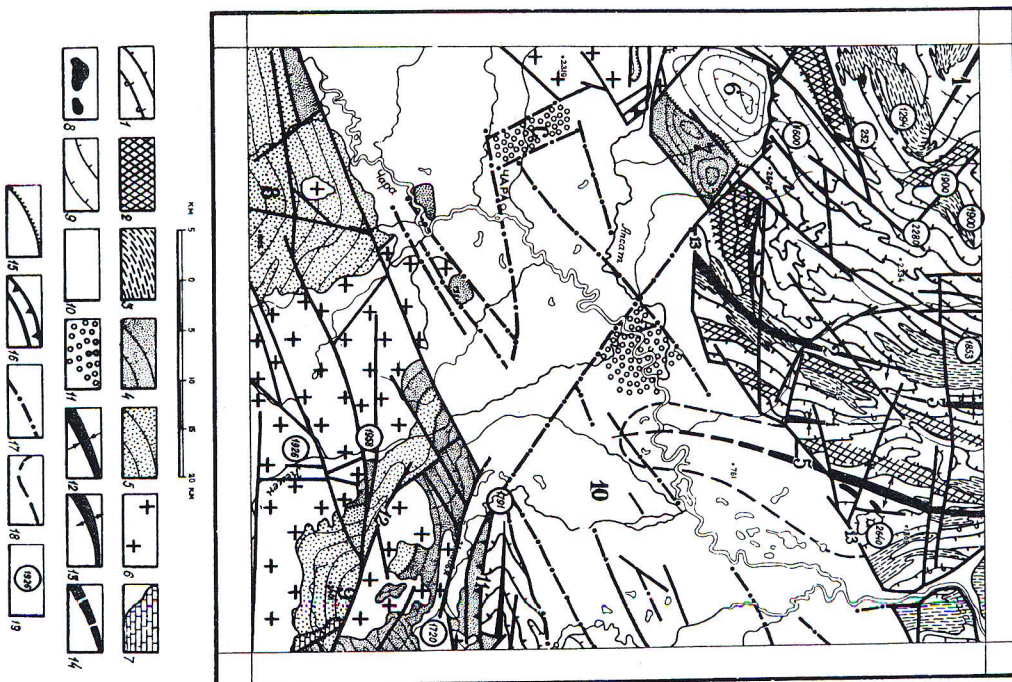


Рис.2. Тектоническая схема

Фундамент эпиранингерозойской платформы: 1-3 - нижний структурный комплекс: 1 - архейский кристаллический фундамент; 2 - метаморфические или изоклинальные складки, местами осложненные про-дольными и брахиформными складками; 3 - зоны, переработанных раннепротерозойской гранитизацией, - гранитно-гнейсовые и мигма-тиевые купола (линии с бергштрихом - простирание и направление падения); 2 - зоны насыщенных кристаллического комплекса телами архейских (?) метабазитов и метагипербазитов; 3 - согласные массивы гранито-гнейсов раннепротерозойского этапа ремобилизации пород фундамента; 4-6 - первичный структурный комплекс: 4-5 - брахиформные, реже - линейные складки нижнепротерозойских отложений Улуканской серии (линии с бергштрихом - простирание и направление падения), обрации с тальком; 4 - ижайской, бу-тиской свит (терригенно-глинистая и карбонатная формации); 5 - сакунской свиты ("терригенная формация"); 6 - раннепротеро-зойские интрузии гранитоидов Чумско-Кондурского комплекса; 7 - чеколзильская система разломов; 8-10 - кайно-платформенный прогиб, выполненный рыхлыми терригенными отложениями; 8 - штокобразные тела палеозойских гранитоидов сакунского комп-лекса; 9 - редкие мезозойские угленосные впадины (линии с бергштрихом - простирание и направление падения); 10 - кайно-зойский грабен, выполненный рыхлыми терригенными отложениями; 11 - максимальное погружение блоков внути грабена. Прочие знаки: 12-14 - оси склонов; 12 - синклиналь, 13 - антиклиналь, 14 - предполагаемых (по геофизическим данным) под рыхлыми отло-жениями; 15 - границы крупных тектонических подразделений; 16 - разломы (трехугольниками показано направление падения плос-кости смещения); 17 - разломы, потребовавшие под рыхлыми отло-жениями; 18 - контуры горизонта магнитовых квадратов в же-хайзойского грабена (по геофизическим линиям); 19 - данные радиометрических определений возраста горных пород.

Структуры (на склонах): 1 - Игбанская антиклиналь, 2 - Ниж-Неб-Сакунская антиклиналь, 3 - Сакунанская синклиналь, 4 - Лево-Сакунанская синклиналь, 5 - Суммагская антиклиналь, 6 - Апсатская мульда, 7 - Быкинанская мульда, 8 - Намингская синклиналь, 9 - Сельва-Улуканская синклиналь, 10 - Верхне-Чар-ский грабен, 11 - Икамский сброс, 12 - Бурягинский разлом, 13 - Ики-Бодарский разлом. Опущенные блоки внутри Верхне-Чар- ского грабена: А - Усть-Апсатский, С - Средне-Сакунанская

зана разломом, ограничивающим Верхне-Чарский грабен. В своде антиклинали выходят породы несмуринской толщи, в которых залегают массивы гранито-гнейсов куандинского комплекса; в южной части свода наблюдаются многочисленные преимущественно согласные тела архейских метагаббройдов. Крылья сложены давачанской свитой.

Юго-восточное крыло, сопряженное с примыкающими синклиналями, круто наклонено на юго-восток. Осложняющие мелкие складки редки. Более сложна морфология северо-западного крыла. В целом оно наклонено на запад-северо-запад, а в верховых р. Сагуакны осложнено зоной интенсивных мелких складок разнообразной формы — от изоклинальных до коробчатых и брахиформных, продольных и поперечных. Образование этой зоны, по-видимому, является отголоском формирования поперечной Игбоманской синклиналии, расположенной непосредственно западнее.

Западное крыло антиклинария шириной более 20 км сложено однородной толщей имантгрской-халаканской нерасщепленных свит. В его пределах наблюдаются главным образом северо-западные падения; изредка отмечаются продольные симметричные или изоклинальные линейные осложняющие складки. На северо-западе района крыло антиклинария осложнено поперечной Игбоманской синклиналью. Ось ее прослеживается в пределах района с северо-запада на юго-восток на 12 км; шарнир резко воздымается в этом направлении. Размах крыльев — около 15 км. Крылья наклонены к оси под углами 50–70°. В области юго-восточного замыкания складки развиты мелкие сложные деформации. В ядре и на крыльях располагаются согловные массивы раннепротерозойских гранито-гнейсов.

Восточное крыло антиклинария в пределах районах работ имеет ширину не более 15 км. Оно сложено имантгрской свитой, моноклинально наклонено на восток, а местами опрокинуто. Изредка встречаются осложненные линейные складки с размахом крыльев до 2–3 км. Широко развиты согловые массивы гранито-гнейсов куандинского комплекса.

На юго-востоке, в пределах хр. Удокан, в структуре фундамента выделяется широтная антиклиналь протяженностью в 15 км и шириной 7–10 км. Шарнир складки резко воздымается к востоку. Углы падения ее крыльев крутые (60–85°). Южное крыло оборвано Икабийским сбросом, северное скрыто под покровом Верхне-Чарского грабена.

С архейским кристаллическим комплексом связаны архейские (?) интрузивные и раннепротерозойские метасоматические образования. Согловые короткие линзовидные тела образуют метагипабазиты. Маломощные, но протяженные тела метагаббройдов являются

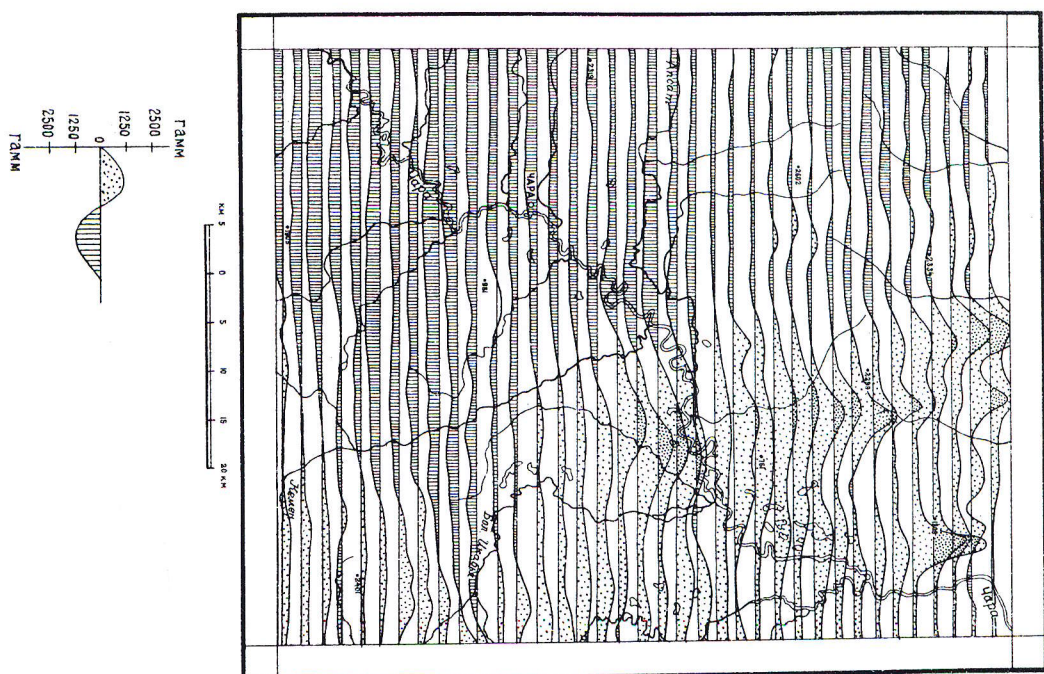


Рис. 3. Карта магнитных полей
(по Суденикову, 1959г.)

слабо секущими по отношению к крутым складчатым структурам, но на значительных отрезках залегают согласно с вмещающими кристаллическими сланцами и гнейсами, повторяя мелкие изгибы их структур. По-видимому, метагипербазиты и метагабброиды являются об разованиями, по возрасту близкими времени складчатости архейских толщ. Вместе с тем, они насыщают лишь отдельные зоны повышенной проницаемости (см. рис. 2). Согласные массивы раннепротерозойских гранитоидов обычно имеют нечеткие контуры. Приложенности к определенным элементам складок не отмечается, хотя массивы часто залегают в ядрах антиклиналей. Формирование этих гранитоидов – результат ремобилизации пород архейского фундамента в раннем протерозое.

Верхний структурный комплекс

Верхний структурный комплекс, отражающий протоплатформенный этап развития района (Лейтес, 1965), представлен преимущественно терригенными отложениями удоканской серии нижнего протерозоя, слагающими структуры Кодаро-Удоканского прогиба. Южная половина района охватывает северное крыло прогиба. Верхний структурный комплекс характеризуется широким развитием пологих спокойных брахиформных складок. Линейные деформации появляются лишь близ некоторых разрывов. Несогласное налечение верхней, сакуканской, свиты на подстилающие бутунскую и александровскую не оказывает существенного влияния на строение прогиба. На хр. Удокан выделяются Северо-Удоканская и Намингская синклинали. Антиклинальный перегиб между ними и частично крылья синклиналей уничтожены Кеменским массивом гранитов.

С е в е р о - У д о к а н с к а я с и н к л и н а л ь

несколько вытянута в северо-западном направлении, протяженность ее – 30 км, ширина – 20 км. Ядро синклинали сложено отложениями сакуканской свиты с почти горизонтальными ($3-5^{\circ}$) или пологими ($5-25^{\circ}$) залеганиями. Близ оси складки проходит крупный Бургундинский разлом. Ближе крыло синклинали уничтожено Кеменским массивом гранитов. Северное крыло представлено достаточно полно. В его строении участвуют отложения от икабийской до бутунской свит. С севера крыло ограничено Икабийским сбросом, по которому границит со структурами архейского комплекса. Близость фундамента определяет некоторые особенности морфологии северного крыла. Часть его, примыкающая к структурам архейского основания, имеет широтное простирание с крутыми ($60-75^{\circ}$) падениями

на юг. В этой зоне, шириной около 2 км, развиты линейные и изоклинальные складки высшего порядка. К югу осложняющие складки исчезают, а углы наклона крыла выполняются до $40-50^{\circ}$, а далее до 20° . На востоке северное крыло синклинали осложнено пологими изгибами и мелкими пологими брахиоскладками.

Н а м и н г с к а я с и н к л и н а л ь расположена юго-западнее Северо-Удоканской. В пределах площасти листа находится лишь ее северное крыло, сложенное в основном породами сакуканской свиты. Строение крыла моноклинальное с падением в южных румбах под углами $10-30^{\circ}$, иногда до $40-60^{\circ}$. С востока на запад наблюдается постепенный изгиб слоев со сменой простираний от северо-западных на юго-западные. Крыло нарушено серией разломов. Осложняющие мелкие складки появляются лишь в приразломных зонах.

На хр. Кодар от размыва сохранилась одна структура – Б и й – И и н с к а я М У л ь д а . Она имеет нечетко выраженное северо-восточное простирание оси и почти со всех сторон ограничена разломами. Протяженность ее по длинной оси – 10 км, ширина – 5 км. Ядро мульды сложено пологозалегающими породами инырской и аянской свит и осложнено пологим куполообразным перекимом. Борта, сложенные в основном икабийской свитой, также характеризуются пологими залеганиями ($5-20^{\circ}$) с небольшими изгибами слоев. Вдоль разлома, обрамляющего мульду с юго-востока, наблюдается осложненная крутым линейная антиклиналь северо-восточной ориентировки с размахом крыльев в 1,5-2 км.

Сравнение мощностей трех нижних свит удоканской серии в пределах Северо-Удоканской синклинали (3000 м) и в Быкинской мульде (1700 м) позволяет предположить о существовании в северо-западной части Кодаро-Удоканского прогиба зоны относительно-го поднятия.

В строении верхнего структурного комплекса принимают участие крупные Кеменский и Коларский массивы гранитоидов. Они дислокированы по отношению к структурам удоканской серии и представляют, по-видимому, части огромного лополитообразного тела, описанного В. С. Федоровским (1967, 1968).

С наиболее ранней эпохой развития, включая протоплатформенный этап, связано заложение важнейших разломов северо-восточно-го ($30-60^{\circ}$), субширотного, субмеридионального и северо-западного ($300-310^{\circ}$) простираний. Большинство из них является долгоживущими. Наиболее древними структурными плоскими являются зоны проницаемости, насыщенные телами архейских (?) метагабброидов и метагипербазитов. Две таких зоны субмеридионального простирания,

ния приурочены к сюда антиклиниория и расположены на крыльях осложняющих его складок второго порядка. Одна зона субширотного направления приурочена к участку вигтации оси Нижне-Сакуканской антиклинали. Такие же зоны наблюдаются на западном крыле антиклиниория. Разломы протерозойского заложения трассируются зонами альбитизации, дайками позднепротерозойских габброидов и некоторыми другими признаками.

Протерозое время заложения наиболее четко устанавливается для субширотных разломов. На хр.Кодар к ним относится сеть крупных разрывов, пересекающих долины рек Сакуканы, Девак и Чары близ северной границы района. Протяженность их достигает 30 км. По этим разломам наблюдаются горизонтальные смещения (до 1 км) пластов магнетитовых кварцитов, архейских метагабброидов и раннепротерозойских гранито-гнейсов. Параллельно разломам прослеживаются протяженные дайки позднепротерозойских габброидов. Амплитуду вертикальных перемещений по этим разломам можно установить лишь приблизительно; обычно она не превышает 0,5–1 км. На хр.Удокан к этой группе относится несколько крупных разломов, в том числе Икабийский сброс и Бурунгинский разлом. Икабийский сброс прослеживается на 15–16 км вдоль правого борта долины р.Бол.Икабья. Плоскость его наклонена к югу под углами 60–75°. Опущено южное крыло, сложенное икабийской свитой. В северном крыле выступают архейские образования. Величина вертикального перемещения более 1000 м. Сброс омоложен в кайнозое и является рельефообразующим. Бурунгинский разлом проходит по долине р.Бурунга. Это – прямолинейный кругопадающий разлом субширотного простирания, сопровождающийся серией опироящих широтных трещин. Южный (подденный) блок сложен песчаниками сакуканской свиты; северный – гранитами чуйско-кодарского комплекса с ксенолитами пород средней подсерии удоканской серии. Величина вертикального перемещения – 2500–3000 м. Плоскость сместителя с зеркалами скольжения круто (80°) падает на север, что свидетельствует о взбросовом характере разлома.

Из нарушений северо-западного простирания наиболее крупным является разлом, разделяющий архейские и нижнепротерозойские образований. Он прослеживается на хр.Кодар и предполагается в цоколе Верхне-Чарской впадины. Плоскость разлома вертикальна. Опущен юго-западный блок. Величина вертикального смещения – несколько тысяч метров. С севера разлом пересекает мезозойскими отложениями. Северная его ветвь омоложена в кайнозойское время.

О наличии протерозойских субмеридиональных и северо-восточных разломов свидетельствуют позднепротерозойские габброиды.

ЧЕХОЛ ЭПИРАННЕПРОТЕРОЗОЙСКОЙ ПЛАТФОРМЫ

Чехол эпирланнепротерозойской платформы развит лишь на крайнем юго-востоке района. Он представлен верхнепротерозойскими карбонатными отложениями, с резким несогласием и разрывом наложены на породы сакуканской свиты и граниты Кеменского массива и полого (до 10–15°) наклоненными на северо-восток под влиянием глыбовых деформаций.

С т р у к т у р ы э п и п л а т ф о р м е н н о г о о р о г е н а выражены трещинными интрузивными телами, наложенными впадинами и грабенами, возникшими в результате тектонической активизации в палеозое, мезозое и кайнозое.

Палеозойская активизация привела к возникновению в пределах хр.Кодар штокобразных тел гранитоидов сакунского комплекса. Эти небольшие тела имеют изометричную или удлиненную форму, крутые рутильные контакты и притугощены к северо-восточным, иногда меридиональным разломам.

В мезозойский этап была сформирована впадина, выполненная континентальными угленосными отложениями средней – верхней юры и нижнего мела. Она наложена на подстилающие структурные комплексы. В настоящее время реликты впадины представлены в основном крупной Альсатской мульдой, с трех сторон ограниченной разломами. Морфологически это – крупная изометрическая складка сундучного типа с пологим залегающим (0–10°) днищем и крутыми (50–80°) бортами. Выталкивание слоев от периферии к центру происходит резко. Реликты мезозойского покрова сохранились от эрозии и южнее, где на небольших участках на правобережье р.Альсат мезозойские отложения имеют горизонтальное залегание, нарушенное лишь близ разлома. Наличие мезозойской толщи предполагается также в днище Верхне-Чарского грабена, в его западной части (Зорин, Хилько, 1969).

Мезозойская впадина представляла собой, по-видимому, обширную пологую депрессию широтного простирания, занятую озерно-аллювиальным проточным бассейном. На отдельных участках ее существовали тектонические уступы (по юго-восточному борту Альсатской мульды), о чем свидетельствуют конгломераты промывального типа, развитые в основании толщи. Расколы в фундаменте обусловили флексуруобразные изгибы мезозойских отложений и привели к формированию Альсатской мульды.

Одно из проявлений разрывной тектоники мезозойского этапа – надгиг в верховьях р. Бычки, ограничивающий Апсатскую мульду с севера. По нему архейские образования надвинуты на угленосную толщу. Надвиг имеет субширотное простирание с падением на север под углами от 30 до 60° и прослеживается на 7–8 км. Минимальная величина вертикальных перемещений по надвигу – 200–300 м, но, возможно, она значительно больше.

Кайнозойский этап тектонической активизации характеризуется образованием Байкальского сводового поднятия и обрушением участков земной коры, расположенных в центральной части свода. Район работ расположен в осевой части этого свода, где, начиная со средне-четвертичного времени, происходило образование глубоких грабенообразных депрессий и окружающих их горных хребтов. Площадь листа 0–50-ХХI находится в пределах выступов хребтов Кодар и Удокан и разделющего их Верхне-Чарского грабена, в формировании которых важную роль играли северо-восточные и субширотные разломы.

Выступ хр. Кодар не образует четко ориентированной горной цепи и имеет асимметричную форму. Его водораздел резко смешен в сторону Верхне-Чарского грабена. Это свидетельствует о максимальной интенсивности глыбовых перемещений в зоне, примыкающей к грабену, к которому хребет по мощной зоне Южно-Кодарского разлома обрывается крутым уступом. Понижение хр. Кодар на север происходит плавно. Выступ хр. Удокан имеет северо-восточное простирание. По серии параллельных северо-восточных разломов он ступенчато спускается к Верхне-Чарскому грабену.

Верхне-Чарский грабен выполнен преимущественно раковыми четвертичными отложениями. Протяженность его – 70 км, ширина – 25–30 км. Северо-восточная ориентировка грабена обусловлена разломами соответствующего простирания, сочетающимися с субширотными нарушениями. В восточной части грабена значительную роль приобретают меридиональные разломы. Зона максимального погружения днища грабена расположена близ Кодарского горста. Величина вертикального перемещения в узкой зоне соединения грабена с выступом хр. Кодар (Южно-Кодарский разлом) достигает 2500–3000 м. Внутренняя структура грабена неоднородна. По данным гравиметрических и электроразведочных работ читу, проведенных М. В. Ивановым и В. Д. Любалиным, днище грабена состоит из крупных тектонических блоков с различными глубинами залегания фундамента. Выделяются два наиболее погруженных блока: Усть-Апсатский и Средне-Саку-канский, разделенные перекаткой (см. рис. 2). О мощности рыхлых

отложений внутри грабена нет единого мнения. По первому анализу данных гравиметрии мощность отложений в максимально погруженном Усть-Апсатском блоке – 1300 м, из них 1000 м – мезозойских угленосных образований (Соловенко и др., 1966). В последней интерпретации тех же материалов (Зорин, Хилько, 1969) глубина залегания фундамента в этом блоке предполагается в 2300 м, при этом также не исключается наличие мезозойских отложений на глубине более 1300–1400 м. Вероятно, мощность рыхлых отложений (1000 м) в оценке этих авторов значительно завышена.

За пределами опущенных блоков глубина залегания фундамента значительно меньше. Это в общем увязывается с геологическими данными, так как здесь на значительных площадях выходят самые древние рыхлые средне-четвертичные отложения, а в наиболее приподнятых блоках выступает коренной покол. Возраст глибовых деформаций, оформивших Верхне-Чарский грабен, определяется как средне-четвертичный и верхне-четвертичный (Лунгергаузен, Муис, 1968). Район сейсмически активен (Соловенко и др., 1966).

Интерпретация аэромагнитной карты

Магнитное поле территории листа неоднородно (см. рис. 3). На большей части площади (в полях развития Илангрской-Калаканской и верхов Давачанской свит архея, Удоканской серии и гранитоидов Чуйско-Кодарского комплекса) оно характеризуется спокойными строительными значениями приращений полного вектора (ΔT) интенсивностью до –750 гамм. На юго-востоке небольшие положительные поля отвечают выходам Сакуянской свиты и гранитов Кеменского массива, однако западнее те же образования характеризуются отрицательными значениями ΔT .

Характер магнитного поля меняется на северо-востоке района, в области развития несмуринской толщи и низов Давачанской свиты архея, где расположена зона устойчивых положительных значений ΔT интенсивностью от 50–100 до 400 гамм. На этом фоне выделяются две протяженные положительные аномалии, отвечающие горизонтам магнетитовых кварцитов: Сакуянская (западная) и Сулуматская (восточная). Они прослеживаются в пределах хр. Кодар в субмеридиональном направлении и имеют интенсивность до 3000 гамм, причем изменение значений полного вектора происходит чрезвычайно резко. Обе аномалии продолжаются на юг, в пределы Верхне-Чарского грабена, однако интенсивность и горизонтальный градиент их несколько уменьшается. Максимальные значения полного вектора здесь +2000 гамм. Это связано с тем, что

магнетитовые кварциты перекрыты цемлом рыхлых отложений, смытых контуры аномалий. В междууречье Кемена и Бол. Икаби аномалии соединяются, отмечая участок замыкания антиклинальной складки. Граница областей положительных и отрицательных полей района резкая. Она проходит в северо-западном направлении и совпадает с зоной разлома, разделяющего структуры архейского и нижнепротерозойского комплексов и скрытого под покровом Верхне-Чарского грабена.

ГЕОМОРФОЛОГИЯ

В горной части района развит преимущественно скользящий рельеф, в Верхне-Черской впадине - аккумулятивный. Внутри этих двух групп типы рельефа выделяются по совокупности генетических, возрастных и общих морфологических признаков (рис.4).

Скульптурный рельеф

В образовании современного рельефа основная роль принадлежит неотектоническим движениям — поднятию Байкальского свода обрушению отдельных участков по разломам. Из экзогенных процессов, сформировавших скульптурный рельеф, до новейших поднятий преобладала денудация, а в дальнейшем — эрозия и эзарация. Геологический фактор не имел особого значения. Некоторое исключение представляет ограниченная площадь развития мезозойских отложений, где сформирован более мягкий рельеф.

на водоразделах в его осевой части. На хр.Кодар реликты ее простираются лишь в северо-восточной части района. Это - пологосклонная поверхность с плоскими или куполовидными возвышенностями, разделенными широкими седловинами и долинами. Амплитуда расщепления - 100-300 м.

Поверхность выравнивания разбита на блоки и перемеждена неразные гипсометрические уровни. Поверхность нижнего уровня (найболее полного) сохранилась наименее полно. На ней вовсю отмечается следы среднечетвертичного ледника: эратические валуны, морена, ледниковая штриховка. Склоны северо-западной экспозиции перекрыты чехлом супесей. Поверхность верхнего уровня (1500-2300 м) в значительной мере уничтожена эрозией.

зий и экзарацией и сохранилась лишь на водораздельных гребнях. Возраст поверхности выравнивания на плюнди листа определяется лишь налеганием на нее среднечетвертичных отложений. Затем ее перекрывают плиоцен-нижнечетвертичные рыхлые отложения (Федоровский, 1968), а к югу и юго-западу — плиоценовые баллы (Буфев, 1967; Музис и др., 1967). Поверхность выравнивания имеет следовательно долиоценовый возраст; данные относительно длительности и этапов ее формирования отсутствуют.

эрозионный среднегорный рельеф представлен реликтами среди более молодого эрозионно-ледникового рельефа в бассейнах рек Сулумат и Большой Икабяя. Формирование его определяется длительными эрозионными процессами на фоне умеренных восходящих движений. Это — рельеф среднегорного типа, хотя более поздними движениями он поднят на значительные высоты (до 1700—2100 м). От него сохранились в основном узкие гребни, видные водоразделы и верхние части склонов долин с наклоном от 5 до 15°. Днища долин переработаны верхнечетвертичной эрозией, однако можно предполагать, что глубина вреза достигала 500—600 м. Местами сохранились верховья пологих V-образных долин и водосборные воронки, причем на южном склоне хр. Кодар они имеют северный, обратный современному, наклон (эти участки на геоморфологической схеме не показаны по условиям масштаба). Древний эрозионный рельеф в смежных районах имеет коррелятивные плиоцен-нижнечетвертичные (Музис и др., 1967; Федоровский, 1968), а на плосадки листа — среднечетвертичные отложения.

В е р х н е ч е т в е р т и ч н ы е з р о з и о н н ы е д о л и н ы . Верхнечетвертичный эрозионный цикл связан с крупной фазой неотектонических движений. На большей части плодородной почвы, сохранились эрозионные долины этого этапа (верховья рек Наминнакан, Нижненакан и их притоки). Профили долин V-образные, хорошо выработанные; крутизна склонов - 10-20°. Глубина эрозионного вреза - до 300 м. Местами это - долины перехвата (верховья р. Нируннакан). Изменение базиса эрозии, вызванное формирование долин, определено тектоническими уступами северо-восточного и субширотного направлений. Возраст долин определяется их врезанием в среднечетвертичную морену и наличием современного вреза в их днище.

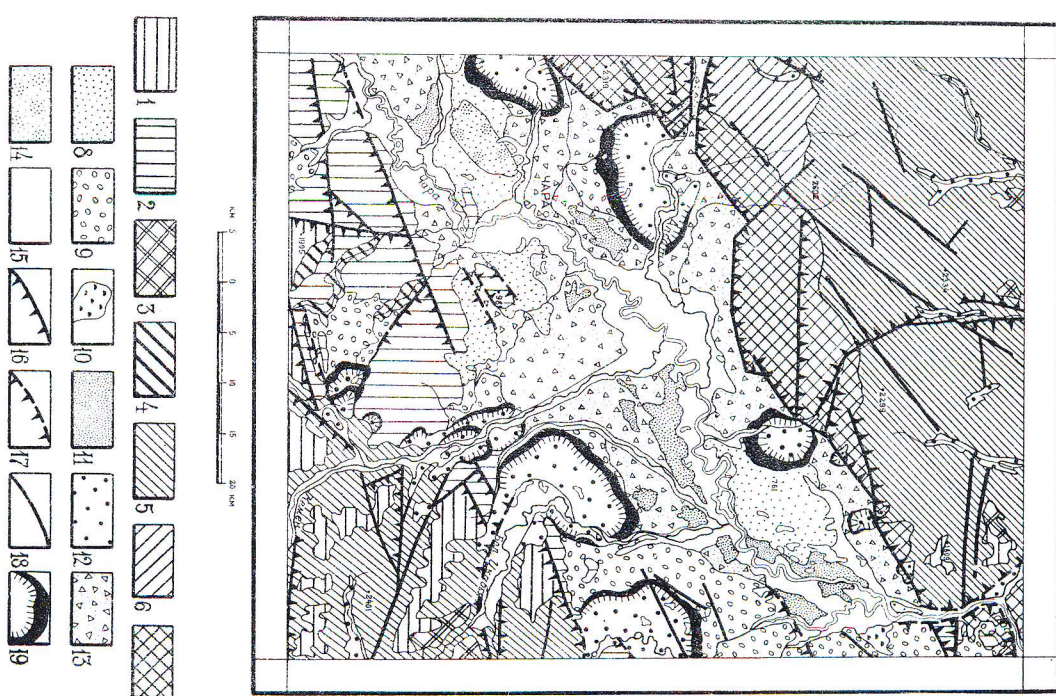


Рис.4. Геоморфологическая схема

1-7 - скользуний рельеф: 1-2 - долинно-балочная поверхность выравнивания: 1 - на abs. отметках 1000-1400 м; 3 - на abs. отметках 1500-2300 м, 2 - на abs. отметках 1000-1400 м;

8-15 - средне-четвертичный эрозионный среднегорный рельеф: 4 - верхне-четвертичные эрозионные долины; 5 - верхне-четвертичный эрозионно-ледниковый высокогорный рельеф альпийского типа;

6-7 - верхне-четвертичный - современный ледниково-эрозионный высокогорный рельеф: 6 - на мезозойских отложениях, 7 - на до-кембрийских образованиях;

8-15 - аккумулятивный рельеф: 8 - средне-четвертичная озяно-аллювиальная равнина; 9 - средне-четвертичная моренная и волно-ледниковая пологохолмистая равнина; 10 - ранне-четвертичная пропилюмально-аллювиальный конус выноса; 11 - поздне-четвертичная аллювиальная равнина; 12 - поздне-четвертичный холмисто-грядовой рельеф конечных и донных морей и волно-ледниковых отложений;

13 - верхне-четвертичные и современные делювиально-противильно-аллювиальные конусы выноса и шлейфы; 14 - современная зодо-вой линно-баранный рельеф; 15 - современная аллювиальная равнина: пойма, высокая пойма, русла рек; 16-19 - прочие обозначения: 16 - эрозионно-тектонические уступы; 17 - эрозионно-тектонические уступы, перекрытые чехлом рыхлых отложений; 18 - выраженные в рельфе разрывные нарушения (уступы, ложбины на водоразделах и склонах, прямолинейные участки долин рек), 19 - передовые уступы конечноморенных валов

В е р х н е ч е т в е р т и ч н ы й з р о з и о н н о - л е д н и к о в ы й в ы с о к о г о р н ы й р е л ь е ф а л ь п и с к о г о т и п а распространен шире других типов скulptурного рельефа. Он характеризуется сильной расщепленностью и ярким проявлением ледниковых форм. Абс. высоты острых гребневидных водоразделов колеблются от 1400 до 2600 м; их превышения над днишами долин – 800–1000 м. Долины прогловые; крутизна склонов – до 30–50°. Боковые долины обычно представлены висячими трогами с караами и цирками в верховьях. Хорошая сохранность ледниковых форм и неизначительное воздействие последующих процессов рельефообразования свидетельствуют о принадлежности данного типа рельефа к эпохе последнего, верхнечетвертого оледенения. Однако, формирование долин, по которым шли ледники, проходило, по-видимому, в начале верхнечетвертого времени, в эпоху межледниковья.

В е р х н е ч е т в е р т и ч н ы й – с о в р е м е н - н ы й л е д н и к о в о – э р о з и о н н ы й в ы с о к о - г о р н ы й р е л ь е ф развит вдоль уступов южного склона хр. Колар на высотах от 800 до 2500 м. Облик его определяется эрозией, меньше – экзарацией в зоне интенсивных тектонических движений. К этому типу рельефа приурочено наибольшее число круговых эрозионно-тектонических уступов. На докембрийских и мезозойских образованиях этот тип рельефа выражен различно. На докембрийских образованиях он характеризуется наибольшей разностностью – узкими гребневидными водоразделами, глубоко врезанными V-образными долинами с подвесенными уступами и каскадами водопадов, крутыми (более 30°) скалистыми склонами. Иногда в верховьях долин имеются небольшие кары и троги. Энергия рельефа – 800–1300 м. Тектонические уступы, обработанные эрозией, имеют круговой наклон, ступенчатое строение и изрезаны многочисленными эрозионными ложбинами. На мезозойских отложениях эти же процессы создали более мягкий рельеф. Водоразделы представлены плоскими платформами с отдельными скальными останцами. Склоны крутизной от 15 до 30° часто имеют ступенчатый профиль. Продольный профиль долин выработан лучше. Несмотря на преобладание эрозионных форм рельефа на южном склоне хр. Колар, отдельные крупные долины имеют четко выраженный троговый характер (долины рек Ник. Сакукаан, Апсат, Мускуннак). Ледниково-эрзационный рельеф начал формироваться одновременно с верхнечетвертным эрозионно-ледниковым рельефом и связан с ним постепенным переходами; отличие его состоит в продолжении интенсивной эрозии в послед-

никовое время в зонах тектонических подвижек. Современный эрозионный этап на оставшейся площади листа выражен лишь в виде локально проявленной донной эрозии и в самостоятельный тип рельефа не выделяется.

АККУМУЛЯТИВНЫЙ РЕЛЬЕФ

Рыхлый материал, выпесенный из горных районов, сконцентрирован в Верхне-Чарской впадине, где развит исключительно аккумулятивный рельеф. Наиболее древние, среднечетвертные, типы аккумулятивного рельефа отвечают времени заложения впадины; современные указывают на погружение впадины в наименее время.

С р е д н е ч е т в е р т и ч н а я о з е р н о - а л л ю в и а л ь н а я р а в н и н а – наибольшие площади занята на левобережье р. Ниж. Сакукаан, вокруг ур. Лески и на междуречье Кемен – Намынгнакан. Она имеет пологобугристую поверхность, местами сильно размыту. На северо-востоке Нижне-Сакукаанского поля на поверхности равнины много термокарстовых западин, занятых озерами; здесь же присутствуют следы золовой переработки: дюны, округлые золовые бугры. Над уровнем современных водотоков равнина возвышается от 15 до 80 м.

С р е д н е ч е т в е р т и ч н а я м о р е н н а я и в о д н о - л е д н и к о в а я п о л о г о х о л м и с т а я р а в н и н а обрамляет с востока Верхне-Чарскую впадину. Меньшие поля она образует на западе, в предгорьях хр. Удокан и у подножья хр. Колар. Поверхность равнины плоская с отдельными увалами высотой в 10–20 м при ширине 300–500 м. К центральной части впадины равнина оканчивается пологим уступом высотой до 100 м. На значительных участках рельеф снивелирован чехлом супесей. Многочисленные мелкие разрывные нарушения образуют прямолинейные ложбины, иногда – уступы высотой 10–25 м. Этот тип рельефа относится к эпохе среднечетвертного оледенения, так как имеет древний облик и четко отличается от горно-долинных форм моренных накоплений верхнечетвертного возраста.

Р а н н е в е р х н е ч е т в е р т и ч н ы й п р о л ь - в и а л ь н о - а л л ю - в и а л ь н ы й к о н у с в ы н о - са небольших размеров присутствует в районе устья р. Курут-Урях. Его плоская поверхность наклонена к р. Чара под углом 1–3°. К поиме он образует уступ высотой 4–5 м, местами размытый.

П о з д н е в е р х н е ч е т в е р т и ч н а я а л л ю - в и а л ь н а я р а в н и н а в перимитиальной области

центральных частей Верхне-Чарской впадины образует террасу высотой от 4 до 10 м. Поверхность равнины плоская или пологобугристая. В понижениях (часто термокарстовых) располагаются озера. На северо-востоке района на поверхность равнины наложены золовые формы в виде диффлюзионных борозд двух направлений (20° и 70°).

Поздненеरечевые речевые холмы и долинные морени в одиночных отложенных развитии по периметрии Верхне-Чарской впадины и по долинам крупных рек в горных областях. Более пересеченной является поверхность конечно-моренных валов, менее — лессовых морен и водно-ледниковых отложений. Размеры конечно-моренных валов иногда очень велики; к окружающей равнине они обрываются крутыми уступами высотой до 60–100 м. Внутренние части валов состоят из моренных гряд и холмов; глубокие понижения между ними заняты озерами. В виде прямолинейных ложбин и уступов на поверхности морен фиксируются современные малоамплитудные разрывы.

Верхнечетвертичные и современные наносы делятся на альбино-аллювиальные копоны в южной части и шелейфи почти сплошной целью обрамляют Верхне-Чарскую впадину, достигая иногда ее центральных частей. Поверхность их наклонена под углами от $1-2$ до $5-10^{\circ}$ к осевой части впадины и имеет струйчатый рисунок из-за многочисленных ложбин, образованных временными водотоками.

Современный эоловый дюнино-барочный рельеф создан в результате перевешивания среднечетвертичных озерно-аллювиальных песков в ур. Лески. Это — пустынный рельеф незакрепленных песков. Барханы высотой до 30 м образуют цепи, ориентированные в северо-западном направлении и разделенные межгородьями понижениями. Крутые ($30-35^{\circ}$) склоны барханов — северо-восточные, пологие ($5-15^{\circ}$) — юго-западные. Направление ветров, сформировавших барханы, — юго-западное и юго-западное. На пологих склонах барханов расположены языковые дюны, ориентированные выпуклой стороной на северо-восток. В результате раздувания дюн образуются бугристые пески. Поверхность песков покрыта мелкой золовой ракицей.

Современная альбино-зональная равнина (пойма, высокая пойма и русла рек) прокрученена в основном к долине р. Чара, где ширина ее достигает 5 км. В основном это — равнина высокой поймы ($2-3$ м) плоская с большим количеством проток и старых. Этому типу рельефа принадлежат минимальные отметки (630 м). В горной части долины рек имеет неширокие русла; пойма иногда полностью отсутствует. На небольших участках по рекам Аксат, Бол. Икабья, Сакуканар и Бол. Тора присутствуют современные надпойменные террасы высотой от 5-6 до $10-15$ м (на геоморфологической схеме на показаны).

ПОЛЕЗНЫЕ ИСКОПАЕМЫЕ

На территории листа 0-50-ХХХ известны проявления горючих ископаемых, черных, цветных, благородных и редких металлов, неметаллических ископаемых, месторождения строительных материалов и выход термальных вод.

ГОРЮЧИЕ ИСКОПАЕМЫЕ

Каменный уголь

Проявления каменного угля на левобережье р. Аксат описаны О.Н. Шаношким (1950ф). Впоследствии здесь проводились поисковые работы на уголь (Болосюк и др., 1962ф). Угленосные отложения слагают мульду, ограниченную разломами. Все крупные угольные пласты приурочены к средней подсвите чепинской свиты.

Проявление (33) расположено в долине правого составляющего р. Быйки, в 3,4 км от его устья. В пачке песчаников и алевролитов мощностью около 90 м залегают три пласти (II, 5; I и 5 м) и несколько мелких линз угля, прослеженные на 15 м (см. рис. I-У). Они имеют субширотное простирание с падением на юг под углами $60-80^{\circ}$. Уголь полуматовый, штриховатый, относится к флюзеновому дюрено-клинеру и является переходным от газовых к жирным. Технический и элементарный анализ бороздовой пробы углей: $w_a = 5,07\%$; $A_c = 9,74\%$; $V_g = 31,9\%$; $C_g = 77,93\%$; $H_g = 4,50\%$; $(N+O)_g = 17,51\%$; $Q = 7299$ ккал/кг. На продолжении этого горизонта (в 2 км к западу) в зоне надвига находится крупная ось углей.

Проявление (34) расположено в верховых первого снизу левого притока р. Быйки, в 3,5 км от его устья. Угленосный горизонтложен на протяжении 2 км. На участке максимального насыщения он состоит из двух угольных пластов мощностью 10,4 и 20,0 м, разделенных алевролитами ($2,5$ м). В 0,8 км северо-восточнее мощность пластов угля сокращается до 9,5 и 5,5 (см. рис. I-У). Среди углей зафиксированы единичные линзы и прослой-

ки (от I-2 до 30-50 см) песчаников и утлисто-глинистых сланцев. Уголь полублестящий, штриховато-полосчатый, относится к фазе-новому дюрено-кларену. По результатам анализа 42 бороздовых проб (Волосюк и др., 1962), содержание золы (АС) – 8, 86-32, 57%, выход летучих (УГ) – 25, 19-35, 51%. В 16 пробах отмечены спекающиеся угли; остальные дают порошок. Неспекаемость объясняется окисленностью углей, что подтверждается более высоким содержанием кислорода и лабораторной влаги (1,0 и 4,95%) в неспекающихся углях по сравнению с содержанием в спекающихся (0,58-1, 25%).

Количество кислорода варьирует в пределах 6, II-16, 25%, водорода – 4, 35-16, 25% и углерода – 78, 1-87, 7%. Неокисленные угли могут быть отнесены к отощенным спекающимся и коксующимся (марки ОС и К2). Масштабы проявлений (33 и 34) и качество углей отвечают промышленным требованиям к сырью для коксования.

С северо-востока на юго-запад мощность и количество угольных пластов сокращаются. Примерно на одном стратиграфическом уровне с углями проявления № 33 обнаружены угольные пласты в верховых первого снизу правого притока р. Байники (см. рис. I-III), где на протяжении 60 м вкrest простирации насчитывается 5 пластов мощностью 0, 3-3 м, прослеженных на 10-20 м. В 500 м к северо-востоку они сокращаются до маломощных пропластков. Угольный горизонт проявления № 34 на юго-западе района замеддается пачкой углисто-глинистых сланцев (см. рис. I-П, III).

МЕТАЛИЧЕСКИЕ ИСКОПАЕМЫЕ

Ч е р н ы е м е т а л л ы

Магнетитовые руды

Магнетитовые руды представлены пластовыми залежами магнетитовых кварцитов и кристаллических сланцев в низах давачанской свиты архея. Они прослеживаются на значительные расстояния, локализуясь в основном на трех участках.

1. В бассейне р. Сакукан, близ северной границы района, насчитывается три железорудных горизонта. Наиболее крупный из них – нижний, прослежен по простирации с севера на юг на 4 км при мощности до 70 м. Проявление (13), приуроченное к этому горизонту, расположено на водоразделе р. Сакукан и ее правого притока. Здесь насчитывается семь рудных залежей магнетитовых кварцитов, три из которых имеют мощность по I м, две – I, 5 и

2 м и две по 5 м. Простижение их субмеридиональное, падение за-падное под углом 50-70°. Химический анализ штучной пробы магнетитовых кварцитов показал валовое содержание оксидов железа 47, 43%, что отвечает содержанию железа 33, 2%. В среднем и верхнем горизонтах содержится около 10 рудных залежей протяженностью до I-2 км при мощности от 5 до 20 м. Состав руд тот же, что в нижнем горизонте.

2. В верховых р. Девак и на левобережье р. Ниж. Сакукан находятся два железорудных горизонта. Проявление № 24 расположено на севере этого участка, в верховых р. Девак. Здесь в составе нижнего горизонта присутствуют 2 залежи магнетитовых кварцитов, прослеженные по простиранию на юг на 5 км при мощности по 10 м каждая. Текстура руд массивная или полосчатая, структура мелкозернистая. Результаты химического анализа бороздовой пробы из нижней залежи: Fe_{2}O_3 – 32, 78%; FeO – 24, 79%; CaO – 0, 42%; MgO – 0, 80%; Al_{2}O_3 – 0, 65%; SiO_2 – 37, 88%. Содержание рудного железа – 42%, фосфора – 0, 8%, серы нет. Степень окисления – I, 7. В 1 км к северу от проявления (24) в этом же горизонте находятся 2 рудные залежи мощностью до 2 м каждая. По данным химического анализа штучной пробы, содержание железа составляет 33, 2%. Проявление (27) расположено на юге участка, в верховых левых притоков р. Чара ниже р. Ниж. Сакукан. Здесь в пределах верхнего железорудного горизонта установлены три залежи магнетитовых кварцитов мощностью 10, 30 и 45 м. По отдельным выходам они прослежены на 2-3 км. Химический анализ двух штучных проб в одном из пластов, взятых на расстоянии 600 м, дал различные содержания рудного железа – 19, 6 и 42, 0%. Весь участок между проявлениями (24 и 27) может рассматриваться как единое рудное поле протяженностью 8-10 км. В современном срезе рудные тела прослеживаются по падению в среднем на 150 м.

3. Мощный железорудный горизонт прослеживается на II км с юга на север от района оз. Арбакалир к устью р. Сулумат; он вскрыт в эрозионном врезе до 1000 м. Проявление (28) расположено в 4, 5 км к северо-западу от оз. Арбакалир. Здесь насчитываются три залежи магнетитовых кварцитов мощностью 4, 80 и 20 м. Текстура руд полосчатая, местами массивная. Содержание магнетита в рудах, по петрографическим данным, составляет 40-50% объема породы, что соответствует содержанию рудного железа около 40%. По данным Е. П. Миронюка, анализ пяти штучных проб из магнетитовых кварцитов этого участка дал следующие результаты: Fe_{2}O_3 от 22, 70 до 35, 72%; FeO – от 9, 71 до 24, 78%; CaO – от 1, 00 до 2, 72%; MgO – от 0, 62 до 3, 03%; Al_{2}O_3 – от

0,25 до 5,84%, SiO_2 - от 44,62 до 52,82%, TiO_2 - от 0,14 до 0,34%. Содержание рудного железа 26,30-30,50%, фосфора не более 0,09%, серы - до 0,045%.

Прогнозные запасы железа на описанных участках, по-видимому, превышают 500 млн.т. По масштабам и содержанию железа они могут представлять промышленный интерес. На остальной площади развития давачанской свиты магнетитовые кварциты образуют лишь маломощные линзы. Л.И.Салоп (1964), Г.Л.Падалка (1953ф) и многие другие обоснованно считают магнетитовые руды чарской серии осадочно-метаморфизованными, однако имеются предположения об их метасоматическом происхождении (Шахов, 1969).

Ц В Е Т Н Ы Е М Е Т А Л Л Ы

Медь

Медное оруденение представлено проявлениями осадочно-метаморфизованного и гидротермального типа. К осадочно-метаморфизованному типу относятся пластины метаморфизованных медистых песчаников и алевролитов Александровской и Сакуканской свит Удоканской серии. На площади листа насчитывается шесть проявлений меди. Проявления (61 и 66) (Гладких и др., 1952ф), (52 и 54) (Щербинин, 1952ф) были обнаружены в 1951 г. Два проявления (55 и 63) выявлены в 1962-1963 гг. (Шульгина и др., 1963ф, 1964ф).

В Александровской свите среди тонкополосчатых метаморфизованных алевролитов, часто известковистых, присутствуют два пласта и маломощные линзы медистых песчаников и алевролитов. Нижний пласт расположен в 130-150 м от основания свиты. Он отмечен на трех участках. Два участка расположены в левом борту долины р.Бол.Икабья в 3,5 и 6 км выше устья р.Сакуан. На первом из них рудный пласт залегает практически горизонтально, прослежен на протяжении 1,5 км и имеет мощность 0,3-0,5 м. На втором участке (63) пласт, протяженностью в 1,5 км, приобретает куптое падение на юго-восток, а мощность его возрастает до 2 м. Третий участок находится южнее, в верховых левых притоков р.Аму-диса (66). Меденосы пласт купто падает на юго-восток и прослежен на 10-15 м при мощности 3,5 м. Верхний пласт встречен лишь на участке проявления (61), где залегает в 70-80 м страграфически выше нижнего. Видимая протяженность его - 700-800 м, мощность - 0,3 м.

На участках проявлений (61 и 63) нижний пласт представлен ороговикованными алевролитами с редкой вкрапленностью и примазками халькопирита, пирита, малахита и гематита. По данным химического анализа, содержание меди в проявлении (61) - 0,38% (штук), в проявлении (63) - 0,52% (бороэловая проба) и 1,71% (штук). Верхний пласт проявления (61) сложен ороговикованными песчаниками с редкой тонкой вкрапленностью и выцветами малахита на плоскостях трещин. По данным химического анализа бороэловой пробы, содержание меди - 0,95%. В проявлении (66) пласт сложен метаморфизованными песчаниками и алевролитами. Руды сходны с оптическими, но отличаются присутствием халькоцина. По данным спектрального анализа, содержание меди - 0,01-0,3%. Из других компонентов характерно повышенное содержание кобальта (0,003-0,03%).

В Сакуканской свите пластины медистых песчаников и алевролитов известны на нескольких стратиграфических уровнях.

Наиболее крупное проявление (55) приурочено к нижней части первой и второй подсвит в верхнем течении р.Ункур. Сакуканской свите представлена здесь грубо чередующимися метаморфизованными песчаниками и алевролитами с подчиненными прослоями железистых песчаников. Простирание толщи меняется с северо-запада на юго-восток от меридионального до юго-восточного с падением в северных румбах под углами от 40 до 70°. Рудопроявление представлено двумя выходами медистых песчаников и алевролитов в правом борту реки; на водоразделе они перекрыты мощным чехлом раках отложений. Первый выход находится в 4,3 км выше устья верхнего левого притока р.Ункур, второй - в 500 м выше по реке. Оба они, повидимому, относятся к одному стратиграфическому горизонту. Мощность рудных пластов западного выхода - 24 м, восточного - 16 м. Рудные минералы: малахит, халькопирит, гематит. Оруденение вкрапленное, гнездовидное и прожилковидное. Структура руд - цементная, колломорфная, концентрически зональная. По данным химического анализа штуков, содержание меди в западном выходе - 0,34-0,89% (9 проб), в восточном - 0,28-2,75% (4 пробы).

Происхождение (52) приурочено к верхней части первой и второй подсвит Сакуканской свиты. Рудный пласт залегает внутри крупного горизонта метаморфизованных алевролитов и песчаников. Он имеет мощность 0,2 м, протяженность - 5-10 м и представлен биотитизированными алевролитами с примазками малахита. По данным химического анализа, содержание меди - 0,25% (штук). С третьей и четвертой подсвитами Сакуканской свиты связано проявление № 54 в бассейне р.Нирунгнакан. Пласт медистых алев-

ролитов и песчаников расположены в 150–200 м от подошвы толщи и

прослежен на 1250 м при мощности 0,5 м. Рудные минералы: малахит, азурит, ковеллин, пирит с кальциевидными включениями халькопирита, магнетит. Содержание меди, по данным химического анализа штуфров медистых алевролитов юго-восточного фланга – 1,2%,

медиистых песчаников центральной части – 1,08%. В песчаниках северо-западного фланга оно падает до 0,06%. Кроме того, в глибах

альбитизированных песчаников химическим анализом выявлено содержание молибдена – 0,108%, присутствует вульфенит и знаки золота.

Все описанные проявления меди не имеют промышленного значения, за исключением участка руч. Ункур (55), перспективы которого не достаточно ясны.

Гидротермальный тип представлен убогой минерализацией в зонах разломов, а также маломощными кварцевыми прожилками с халькопиритом и пиритом, развитыми в основном в пределах гранитных массивов чуйско-кодарского комплекса.

Штиковым отработанием выпущено четыре ореола рассеяния минералов меди. Ореолы № 35 (9 штиков) и № 37 (37 штиков) расположены в пределах хр. Кодар. В штиках присутствуют знаки халькопирита, иногда с галенитом, молибденитом, баритом, флюоритом, а в ореоле № 37 и с арсенопиритом. Ореолы № 47 (9 штиков) и № 53 (7 штиков) расположены в пределах хр. Уокан. В штиках выпущены знаки халькопирита, малахита и азурита в ассоциации с tantalомиабатами, корундом и баритом. В четырех металлометрических ореолах (№ 36, 46, 49, 51) содержания меди колеблются от 0,005 до 0,1%. Источником рассеяния являются медистые песчаники и алевролиты или зоны проявления гидротермальной минерализации.

Свинец

Свинцовое оруденение наблюдается в некоторых сульфидно-кварцевых жилах, связанных с гранитоидами сакунского комплекса, а также в пиритизированных и окварцованных зонах разломов. В жилах и их зальбандах паленит образует гнезда, оторочки или редкую вкрашенность. Большинство этих жил золотоносны и подробнее описаны в разделе "Золото" (6, 8, 10, 38). Содержание свинца в пиритизированных и окварцованных катаклизмах колеблется в пределах 0,1–0,6%. Оруденение этого типа не имеет практического значения. Сульфидно-кварцевые жилы и минерализованные зоны разломов являются источниками рассеяния минералов свинца в восьми штиковых (1, 5, 7, 12, 14, 16, 17, 68) и трех металлометрических

(3, 31, 73) ореолах. Количество штоков в ореолах колеблется от 4 до 65. Штоки содержат знаки галеника, вульфенита, церусита, редко молибденита, золота, тантало-никабатов, халькопирита, барита, базобисмутита, флюорита и кассiterита. Содержание свинца в пробах металлометрических ореолов – 0,02–0,06%.

Благородные металлы

Золото

Первые сведения о золотоносности района приведены Е. В. Павловским (1933). Впоследствии (Гладких, 1951) была установлена золотоносность кварцевых жил и штокверков в междууречье Сутумат – Чара. Проявления золота располагаются в поле развития пород чарской серии и куандинского комплекса, генетически связанны с гранитоидами сакунского комплекса и представлены жилным и штокверковым типами.

Проявление (6) расположено на водоразделе р. Бол. Торы и ее притока р. Игбоман, где на площади 300 м² амфиболиты чарской серии рассечены тремя кварцевыми жилами протяженностью около 10 м и мощностью от 0,1 до 0,2 м. Падение жил – 220°, угол 40°. Кварц содержит гнезда пирита до 4 см в поперечнике. Пробирным анализом X/ в пиритизированном кварце установлено содержание золота 0,4 г/т и серебра 2,8 г/т.

Проявление (8) расположено в правом верхнем притоке р. Бол. Торы, в 3,6 км от его устья. В борту ручья биотит-амфиболовые гнейсы пересечены двумя параллельными микроклин-кварцевыми жилами с пиритом и галенитом. Жилы прослежены на 50 м, расстояние между ними – 0,5 м. Мощность жил – 0,15 и 0,2 м, падение – 10°, угол 10°. Гнезда пирита (редко паленита) размером 2 × 3 см тяготеют к контактам жил. Пробирный анализ кварца с пиритом показал содержание золота 0,4 г/т и серебра 121,8 г/т. Содержание свинца, по данным спектрального анализа, до 1%.

Проявление (10) расположено в верховьях р. Баймы на правом склоне долины реки, в 19,2 км от устья. На участке 200×30 м биотит-амфиболовые гнейсы пересечены несколькими кварцевыми и микроклин-кварцевыми жилами с вкрашенностью и гнездами (1–4 см) пирита с халькопиритом и магнетитом. Две наиболее крупные жилы прослежены на 30 и 7 м, при мощности соответственно 0,25–0,3 м, для штуфных проб.

0,1-0,3 м и падении 290°, угол 45° и 280°, угол 60°. По данным пробирного анализа содержание золота в первой жиле – 5,7 г/т, в

зальбандах второй – 0,1 г/т.

Появление (38) расположено на водоразделе 3-го и 4-го (снизу) правых притоков р.Ниж.Сакукан. Среди кристаллических сланцев и гранито-гнейсов куандинского комплекса на расстоянии 50 м одна от другой залегают две сульфидно-кварцевые жилы мощностью 0,35 и 0,3 м, прослеженные на 5 и 6 м. Падение – 40°, угол 70° и 340°, углом 60°. Кварц пористый, содержит редкую вкрапленность и гнезда пирита, халькопирита и галенита (до 2 см), а также пустоты с дужами полупрозрачного кварца до 3 см в длину. Местами галенит образует приконтактовые оторочки мощностью 1-3 см. По данным пробирного анализа кварца, обогащенного сульфидами, содержание золота – 13,6 г/т, серебра – 20,6 г/т. Последние два проявления могут иметь практическое значение.

Пункты с убитым орудением на этом участке (Шульгина и др., 1964ф; 1965ф) представлены кварцевыми жилами мощностью от 0,1 до 1,5 м и содержанием золота от 0,001 до 0,2 г/т или пиритизированными и окварцованными зонами нарушений, где содержание золота – от 0,005 до 0,05 г/т.

На южном склоне хр.Кодар к зонам разломов и пересечения трещинам приурочены золотоносные жилы, а к участкам пересечения зон субмеридиональных и северо-восточных разломов – штокверки. Появление (29) расположено в верховых (7 км от устья) одного из ручьев в междуречье Ниж.Сакукана – Чары и приурочено к участку соединения субмеридионального разлома и зоны трещиноватости запад-северо-западного простирания. Кварцевый штокверк, местами перекочующий в брекчию, имеет площадь 100 x 200 м. Кварц содержит рассеянную вкрапленность пирита и магнетита, изредка – халькопирита, малахита, галенита и молибдена. Золото, по-видимому, находится в тонкодисперсном состоянии и минералогическим анализом не улавливается. Пробирный анализ (Шульгина и др., 1966ф) показал содержание 0,2 г/т. По данным треста Забайкальзолоторазведка, содержание золота в кварце в окрестностях этого рудопроявления равно 3,4 г/т.

Появление (32) расположено на левом склоне долины того же ручья и на водоразделе его с соседним к северу. Штокверк размежеван (в плане) 1,6 x 0,5 км сложен тектонической брекчией, сформированной микроклинитом и реже кварцем. Рудные минералы представлены магнетитом, образующим густую вкрапленность, вместе с более редкими пиритом, ильменитом и рутилом. Золото минералогическим анализом не обнаружено и находится, по-видимому, в тонко-

дисперсном состоянии. Пробирный анализ двух проб брекции показал содержание золота 0,2 г/т. По данным треста Забайкальзолоторазведка, содержание золота в кварц-микроклиновой породе – 2,5 г/т, а по данным И.Ф.Плаких (1951ф) – 0,3-3,4 г/т.

Опробование кварцевых и кварц-микроклиновых жил в зонах разломов и опирающихся трещин в окрестностях проявлений и в зоне разлома, обрамляющего с севера Верхне-Чарскую впадину, показало присутствие золота в ряде точек в количестве 0,2 г/т. Там же в двух пунктах спектральным анализом установлено присутствие гематита (0,003%), бериллия (0,003%), галия (0,01%).

Учитывая крупные размеры рудных тел и значительные содержания золота, можно предполагать, что штокверковые проявления имеют промышленное значение.

Убогая золотодушная минерализация (0,2 г/т) отмечена местами в кварцовых горизонтах, а также в архейских метатигипербазитах, в которых, по данным пробирного анализа 6 проб, содержание золота варьирует от 0,01 до 0,2 г/т.

Шлиховым опробованием на хр.Кодар единичные знаки золота выявлены лишь в отдельных шликах. На хр.Улокан все предыдущие исследователи указывали лишь знаковые содержания золота и давали району отрицательную оценку. Это подтверждено и последними рабочими (Турчинов и др., 1963ф; Шульгина и др., 1964ф; 1964ф). Лишь на юго-востоке района, в верховых р.Амулакса, обнаружен шлиховой ореол золота № 69 (Турчинов и др., 1963ф), расположенный на площади развития сакуканской свиты вблизи от гранитов чуйско-кодарского комплекса (7 шлихов со знаками золота). Источник рассеяния не установлен. По данным опробования, кварцевые жилы в окрестностях ореола золота не содержат.

В пределах Верхне-Чарской впадины Е.В.Павловский (1933) и Ф.Ф.Тищенко (1950ф) отмечали знаки золота в шликах из аллювия рек Чары и Бол.Икабы. Повторное опробование на всю видимую мощность разновозрастных отложений долины р.Чара золота не выявило.

Р е д к и е м е т а л л ы

Молибден

Единственное проявление молибдена (9) генетически связано с кварцевыми жилами, относительно, по-видимому, к сакуинскому комплексу гранитоидов. Оно расположено в истоках левого составляющего р.Сакуаныр. В нижней части правого склона долины ручья

амфиболовые кристаллические сланцы архея и мелкие тела гранито-гнейсов куандинского комплекса рассечены серией кварцевых прожилков и жил с пиритом. Всего на отрезке в 10 м насчитывается восемь параллельных жил и прожилков мощностью 2–5–7 см, прослеживающихся на 5–10 м; падение их – 170°, угол 60–70°. В одной из жил присутствует молибденит, образующий редкие гнезда (до 2 см) у контактов и в зальбандах. По данным спектрального анализа кварца из этой жильи, содержание молибдена – 0,3–0,6%.

На хр.Кодар и Улокан выявлено еще 17 точек с весьма убогой молибденовой минерализацией (Шульгина и др., 1964ф; 1965ф; Тамбовцев, 1953ф). Все они приурочены к зонам окварцованных и сульфидизированных разломов. По данным спектральных анализов, содержание молибдена в них – 0,01–0,1%. Зоны дробления в гранитах чуйско-кодарского комплекса питают пять шлиховых ореолов (№ 41, 58, 59, 60 и 62), в пределах которых содержатся редкие знаки молибденита вместе с халькопиритом, реже – с асбестопиритом (№ 41), минералами меди, свинца, висмута, ризеритом, флюоритом и баритом.

Из-за малых масштабов молибденовой минерализации все эти проявления, по-видимому, не представляют практического интереса.

Тантал и ниобий

На хр.Кодар и Улокан установлено 12 точек с повышенным содержанием ниобия. В двух точках на хр.Кодар оруденение связано с пегматитами куандинского комплекса, содержащими эвксениит, фергессонит и самарский, в которых химическим анализом установлено 0,0018 и 0,0072% ниобия (Шульгина и др., 1964ф); в трех – с гранитами второй фазы куандинского комплекса (0,003% ниобия), жильями гранитами (0,01%) и микроклин-кварцевыми жилами (0,003–0,01%)^Х сакунского комплекса. На хр.Улокан рудные точки связаны с чуйско-кодарскими гранитоидами, содержащими иттро-титанит, в котором спектральным анализом установлен высокий процент ниобия и иттрия (Туринов и др., 1963ф). Здесь содержание ниобия в гранитах и пегматитах (в пяти точках), по данным спектрального анализа, равно 0,003%. В катаклизированных и фторитоносных гранитах оно повышается до 0,01% (две точки).

Из шлиховых ореолов тантало-ниобатов четыре расположаются на хр.Кодар (№ 2, 15, 18, 23). Количество шлихов в ореолах ко-

леблется от 5 до 18, содержание тантало-ниобатов – редкие знатки. Им соответствуют халькопирит, галенит, вульфенит и молибденит. На хр.Улокан отмечено четыре ореола (№ 43, 44, 48, 50), в которых присутствуют знаки ризерита и минералов группы полирезэвксениита. С ними ассоциируют минералы меди, свинца, золота, молибден, флюорит и барит. Источниками рассеяния для ореолов являются перечисленные выше ниобийсодержащие образования.

Редкие земли

Редкоземельная минерализация в коренных породах представлена пегматитовым, мигматитовым и гидротермальным типами. Все образования, несущие редкоземельную минерализацию циркоевой группы, расположены в поле развития пород чарской серии архея.

Проявление (4) находится в долине правого притока р.Бол. Торы и приурочено к зоне разлома северо-западного простирания, минерализованной на протяжении 2 км. На площади 1,5 км² находятся 4 пегматитовые жилы мощностью от 0,4 до 1,6 м и протяженностью около 10 м, а также около 40 полого и круто падающих

кварцевых (0,1–1,5 м) и карбонатно-кварцевых (до 4 м) жил, протяженностью от первых метров до нескольких десятков метров. В пегматитах, содержащих орбит, по данным химического анализа, сумма редких земель достигает 0,67%, а по данным спектрального анализа присутствуют лантан – 0,1%, гадолиний – 0,1%, иттербий – 0,003–0,01%, иттрий – 0,03–0,1%, гафний – 0,03% и цирконий – 0,3%. Минерализация в кварцевых жилах приводится к редким линзовидным гнездам пирита. Размеры гнезд (в сечениях) – от нескольких квадратных см до 0,15 км². С пиритом ассоциирует халькопирит. Макроскопически редкоземельные минералы не обнаружены. По данным химического анализа двух штуцерных проб, содержащие суммы редких земель – 0,02 и 0,04%. В сульфидизированных участках присутствует золото – 0,06 г/т и серебро – 13,6 г/т.

Проявления (20 и 21) расположены на водоразделе рек Девак и Сакунан и представлены пегматитовыми жилами куандинского комплекса в метагипербазитах (20) и мигматитах (21). В метагипербазитах пегматиты образуют цепь жил, прослеженную на протяжении 1 км. Мощность жил – 1–2 м. В мигматитах на площади 100x200 м² залегают 4 пегматитовые жилы протяженностью 6–15 м и мощностью 0,5–7 м. Рудный минерал представлен монацитом. По данным химического анализа, содержание суммы редких земель колеблется от 0,06 до 0,67%. Спектральным анализом установлено присутствие гафния – 0,01–0,1% и свинца – 0,01%.

Х/ Данные спектрального анализа.

Проявление (25) (в верховьях правого составляющего р. Девак) приурочено к разлому северо-западного простирания протяженностью 8 км. Участок имеет площадь $400 \times 50 \text{ м}^2$ и ориентирован вдоль разлома. На северо-западе участка развита серия маломощных пегматитовых жил, в центре — элювиальные развалы пегматитов и отдельные выходы пегматоидных мигматитов, на востоке — пегматитовая жила, секущая гипербазиты. Эта жила прослежена на 20 м при мощности 2 м и падении 220°, угол 80°. Редкоземельный минерал — монацит, содержание его достигает 3,8 г/т. Содержания других рудных минералов: магнетита — 29,3 кг/т, ильменита — 3,2 кг/т, циркона — 73 г/т. По данным химического анализа, содержание суммы редких земель — 0,40%, свинца — 0,015%. Спектральным анализом установлены содержания гафния — 0,06%, галия — 0,001% и стронция — 0,03%. На северо-западном фланге зоны разлома, в 4–5 км от проявления (25), расположено поле пегматитовых жил, где на площади 1,5 км² насчитывается 5 жил мощностью от 0,5 до 6 м и протяженностью от 6 до 20 м. Редкоземельным минералом в пегматитах, секущих мигматиты, является ортит, а в пегматитах, секущих метатигпербазиты, — монацит, содержание которого достигает 132 г/т. На юго-восточном фланге разлома находится участок площадью 250 х 250 м².

Всего на исследованной территории отмечено 37 пегматитовых жил и пять участков мигматизации, несущих либо существенно редкоземельную (ортит, монацит), либо редкоземельно-тантало-ниобиевую (фергансонит, поликрав-эвксенит) минерализацию. Мощность жил — 0,2–2,5 м; протяженность — от дециметров до нескольких десятков метров. По данным химического анализа, содержание редких земель колеблется в пределах 0,01–0,05% и лишь в одном случае (на водоразделе рек Бол. Торы и Сагуаны) — 2,78%. Редкие земли представлены преимущественно церцевой группой. Изредка присутствует иттрий (0,1–0,3%) и иттербий (0,01–0,03%). Монацитовые и ортитовые пегматиты (и мигматиты) в настоящее время не имеют практического значения.

В гранитах чуйско-кодарского комплекса на хр. Улокан спектральным анализом отмечены повышенные содержания (0,01–0,3%) иттрия во флюорите из разрозненных прожилков (71), в пиритизированных песчаниках и амфиболовых скарнах экзоконтакта массива (0,01–0,03%). Церий (1,0%) и лантан (0,1%) установлены в окварцованных катаклизитах среди биотитовых сланцев икабийской свиты (Шульгиба и др., 1963).

Проявление (25) (в верховьях правого составляющего р. Девак) приурочено к разлому северо-западного простирания протяженностью 8 км. Участок имеет площадь $400 \times 50 \text{ м}^2$ и ориентирован вдоль разлома. На северо-западе участка развита серия маломощных пегматитовых жил, в центре — элювиальные развалы пегматитов и отдельные выходы пегматоидных мигматитов, на востоке — пегматитовая жила, секущая гипербазиты. Эта жила прослежена на 20 м при мощности 2 м и падением 220°, угол 80°. Редкоземельный минерал — монацит, содержание его достигает 3,8 г/т. Содержания других рудных минералов: магнетита — 29,3 кг/т, ильменита — 3,2 кг/т, циркона — 73 г/т. По данным химического анализа, содержание суммы редких земель — 0,40%, свинца — 0,015%. Спектральным анализом установлены содержания гафния — 0,06%, галия — 0,001% и стронция — 0,03%. На северо-западном фланге зоны разлома, в 4–5 км от проявления (25), расположено поле пегматитовых жил, где на площади 1,5 км² насчитывается 5 жил мощностью от 0,5 до 6 м и протяженностью от 6 до 20 м. Редкоземельным минералом в пегматитах, секущих мигматиты, является ортит, а в пегматитах, секущих метатигпербазиты, — монацит, содержание которого достигает 132 г/т. На юго-восточном фланге разлома находится участок площадью 250 х 250 м².

Всего на исследованной территории отмечено 37 пегматитовых жил и пять участков мигматизации, несущих либо существенно редкоземельную (ортит, монацит), либо редкоземельно-тантало-ниобиевую (фергансонит, поликрав-эвксенит) минерализацию. Мощность жил — 0,2–2,5 м; протяженность — от дециметров до нескольких десятков метров. По данным химического анализа, содержание редких земель колеблется в пределах 0,01–0,05% и лишь в одном случае (на водоразделе рек Бол. Торы и Сагуаны) — 2,78%. Редкие земли представлены преимущественно церцевой группой. Изредка присутствует иттрий (0,1–0,3%) и иттербий (0,01–0,03%). Монацитовые и ортитовые пегматиты (и мигматиты) в настоящее время не имеют практического значения.

В гранитах чуйско-кодарского комплекса на хр. Улокан спектральным анализом отмечены повышенные содержания (0,01–0,3%) иттрия во флюорите из разрозненных прожилков (71), в пиритизированных песчаниках и амфиболовых скарнах экзоконтакта массива (0,01–0,03%). Церий (1,0%) и лантан (0,1%) установлены в окварцованных катаклизитах среди биотитовых сланцев икабийской свиты (Шульгиба и др., 1963).

В большинстве шлихов из аллювия присутствуют ортит или монацит. Содержание последнего местами достигает весовых количеств (25–70 г/т). В единичных шлихах на площади развития гранитов чуйско-кодарского комплекса отмечены знаки ксеногенеза.

Металлогеометрическим опробованием выявлено шесть ореолов иттрия. В ореоле № 26 содержание иттрия — 0,01–0,03%. Источниками рассеяния на востоке ореола являются пегматитовые жилы, а на западе — участки окварцевания в гнейсах и гранито-гнейсах, в которых спектральными анализами установлен иттрий (0,01%). Ореолы № 57, 65, 70, 72, 74 расположены на площади развития гранитов чуйско-кодарского комплекса. Обычное содержание иттрия в ореолах — 0,01%, и лишь в ореоле № 74 преобладает содержание 0,03%. Источниками рассеяния являются флюоритовые жилы (№ 70, 74), минерализованные зоны в эндоконтакте гранитов (№ 57) или зоны разломов (№ 65, 72).

НЕМЕТАЛИЧЕСКИЕ ИСКОПАЕМЫЕ

Флюорит

Проявления флюорита представлены маломощными прожилками и жилами кварц-флюоритового, карбонатно-флюоритового и силикатно-флюоритового состава, связанными с гранитоидами чуйско-кодарского комплекса.

Проявление (64) расположено в истоках левого притока р. Бол. Икабяя. Зона трещиноватости северо-западного простирания в породах читкандинской свиты близ Кеменского массива прослеживается на 150 м при ширине 80–90 м. Трешинки выполнены прожилками зеленого и фиолетового флюорита мощностью 1–3 см и протяженностью 10–20 см. На 1 м² приходится от 1 до 5 прожилков.

Проявление (71) находится в лобовой части кара правого сопоставляющего р. Амудиса. В зоне трещиноватости северо-восточного простирания, секущей граниты Кеменского массива, на участке 20 х 4 м располагаются 2 прожилка флюорита мощностью 5 и 8 см и протяженностью 12 и 5 м и густая сеть более мелких. Аз. падения круглых прожилков — 122°, угол 84°. Спектральный анализ флюорита показал присутствие иттрия (0,1–0,2%).

В левом борту левого притока р. Нирунгнан И. А. Турчинов (1964) описал силикатно-флюоритовую жилу мощностью до 20 см. Её состав: флюорит, полевой шпат, кварц, турмалин и мусcovит. Спектральный анализ показал содержание бериллия (0,001%), циркония, галия и иттербия (0,003%).

Флюорит присутствует во многих шлихах из аллювия в районе развития гранитов чуйско-кодарского комплекса, однако максимум шлихов с флюоритом отмечен в верховьях р. Кемен, где выделено два ореола, совпадающих с ореолами молибдена и иттрия. Ореол № 56 включает 52, а ореол № 67 - 22 пробы с флюоритом, содержащие которого в первом - редкие знаки, а во втором достигает высоких количеств. Флюориту сопутствуют моназит, циркон, базальсмутит, золото и барит.

Асбест

Проявления асбеста связаны с телами архейских метагипербазитов, в которых он образует жилы и оторочки. Всего обнаружено три проявления хризотил-асбеста. Проявление (19) (на водоразделе р. Девак и притока р. Сакуканы) представляет собой участок размером 50×10 м с плотностью по 1-2 прожилка мощностью в 0,5-4 см на 1 м². Проявление (22) (на правом склоне долины левого верхнего притока р. Девак) включает четыре жилы, прослеженные на 10 м при мощности от 0,1 до 0,3 м. В обоих проявлениях аз-падения жил равен 160-165°, угол 60-65°. Преобладает белый, иногда с зеленоватым оттенком поперечно-волокнистый эластичный асбест с длиной волокна 5-20 мм. В проявлении (39) (в верховьях первого левого притока р. Аспат) на площади 2,5×6 м отмечается пустая сеть прожилков белого поперечно-волокнистого асбеста с длиной волокна 4 мм (коротковолокнистый), 10 мм (волокнистый) и 60 мм (длинноволокнистый). Преобладают ломкие разновидности асбеста. Спектральным анализом установлено повышенное содержание никеля (0,1%), кобальта (0,01%) и бора (0,003-0,01%). Все проявления не имеют промышленного значения.

Графит

Графит (проявление II) обнаружен К.А.Метцгером (1951ф) на левобережье р. Сакуканы. Среди кристаллических сланцев давачанской свиты и магматитов залегает пластообразное тело графитизированных пироксенитов, круто падающее на запад и прослеженное на 1,5 км при мощности 50-100 м. Ширина графитоносной зоны колеблется от 12 до 90 м при протяженности 1,5 км. Наибольшая концентрация графита приурочена к трещиноватым участкам в пироксенитах. Графит присутствует в виде чешуй размером 4-6 мм (изредка 0,01-1 мм), землистых масс и мономинеральных прожилков мощностью 5-15 см. По данным Г.Л.Паралка (1953ф), содержание графита

фига колеблется от 2,24 до 22,98%, а средневзвешенное - 6,08%. Запасы графита, разведанные по кат. С₂ (Метцгер, 1951ф), определены в 5000 т.

На хр. Удокан, в Междууречье Бол. Икабы и правого притока Кемена, чистый графит наблюдался в гранитах чуйско-кодарского комплекса в виде единичных гнезд диаметром до 1,5 м.

СТРОИТЕЛЬНЫЕ МАТЕРИАЛЫ

В пределах района В.И.Золотухиным (1964ф, 1965ф, 1966ф) выявлены и разведаны Икабекское месторождение кирпичных суглинков, Чарское месторождение песка для штукатурных, кладочных растворов и бетонов и Чаловское месторождение песка-отощителя. Кроме того, в качестве стройматериалов могут быть использованы прочие коренные и рыхлые породы района.

Извещенные породы

В качестве облицовочного камня могут быть использованы мелкозернистые граниты чуйско-кодарского комплекса, отличающиеся значительной крепостью, красивым внешним видом, постоянством структуры породы и крупноблоковой отдельностью (до 0,5 м³). Наибольшие запасы этого материала имеются в верховьях рек Кемен и Бол. Икабы.

Глинистые породы

Суглинки кирпичные

Икабеканско-месторождение (45), разведенное В.И.Золотухиным в 1962-1963 гг., расположено на левобережье р. Икабекан. Оно представлено верхнечетвертичными ледниково-озерными суглинками, залегающими среди водо-ледниковых песчано-галечных отложений на площади 1,5 км². Суглинки горизонтально-слоистые, зеленовато-серые, пластичные, вязкие, без механических примесей, за исключением участков, примыкающих к водо-ледниковым толщам. Средний состав суглинков: глинистых частиц - 15%, пыли - 71,5%, песка - 13,5%. Согласно классификации В.В.Охотина, породы относятся к пшеничным легким, средним, реже - тяжелым суглинкам. По минеральному составу суглинки являются, по-видимому, каолинит-гидрослюдистыми. Максимальная вскрытая мощность толщи - 14,1 м.

Полузаводские испытания показали, что суглики в естественном виде пригодны для производства обыкновенного строительного кирпича марки "75" с температурой обжига 1000°C и отвечают требованиям ГОСТ 830-54. Запасы кирпичных суглинков по промышленным категориям составляют 995 тыс.м³, в том числе по кат. А - 158,8 тыс.м³, по кат. В - 399,9 тыс.м³ и по кат. С1 - 436,3 тыс.м³.

О б л о м о ч н ы е п о р о д ы

Галька и гравий

В качестве материала для изготовления бетонов и балластного сырья могут быть использованы гравийно-песчано-гальечные отложения долины р.Чары и ее притоков. Крупные их залежи имеют мощность до 80-85 м при ширине в плане в несколько километров. Содержание зерен пластинчатой формы в них не превышает 10-15%, а зерен выветреных пород не более 5%; по гранулометрическому составу они относятся к фракциям 5-10, 10-20 и 20-40 мм. Гранулометрический состав гравия и пределы прочности пород удовлетворяют требованиям ГОСТ 8267-56. Таким образом, гравийно-гальечные отложения пригодны для использования в качестве наполнителя тяжелых бетонов, балластного слоя железных и автомобильных дорог.

Пески строительные

Ч а п о в с к о е м е с т о р о ж д е н и е (40), разведанное В.И.Золотухиным в 1965 г., расположено на правом берегу р.Чара, в 2 км ниже устья р.Бол.Икабыя. Оно представлено аллювиальными верхнечетвертичными песками. Длина залежей - 900 м, ширина - от 50 до 100 м. Разведенная мощность песков колеблется от 3 до 9 м и в среднем составляет 5,26 м. По результатам полузаводских испытаний установлено, что песок Чаповского месторождения пригоден для использования в качестве отвального добавки к суглинкам Икабеканского месторождения при производстве обычного кирпича. Запасы песка по кат. В+С1+С2 составляют 240,3 тыс.м³, в том числе по кат. В - 47,1 тыс.м³; по кат. С1 - 185,1 тыс.м³ и по кат. С2 - 8,1 тыс.м³.

Ч а р с к о е м е с т о р о ж д е н и е (42) разведано В.И.Золотухиным в 1961-1964 гг. Оно находится на правом берегу р.Чара, в 4 км ниже устья р.Нирунгнакан. Пески принадлежат к толще озерно-аллювиальных образований среднечетвертичного воз-

раста. Они изучены в уступе высотой до 20 м более, чем на 2 км при ширине 700-1000 м (Золотухин, 1965). Пески имеют однородный квадр-полевошпатовый состав, хорошо отмыты от пыли и имеют незначительное содержание биотита и других цветных минералов. Месторождение разведено на глубину в среднем 15 м. Лабораторно-технологические испытания показали, что песок пригоден для обычных бетонов марки "100", для штукатурных и кладочных растворов марки "75". Для использования песка в производстве силикатного кирпича необходимо дополнительно провести технологические испытания в производственных условиях. В качестве необходимых добавок в шихту с песком следует применять суглиники Икабеканского месторождения и известняк, получаемую при обжиге известняков Чинейского месторождения, расположенного к югу от исследованного района. Запасы песка составляют 6023,6 тыс.м³, в том числе по категориям: А - 418,8 тыс.м³, В - 611,6 тыс.м³, С1 - 4993,2 тыс.м³. За пределами разведенного участка залежь прослеживается к северу на расстояние не менее 5 км.

В тех же целях могут быть использованы аналогичные по качеству пески уроцища Пески в устьевой части р.Ниж.Сакуан, запасы которых очень велики.

ИСТОЧНИКИ МИНЕРАЛЬНЫХ ВОД

В е р х н е - Ч а р с к и й и с т о ч н и к м и н е р а л ь н ы х в о д (30), расположенный на северо-западном берегу оз.Арабакалир, издавна используется местным населением в лечебных целях. В последнее время он неоднократно опробован и описан (Шах, Склиревский, 1964; Чернивская, 1970). Воды формируются в трехноватых гранитизированных кристаллических сланцах архея; выход их приурочен к зоне сейсмотененирующего разлома у подножья хр.Кодар. Минимальный дебит источника - 20 л/сек; зимой возмож но незначительное его увеличение. Выход воды рассредоточен. Максимальная температура воды осенью (+49,5°C), минимальная - зимой (+38,7°C). Состав воды хлоридно-сульфатно-натриевый. Состав вод определяется формулой Курлова:

$$\text{M}_0,41 \text{ SO}_{4,54} \text{ Cl}_{3,3} \text{ Na}_{3,11}$$

(№4К92)

pH = 8,4 (сентябрь 1965 г.). Содержание кремнекислоты колеблется от 40 до 76 мг/л. Присутствуют микроэлементы (мкг/л): фтор - 5,6, свинец - 5, цинк - 50, железо - 3,12. Газовый состав: азот (около 97%), гелий, аргон, кислород, сероводород, метан и

утилекислый газ. По химическому и газовому составу воды относятся к слабоминерализованным кремнистым азотным термам с серово-городом. Балтиеогенетические свойства воды изучены слабо. Категория ресурсов - С₁.

ОБЩАЯ ОЦЕНКА ПЕРСПЕКТИВ РАЙОНА

Из полезных ископаемых района практический интерес могут представить строительные материалы, золото, магнетитовые руды, в меньшей мере - каменный уголь.

Золоторудная минерализация в районе работ и за его пределами генетически связана главным образом с палеозойским сакунским комплексом гранитоидов, что подтверждается выявленными проявлениями. Это позволяет благоприятно оценить перспективность района на золото. Для поисков коренного золота наиболее перспективны участки с проявлениями жильного (6, 8, 10, 38) и штокнеркого типа (29, 32), приуроченные к выходам сакунских гранитоидов на южном склоне хр. Колар и верховых р. Большой Тор. Здесь рекомендуется постановка поисково-съемочных работ масштаба 1:50 000. На россыпь золота район, по-видимому, не перспективен, так как в пределах Верхне-Чарской впадины золото разубожено или сконцентрировано в приплотиковой части на значительных глубинах, в горной части аллювий практически отсутствует. Кроме того, золото, выносимое из коренных проявлений, тонко дисперсное.

На магнетитовые руды наиболее перспективен участок южного склона хр. Колар на северо-востоке района. Остальные участки следует обследовать во вторую очередь с учетом результатов работ, полученных на этом объекте.

Пласти угли, залегающие в средне-верхнеюрских отложениях, имеют значительную мощность и хорошее качество углей. Однако, дальнейшие работы по разведке углей в настоящем время признаны нецелесообразными из-за крутого залегания пластов и тяжелых транспортных условий. Тем не менее, в связи с возрастанием экономических перспектив района, проявления каменного угля могут приобрести промышленное значение.

Несколько остается перспективы района на tantal и ниобий.

Генетический тип проявления tantalа и ниobia (нибо-тантало-редкоземельные пегматиты) сам по себе малоперспективен. Выявленные признаки tantalо-ниобиевой минерализации незначительны, но данные, полученные по смежным территориям, указывают на возможные, полученные по смежным территориям, указывают на воз-

можность выделения Коларо-Удоканского района в качестве новой тантало-ниобиевой провинции. Редкоземельное оруденение, связанное с пегматитами куандинского комплекса, представляет неприменимый генетический тип. Возможна лишь попутная добыча редких земель в случае использования пегматитов, как керамического сырья. Некоторый интерес представляет присутствие иттрия в флюорите.

Все проявления медного оруденения, кроме участка р. Ункур, характеризуются незначительными содержаниями и масштабами медного оруденения. Поисковые работы в масштабе 1:50 000 (Туринов и др., 1963ф, 1964ф) перспективных рудопроявлений меди не выявили. По-видимому, обнаружение новых крупных промыслов меди в описанном районе маловероятно. Проявления свинца, молибдена, флюорита и асбеста не представляют практического интереса в связи с крайне низкими содержаниями и малыми масштабами минерализации. Перспективность проявлений графита неясна.

Район богат различными строительными материалами. Для строительных растворов могут быть использованы пески Верхне-Чарской впадины, запасы которых практически неисчерпаемы. В качестве балластного сырья и материала для изготовления бетона могут быть использованы аллювиальные гравийно-галечные отложения, широко развитые по притокам р. Чара. Для производства кирпича могут служить суглинки Икабекканского месторождения.

Минеральные воды Верхне-Чарского источника после детального исследования и катажа могут быть использованы для лечебных целей.

ПОДЗЕМНЫЕ ВОДЫ

Гидрогеологические особенности района определяются развитием зон разломов и стволной многолетней мерзлотой с долинными таликами. Мощность мерзлоты в Верхне-Чарской впадине - 500-600 м (Некрасов, 1967), а на хребтах Колар и Удокан - 900-1200 м (Некрасов, Шасткевич, 1966). Слой сезонного оттаяния и промерзания - 0,2-3 м.

П о р о в о - п л а с т о в ы е в о ды (надмерзлотные и таликовые) приурочены к рыхлым четвертичным отложениям (рис.5).

Надмерзлотный горизонт имеет мощность до 0,5 м, смешанное питание, промерзает зимой, образуя бугры пучения. Воды ультрапресные, слабокислые, очень мягкие преимущественно гидро-

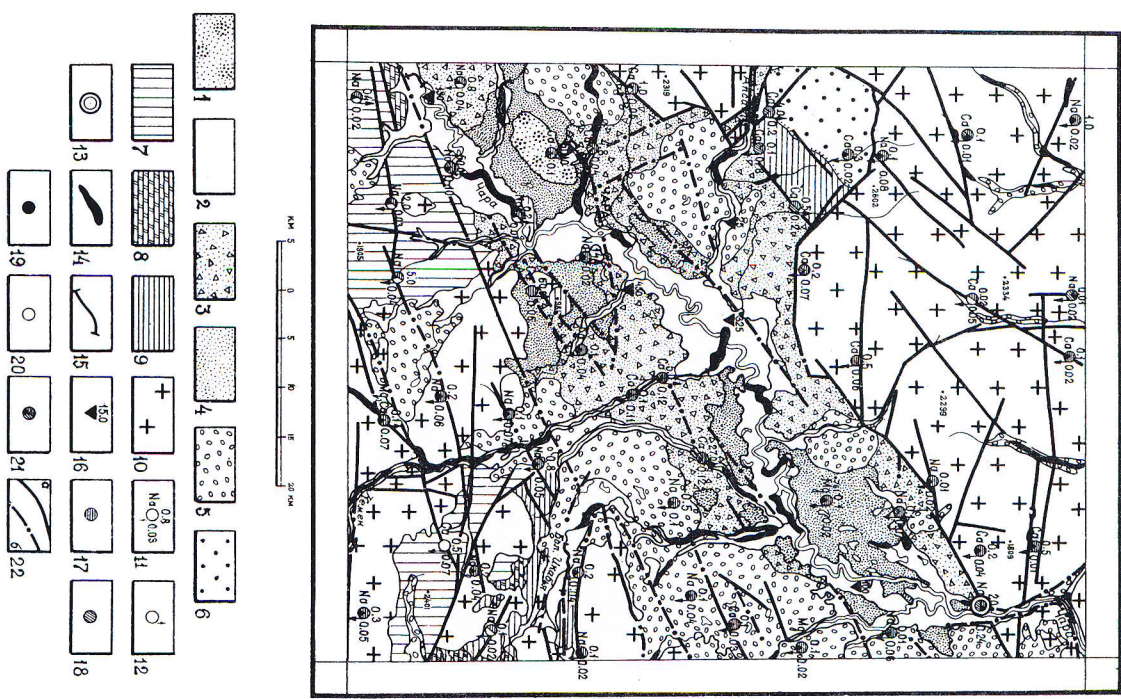


Рис.5. Гидрологическая схема

1-5 - порово-пластовые воды; 1 - дренированный горизонт современных золовых отложений, 2 - водонесущий горизонт современных аллювиальных отложений, 3 - водонесущий горизонт водораздельных отложений, 4 - водонесущий горизонт средне- и зернистоватых четвертичных аллювиальных и озерно-аллювиальных отложений, 5 - водонесущий комплекс средне- и зернистоватых пединовых и вдино-ледниковых отложений, 6-9 - пластово-трещинные воды; 6 - водонесущий комплекс среднерусских-нижнегорловых отложений, 7-9 - воды нижнепротерозойской ульяновской серии; 7 - водонесущий комплекс песчанниковых пород сакулевской свиты, 8 - водонесущий комплекс терригенно-карбонатных пород александровской и бутурлинской свит, 9 - водонесущий комплекс песчано-сланцевых отложений киабийской, янтарной и читинской свит; 10 - трещинные воды - водонесущий комплекс метаморфических пород архея и раннепротерозойских гранитов; II-16 - проявление подземных вод и мерзлоты; II - исходный родник (цифры: вверху - расход, л/с, слева - преобладающий катион, справа - минерализация, г/л), 12 - восходящий родник, 13 - температурный родник; 14 - насыпь; 15 - полынь; 16 - пункт установленной юности мерзлоты, м; 17-21 - химический состав, проявление янтарей: 17 - гидрокарбонатного, 18 - сульфатного, 19 - хлоридного, 20 - азотной кислоты, 21 - силиции; 22 - разломы; а - в коренных породах, б - перекрыты рыхкими отложениями

карбонатные натриевые или кальциевые. Часто в воде одновременно присутствуют ионы аммония и азотной кислоты, содержание которых иногда превышает норму питьевых вод. Температура воды +0,5 - +7,0°C. Дебиты родников не превышают 0,5 л/с., летом падают до 0,01 л/с.

Таликовые воды распространены в днищах долин на площади развития несквозных таликов. Талики имеют непостоянную глубину и промерзают с поверхности на 2,5-3 м. Их воды участвуют в формировании наледей, зимой образуют гидролаккиты и налединые бугры. От надмерзлотных они отличаются повышенной минерализацией, присутствием сульфатного и магниевого ионов, хорошими физическими свойствами и постоянной температурой воды (+1,0 - +1,5°C). Дебиты родников таликовых вод достигают 5 л/с.

При сходных химическом составе и физических свойствах поглощенно-пластовые воды разных водоносных горизонтов несколько отличаются по режиму. Так, водоносный горизонт современных золовых песков дренирован на глубину до 15 м (по данным бурения ЧГГУ). Пески лишь увлажнены, пополнение воды в них происходит за счет атмосферных осадков. Водоносный горизонт современных аллювиальных, преимущественно галечно-песчаных, стложений непосредственно связан с непромерзающими реками и озерами, под которыми развиты талики. В питании этого горизонта большую роль играют подмерзлотные воды. На участках их разгрузки, где мощность аллювия превышает 5 м, концентрируются значительные запасы воды, представляющие практический интерес. Водоносный горизонт верхнечетвертичных и современных промывально-аллювиальных и промывально-делявиальных песчано-валунных или глыбовых отложений имеет большой уклон и пониженное залегание зеркала воды. Горизонт характеризуется неустойчивым режимом, зависящим от атмосферных осадков и режима рек, воды которых являются основным источником питания горизонта. Водоносный горизонт средне- и верхнечетвертичных аллювиальных и озерно-аллювиальных песчаных отложений имеет относительно большую мощность, хорошие коллекторские свойства. Он наиболее благоприятен для накопления крупных запасов воды. При постоянном питании подмерзлотными водами дебиты родников таликовых вод этого горизонта исчисляются в 60 л/с. Это наиболее перспективный на воду горизонт порово-пластовых вод. Водоносный комплекс средне- и верхнечетвертичных ледниковых и водно-ледниковых отложений обводнен слабо, неравномерно и практического значения не имеет.

Плато - террасы (над- и подмерзлотные) формируются в коренных образованиях. Надмерзлот-

ные воды по внешнему проявлению аналогичны водам в раках отложений. Подмерзлотные воды разгружаются в руслах рек, в зонах разломов, где образуют зимой небольшие наледи. К этим участкам приурочены локальные сквозные талики. Режим подмерзлотных вод характеризуется цикличностью. Динамические запасы вод обычно срабатываются к марта месяцу. Температура воды не превышает +2,0°C. В зависимости от характера водоемящих пород выделяется несколько водоносных комплексов, отличающихся по водообильности и химическому составу воды.

Водоносный комплекс среднеюрских - нижнемеловых отложений относительно слабо водобилен. Надмерзлотные воды -ультрапресные слабокислые очень мягкие хлоридно-гидрокарбонатные кальциевые. Изредка встречаются выходы подмерзлотных вод, в их числе - источник воды с сероводородом в левом борту р. Аслат. Вода источника отличается повышенной минерализацией, умеренной жесткостью, сульфатно-гидрокарбонатным кальциевым составом, серым цветом. Дебит источника - 4,0 л/с.

Водоносный комплекс песчаниковых пород сакуканской свиты характеризуется распространением надмерзлотных вод гидрокарбонатного нагреветого состава. Во многих пробах воды преобладает ион азотной кислоты. Единичные выходы подмерзлотных вод комплекса имеют незначительный дебит, их наледи плохо выражены в рельефе.

Водоносный комплекс терренго-кальцитовых пород александровской и бутунской свит распространен локально, дренируется р. Бол. Икабья.

Водоносный комплекс метаморфизованных песчанико-сланцевых отложений икабийской, янтарной, ингерской и читкандинской свит обводнен слабо. Надмерзлотные воды - ультрапресные слабокислые, очень мягкие хлоридно-гидрокарбонатные кальциево-натриевые. Там, где присутствуют карбонатные прослои, воды жесткие, имеют минерализацию 0,8 г/л, сульфатный магниево-кальциевый состав. Родники имеют дебиты не более 0,5 л/с. Встречаются единичные выходы подмерзлотных вод.

Террины вода приурочены к водоносному комплексу метаморфических пород архея и раннепротерозойских гранитоидов и отличаются наиболее постоянным режимом. Гранитоиды и кристаллические сланцы имеют одинаковую вододобильность и объединены в один комплекс, хотя состав их вод различен. Все трещинные воды очень мягкие, слабокислые. Состав воды гранитоидов хлоридно-гидрокарбонатный натриевый. На глинистых же разрывных основных кристаллических сланцах преобладают гидрокарбонатные, реже - сульфатно-гидрокарбонатные кальциевые воды. Минера-

лизация напорных подмерзлотных вод ($0,1 \text{ г/л}$) в 2–3 раза превышает минерализацию надмерзлотных. Температура подмерзлотных вод — $+0,8\text{--}1,5^\circ\text{C}$. Дебиты источников трещинных вод изменяются от долей л/с, для надмерзлотных, до 600 л/с , для напорных подмерзлотных вод. Источники подмерзлотных вод функционируют круглогодично, зимой образуют на реках протяженные полыни и гигантские наледи. Этот водоносный комплекс наиболее перспективен для водоснабжения.

В зоне Южно-Кодарского разлома на глубине около 3500 м формируются слабоминерализованные кремнистые азотные термы с сероводородом. Они выходят на поверхность на северо-востоке Верхнечарской впадины. Верхне-Чарский источник минеральных вод ("Горячие ключи") кратко описан в главе "Полезные ископаемые".

ЛИТЕРАТУРА

О ПУБЛИКАЦИЯХ

- Буффеев Д.В. Геологическая карта масштаба 1:200 000, лист 0-50-XXX. Объяснительная записка. М., 1978.
- Гулуковский М.З. Геологическая карта масштаба 1:200 000, лист 0-50-XXX. Объяснительная записка. М., 1979 (в печати).
- Журлев З.А. Онколиты и катаграфии рифов и нижнего кембрия Сибири. Изд-во АН СССР, 1964.
- Зорин Ю.А., Хилько С.Д. О тектонике Чарской впадины. — Изв. выс. учебн. завед. "Геология и геофизика", 1969, № 2.
- Колесников В.И. Геологическая карта масштаба 1:200 000, лист 0-50-ХШ. Объяснительная записка. М., 1985 (в печати).
- Леитес А.М. Нижний протерозой северо-востока Олекмо-Битимской горной страны. Наука, 1965.
- Лунгерстайн Г.Ф., Музис А.И. Этапы развития Кодаро-Удоканской горной страны. — В кн. Проблемы геоморфологии и неотектоники орогенных областей Сибири и Дальнего Востока. Т. II. Наука, Новосибирск, 1968.
- Мануилова М.М. Петрология гранитолов Кодарско-по-плутону. — Тр. лабор. геол. покембрия, вып. 9, 1960.
- Музис А.И. К вопросу о стратиграфии кайнозойских образований Северного Забайкалья. — В кн. Четвертичный период Сибири. Наука, 1966.
- Некрасов И.А. Владины байкальского типа. — В кн. Многолетнемерзлые горные породы Станового нагорья и Битимского плоскогорья. Наука, 1967.
- Некрасов И.А., Шасткевич И.Г. Некоторые данные о многолетнемерзлых породах хребта Кодар. — В кн. Геокриологические условия Забайкальского Севера. Наука, 1966.
- Никитин Д.В. Предварительный отчет о геологических исследованиях в верхней части бассейна р.Чара. — Изв. геол. ком., № 1, т.37, 1918.
- Павловский Е.В. Геологический очерк района Верхней Чары (Олекмо-Битимская горная страна). — Тр. ВГРО, вып. 271, 1933.
- Равский Э.И. и др. Антропогенные отложения юга Восточной Сибири. Наука, 1964.
- Салоп Л.И. Байкальская горная область. Геологическое строение СССР. Т. I. Госгеотехиздат, 1958.
- Салоп Л.И. Геология Байкальской горной области. Недра, т. I, 1964; т. 2, 1967.
- Слоненко В.П. и др. Живая тектоника, вулканы и сейсмичность Станового нагорья. Наука, 1966.
- Федоровский В.С. Геологическая карта масштаба 1:200 000, лист 0-50-ХХХ. Объяснительная записка. М., 1979.
- Федоровский В.С. Геологическая карта масштаба 1:200 000, лист 0-50-ХХХ. Объяснительная записка. М., Недра, 1985.
- Чернякова К.А. Гидрогеологические условия горячего Верхне-Чарского источника в Прибайкалье. — Изв. выс. учебн. завед. "Геология и разведка", 1970, № 1.
- Шахов Г.П. Магнетитовыеруды хр.Кодар (генезис, структурное положение). Изв. выс. учебн. завед. Геология и разведка № 6, 1969.
- Фондовая
- Волосюк И.Г. и др. Промежуточный отчет о полево-разведочных работах на Читкандинском каменноугольном месторождении и в бассейне р.Апсат, проведенных в период 1961–1962 гг. Фонды Читинского ПГО, 1962.
- Гладких И.Ф. Отчет о результатах полевых работ в бассейне р.Саломат, проведенных Саломатской партией № 154 в 1950 г. Из годового отчета о результатах работ Сосновской экспедиции за 1950 г. Фонды ВМС, 1951.

Гладких И.Ф. и др. Отчет Хани-Икабийской партии № 16 о результатах работ в бассейне рек Бол. и Мал.Икабий, Курунг-Уряха, верховье р.Хани. Фонды ВИМС, 1952.

Горелов Б.Г. Магматические комплексы Коларо-Удомянской горной страны, их металлогенические особенности и анализ в западной части Станового хребта. Фонды объединения "Аэрогеология", 1967.

Давлиандзе Г.К. Геологическое строение и полезные ископаемые левобережья р.Б.Икабия (отчет о поисковых работах, проведенных летом 1952 г. партии № 123 Лесной экспедиции). Фонды ВИМС, 1953.

Денисов И.К. Отчет о результатах геологописковых работ Прьевской партии (№ 351) Снежинской экспедиции в бассейне рек Кемен и Б.Икабия за 1949 г. Фонды Читинского ПГО, 1950.

Дитмар В.Г. Геологическое строение и оруднение "асбестом" центральных частей хр.Улокан (бассейн р.Чиканды). Отчет о геологописковых работах Эймакской партии № 6, произведенных в период с 1 июля 1950 г. по 1 апреля 1951 г. Фонды ВИМС, 1951.

Ефремов И.А., Арсеньев А.А. Краткий предварительный отчет о работах Верхне-Чарской партии Прибайкальской комплексной геолого-петрографической экспедиции за 1934-1935 гг. Фонды Читинского ПГО, 1935.

Золотухин В.И. Отчет о геологоразведочных работах, проведенных на Икабьеканском месторождении кирпичных суглинков. Там же, 1964.

Золотухин В.И. Отчет о геологоразведочных работах, проведенных на Чарском месторождении песка. Там же, 1965.

Золотухин В.И. Отчет о геологоразведочных работах, проведенных на Чапловском месторождении песка. Фонды Читинского ПГО, 1966.

Липатов А.А. Отчет о результатах работ Чарской аэромагнитной партии в междуречье Чары и Калара. Там же, 1961. Метцгер К.А. Отчет партии № 386. Из годового отчета о результатах работ Сосновской экспедиции в 1950 г. Фонды ВИМС, 1951.

Метцгер К.А. Геологическое строение и полезные ископаемые между реками Б.Тора - М.Тора. Отчет о работе партии № 15 за 1951 г. Лесная экспедиция. Фонды ВИМС, 1952.

Миронюк Е.П. и др. Теология западной части Алданского щита. Фонды ВСЕТЕИ, 1966.

Музис А.И. и др. Стратиграфия кайнозойских отложений и геоморфология Олекмо-Витимской горной страны. Фонды объединения "Аэрогеология", 1967.

Падалка Г.Л. и др. Металлогения Олекмо-Витимской горной страны. Фонды ВИМС, 1953.

Салоп Л.И. Геологический очерк Олекмо-Витимской горной страны. Геологическая карта масштаба 1:200 000. Фонды Читинского ПГО, 1953.

Суслеников В.В. Отчет о работах Забайкальской аэромагнитной партии за 1958 г. Союзгеофонд, 1959.

Тамбовцев М.М. Геологическое строение бассейна среднего течения рек Б.Икабия и Сакуан. Фонды ВИМС, 1953.

Тищеко Ф.Ф. Отчет о результатах геологописковых работ Левобережной партии (№ 150) за 1950 г. Там же, 1950.

Турчинов И.А. и др. Геологическое строение и полезные ископаемые территории листа 0-50-118-Г. Фонды Читинского ПГО, 1963.

Турчинов И.А. Геологическое строение и полезные ископаемые листов 0-50-117-Г и 0-50-118-В. Там же, 1964.

Федоровский В.С. Геологическое строение и полезные ископаемые бассейна р.Калакан (северо-восточная часть листа 0-50-XXXV). Отчет о работе партии № 6 за 1963 г. Фонды объединения "Аэрогеология", 1964.

Херувимов Е.Г. Аэромагнитная съемка масштабов 1:200 000, 1:100 000. Фонды ВАИТ, 1956.

Шанюшкин О.Н. Отчет о результатах геологописковых работ Николаевской партии № 543 Снежинской экспедиции в бассейне р.Алсат за 1949 г. Фонды Сосновской экспедиции. Иркутск, 1950.

Шанюшкин О.Н. Отчет партии № 133. Из годового отчета о результатах Сосновской экспедиции в 1950 г. Фонды ВИМС, 1951.

Шпак А.А., Склиревский Ю.П. Гидрогеологические условия района Улоканского месторождения медистых песчаников. Фонды Читинского ПГО, 1964.

Шульгин В.С. и др. Геологическое строение и полезные ископаемые бассейна рек Кемен и Бол.Икабия. Фонды объединения "Аэрогеология", 1963.

Шульгина В.С. и др. Геологическое строение и полезные ископаемые рек Алсат, Нирунгнакан и Сантих. Там же, 1964.

Шульгина В.С. и др. Геологическое строение и полезные ископаемые бассейна рек Чара, Бол. Тора, Сакуканыр. Там же, 1965.

Шульгина В.С. и др. Геологическое строение и полезные ископаемые бассейна рек Сакуканыр, Сулумат, Ниж. Сакукан, Чара. Там же, 1966.

Шербинин И.И. Отчет о результатах геологописковых работ партии № 17 (Иманокитской) в бассейне рек Верх. Иманокит, Дурбум и кр. Сантиях и Нирунгнакан в 1951 г. Фонды Сосновской экспедиции, Иркутск, 1952.

Якимов Ю.А. Промежуточный отчет по работам Удоканской ГРП за период 1952-1955 гг. Фонды Читинского ПО, 1955.

СПИСОК МАТЕРИАЛОВ, ИСПОЛЬЗОВАННЫХ ДЛЯ СОСТАВЛЕНИЯ
КАРТЫ ПОЛЕЗНЫХ ИСКОПАЕМЫХ

Приложение I

№/П	Фамилия и инициалы автора	Название работы	Год составления материала или издавания	Местонахождение материала, его фондоиздания	1	2	3	4	5
					1	2	3	4	5
1	Волосюк И.Г., Дмитриев Э.Д.	Промежуточный отчет о поиско- во-разведочных работах на Чит- кандинском ка- менноугольном месторождении и в бассейне р. Ал- сат, проведенных в период 1961- 1962 гг. (Чит- кандинская пар- тия)	1962	Фонды Чи- тинского ПО, № 10341					
2	Гладких И.Ф. и др.	Отчет о результатах поисковых работ в бассейне р. Сулумат	1950	Фонды Сос- новской экспедиции, № 1146					
3	Гладких И.Ф. и др.	Отчет Хани-Ика- бийской партии № 16 о результа- тах работ в бас- сейне рек Бол. и Мал. Икабы, Ку- рунг-Урях и вер- ховьев р.Хани	1952	Фонды ВИМС, № 6551					

I	2	3	4	5
4				
5	Давлианидзе Г.Р., Черноморский М.А.	Годовой отчет о ре- зультатах работ Сосновской экспеди- ции в 1950 г.	1951	Фонды ВИМС, № 2635
6		Геологическое стро- ение и полезные ис- копаемые левобере- жья р.Бол.Икабель		Там же, № 6590
7	Карта золотоносно- сти Средне-Витим- ского района	Карта золотоносно- сти Олекмо-Калар- ского района	1952	Фонды тре- ста Забай- кальзлото- разведка
8	Засецкин Е.И. и др.	Погонительная за- пись к карте зо- лотоносности Чи- тинской области	1959	Там же
9	Золотухин В.И.	Отчет о геологиче- ских разведочных рабо- тах, проведенных на Икабеканском месторождении кирпичных сущин- ков в 1962-1963 гг. с подсчетом запа- сов на 1/1 1964 г.	1964	Фонды Чи- тинского ПТО, № 10982
10	Золотухин В.И.	Отчет о геологиче- ских разведочных рабо- тах, проведенных на Чарском место- рождении	1965	Там же, № 1087
II	Золотухин В.И.	Очерт. о геологораз- ведочных работах, проведенных в 1965 г. на Чаповском место- рождении песка-ото- щителей к кирпичным суглинкам Икабекан- ского месторождения с подсчетом запасов по состоянию на 1/ХI 1966 г. и с ре- зультатом испытаний песков урочища "Пе- ски", Чаповского и Чарского месторож- дений на силикатный кирпич		1966
11		Курбатов Б.Н. и др.	Отчет о геологиче- ских поисковых работах ревизионной партии (№ 719) в Каларо- Удоканском районе за 1952 г.	1953
12	Метцгер К. А. и др.	Геологическое стро- ение и полезные иско- паемые междууречья Б.Тора - М.Тора		1951
				Фонды ВИМС, № 4864
				Там же, № 6589

1	2	3	4	5
1	2	3	4	5
14	Падалка Г.Л., Ивашенцев А.Г.	Отчет центральной гео- матической партии за лесной экспедиции за 1953 г.	1954 Фонды ВИМС, № 4277	1964 Совзгеол- фонд, № 260492
15	Падалка Г.Л. и др.	Металлогения теллу- ра Олекмо-Джилимской горной страны	1955 Там же, № 7180	1965 Совзгеол- фонд
16	Тамбовцев М.М., Ковалевский А.Л.	Геологическое строе- ние бассейна средне- го течения рек Б.Икабья и Сакукан	1953 Там же, № 9562	1965 Шульгина В.С. и др.
17	Тищенко Ф.Ф. и др.	Отчет о результатах поисковых работ в бассейне р. Ср. Уко- кан, проведенных Михайловской партией № 864 в 1949 г.	1950 Там же, № 3123	1966 Шульгина В.С. и др.
18	Турчинов И.А. и др.	Геологическое строе- ние и полезные ис- 相亲的 терригении листа 0-50-II8-Г	1963 Совзгеол- фонд, № 249094	1952 Щербинин И.И. и др.
19	Турчинов И.А. и др.	Геологическое строе- ние и полезные иско- паемые листов 0-50-II7-Г и 0-50-II8-В	1964 Там же, № 260492	1955 Отчет о результатах геологопоисковых ра- бот партии № 17 Иманокитской в бас- сейнах рек В.Имано- кит, Лубун и клю- чей Сантиях и Ни- руннакан в 1951 г.
20	Шульгина В.С. и др.	Геологическое строе- ние и полезные иско- паемые бассейна рек Келен и Бол. Икабья	1963 Там же	1955 Фонды ВИМС, № 1449 Совзгеол- фонд, № 0184338

Приложение 2

Список промышленных месторождений полезных ископаемых показанных на листе 0-50-ХХ карты полезных ископаемых

# карте	Индекс клетки на карте	Наименование месторождения и вид полезных ископаемых	Состояние эксплуатации	Тип месторождения (К-коренное Р-россыпное)	# используемого материала по списку
45	III-4	Строительные материалы Сутлиники кирличные Икбайеканскоe	Законсервировано	K	9, 22
40	П-4	Пески строительные Чапловское	To же	K	II
42	III-2	Чарокое	"	K	IO

**СПИСОК ПРОЯВЛЕНИЙ ПОЛЕЗНЫХ ИСКОПАЕМЫХ
ПОКАЗАННЫХ НА ЛИСТЕ 0-50-XXIX КАРТЫ ПОЛЕЗНЫХ**

1	2	3	4	5	1	2	3	4	5
54	ГУ-2	р.Ниругнакан	Медистые песчаники и алевролиты, там же песчаники с вкрашенностью монолибенита	12, 21, 24, 25	Г-1	р.Бол.Тора и Былки	Шлиховой ореол	21, 22	
55	ГУ-3	руч.Джур	Меденоносные песчаники и алевролиты	20	Г-2	р.Сакукар	To же	21, 22	
61	ГУ-4	р.Бол.Икабын	Медистые алевролиты	3, 5, 20	Г-4	"	"	22	
63	ГУ-4	"	To же	20	Г-6	р.Ниж.Сакукар	"	22	
66	ГУ-4	рр.Бол.Икабыя и Амудиса	"	3, 20	Г-7	р.Сакукар	"	22	
35	П-1	рр.Апсат и Былки	Шлиховой ореол	21	Г-8	р.Амудиса	"	20	
37	П-1	рр.Апсат и Ср.Сакукар	To же	21	Г-3	р.Бол.Тора	Металлометрический ореол	22	
47	Ш-4	р.Бол.Икабыя	"	20	Г-1	р.Бол.Чара	To же	23	
53	ГУ-2	р.Ниругнакан	"	19	Г-3	р.Немен и Амудиса	"	20	
36	П-1	рр.Былки и Апсат	Металлометрический ореол	21	Г-4	р.Былки			
46	Ш-4	р.Бол.Икабыя	To же	20	Г-1	р.Былка			
49	ГУ-1	р.Сангах	"	21	Г-4	Левобережье р.Чара			
51	ГУ-2	р.Ниругнакан	"	21	Г-4	Кварцевый штокверк			
1	П-1	Свинац		38	Г-2	Кварц-микроклиновый штокверк			
5	П-1	р.Бол.Тора	Шлиховой ореол	69	ГУ-4	Кварцевые жилья с сульфидами			
		р.Игобман	To же	22		Шлиховой ореол			

Б л а г о р о д н ы е М е т а л л ы

Золото

р.Бол.Тора	Кварцевые жилы	22
"	To же	22
р.Былки	"	21
р.Былка	Кварцевый штокверк	2,4,6,7,8,23
р.Нек.Сакукар	Кварцевые жилья с сульфидами	22
р.Амудиса	Шлиховой ореол	18

1	2	3	4	5
Р е д к и е м е т а л лы				
9	I-I	р.Сакуканыр	Молибден Кварцевая жила с мо- либденитом и гале- нитом	22
41	III-I	р.Ангара	Шлиховой ореол	13, 21
58	IV-3	рр.Наминга и Кемен	To же	19, 20
59	IV-3	р.Кемен	"	19, 20
60	IV-4	р.Бол.Икабъя	"	16, 19, 20
62	IV-4	рр.Кемен и Бол.Икабъя	"	19, 20
Тантал и ниобий				
2	I-I	р.Бол.Тора	Шлиховой ореол	22
15	I-2	рр.Сакуканыр и Ниж.Сакукан	To же	22, 23
18	I-3	р.Девак	"	64
23	I-3	Левобережье р.Чара	"	23
43	III-3	р.Бол.Икабъя	"	23
44	III-4	р.Икабъекан	"	20
48	IV-I	р.Сангинж	"	21
50	IV-2	р.Нирунгнакан	"	21
Редкие земли				
4	I-I	р.Бол.Тора	Пегматитовые и квар- цевые жилы	4, 22

1	2	3	4	5
НЕМЕТАЛЛИЧЕСКИЕ ИСКОПАЕМЫЕ				
	Флюорит			
64	IV-4	р.Бол.Икабъя	Серия прожилков	20
71	IV-4	р.Амудиса	To же	20
56	IV-3	рр.Кемен и Наминга	Шлиховой ореол	20
67	IV-4	р.Кемен	To же	18
	Асбест			
	Прожилки			
19	I-3	рр.Сакуканыр и Девак	Жилы	23
22	I-3	р.Девак	Сеть прожилков	23
39	II-4	рр.Алсат и Ниж.Сакукан		22

1	2	3	4	5
		Графит		
II I-2	р.Сакукарнур	Прожилки и промазки	4, II, I4, 15, 22	
30 I-4	оз.Арбакалыр	Минеральный источник	23	

В брошюре пронумеровано 117 стр.

Редактор И.С.Дудорова

Технический редактор С.К.Леонова

Корректор Л.П.Трензелева

Сдано в печать 27.05.81. Подписано к печати 14.03.84.

Тираж 198 экз. Формат 60x90/16 Печ.л.7,5 Зак.839 с

Центральное специализированное
производственное хозрасчетное предприятие
объединения "Совгиподонд"